

Mathematische Methoden

(29 Vorträge)

Ein kurzer Überblick über die verschiedenen Teilgebiete der Physik, mit den mathematischen Methoden, die dort jeweils benutzt werden

Mechanik

- Differentialgleichungen (DGL)
- Vektoren

Relativitätstheorie und Kosmologie

- Vektoren und Tensoren

Elektrodynamik

- DGL
- Vektoranalysis
- Gruppenoperationen

Thermodynamik

- Differenzialrechnung

Quantummechanik

- DGL
- lineare Algebra

Kinematik

- DGL
- lineare Algebra

Quantelfeldtheorie

- Gruppentheorie
- Funktionaltheorie
- Gruppentheorie

Geologie

- Gruppentheorie
- DGL
- Statistik

Dafür handelt es sich nicht lediglich um Rechnungen, also um Techniken ein konkretes Problem zu lösen, sondern um die Formulierung der grundlegenden Physik in einem passenden mathematischen Formalismus.

Beispiel:

$$m \frac{d^2}{dt^2} \underline{x}(t) = \underline{F}(\underline{x}, t)$$

2^{te} Newtonsche Gesetz; beschreibt die Dynamik eines punktförmigen Teilchens unter der Wirkung $\underline{F}(\underline{x}, t)$

- Differentialgleichung Kraft = Masse \rightarrow Beschleunigung

- \underline{F} , \underline{x} sind Vektoren in dreidimensionale Raum

Dass Theorie (kinematik) mit bestimmten mathematischen Werkzeugen (hier: DGL, Vektor) effizient beschrieben werden kann ist schon eine wichtig und nichttriviale Aussage über die ^{Theorie} selbst.

Ohne Kenntnis von DGL, Vektoren lässt sich also schon die grundlegende Gleichung der Mechanik nicht formalisieren oder verstehen - vom Bezeichnen von für sie die Gleichung ganz zu schweigen: Allein die Aussage "Kraft lässt sich beschreiben durch einen Vektor in 3D" enthält implizit physikalische Aussagen, die man nur versteht, wenn man sehr genau weiß, was ein "Vektor" ist.

Umgekehrt treten mathematische Konzepte oft in unterschiedlichen und überraschenden Zusammenhängen auf; z.B. ist der Zustand eines Quantensystems durch einen Zustandsvektor (nicht in 3D) beschreibbar.

Daher lohnt es sich

- i) die grundlegenden mathematischen Definitionen gut zu verstehen
(+Entwickeln einer "Intuition")
- ii) die daraus resultierenden Rechen-Ketten gut zu verstehen und zu beherrschen

Diese Vorlesung gibt eine Einführung in die mathematischen Methoden, die zw. Formulierung der Mechanik, Elektrodynamik, Quantenmechanik und Thermodynamik nötig sind.

- zum Teil, ohne daß sie die Physik schon kennen (Entwicklung an Beispielen oft nicht möglich, benötigt mich trotzdem um Motivierung und Anschaulichkeit)
- oft ohne Beweise (mit Hinweis wo sie leicht zu finden sind, und wann sie in der Mathematik vorlesung kommen)
- meist ohne mathematische Rigorosität

Trotzdem ist ein großes Pensum zu bewältigen, und ich bin auf Ihre Mithilfe angewiesen

- Nacharbeit als Vorlesung
- Lektüre von Büchern (Vorstellen)
- Übungen
- Fragen: konkretisieren, Formulieren, Übungsaufgaben erläutern, Übungsliste, nach

4. Vektorräume und lineare Algebra

Das mathematische Objekt, das "Vektor" genannt wird, wird zu Beschreibung aller unterschiedlichsten physikalischen Größen verwendet, z.T. aus der Schule bekannt

- Ortsvektor \vec{r} (von einem gewölkten Ursprung aus)
- Geschwindigkeitsvektor \vec{v} (Versetzung eines Punkts pro Zeit)
- elektrisches Feld \vec{E}

Größe mit Richtung

zum Teil nicht

- Zustandsvektor $| \rangle$ beschreibt ein Quantensystem
- Funktion als Vektor

Es bestehen tiefe mathematische Zusammenhänge zwischen den (physikalisch) sehr unterschiedlichen Anwendungen, die eine recht abstrakte und zunächst ungewohnte Definition des Vektorbegriffs erforderlich machen. Die "Definition" "Vektoren sind Größen mit Richtung" tangt dann leicht nicht:

- wie ist "Richtung" definiert?
- Kein als Vektorbegriff ist, dass man Vektoren addieren kann und mit bestimmten Objekten multiplizieren kann und dabei wieder neue Vektoren erhält. Sind diese Operationen für eine physikalische Größe sinnvoll, kann man sie prinzipiell durch Vektoren beschreiben. ("Richtung" ist also nicht kann der Sach.)

4.1 Definition (Axiome)

Ein Vektorraum über den reellen Zahlen \mathbb{R} ist ein Tripel $(V, +, \cdot)$, bestehend aus einer Menge V und zwei Verknüpfungen

$$V \times V \rightarrow V, (v, w) \mapsto v + w$$

$$(1, \in \mathbb{R}, v, w \in V)$$

mit folgenden Eigenschaften

1. $(V, +)$ ist eine Gruppe, d.h. $(v + w) + z = v + (w + z)$, $\exists e: e + v = v \forall v$ (Nullelement) $\forall v \exists -v: v + (-v) = e$

2. $v + w = w + v \quad \forall v, w$ (kommutativ)

$$3. (\lambda + \mu)v = \lambda v + \mu v$$

$$\forall \lambda, \mu \in \mathbb{R}$$

$$4. \lambda(\mu v) = (\lambda\mu)v$$

"

$$5. \lambda(v+w) = \lambda v + \lambda w$$

$$\forall \lambda \in \mathbb{R}, v, w \in V$$

$$6. 1v = v$$

$$\forall v \in V$$

Bemerkungen:

- Die Elemente des Raumes V werden als Vektoren v bezeichnet, $v \in V$
- Verkürzend spricht man oft von Vektorraum V und meint $(V, +, \cdot)$
- statt "über den reellen Zahlen \mathbb{R} " kann man Vektorräume auch "über \mathbb{C} " definieren, dann können Vektoren mit komplexen Zahlen multipliziert werden - oder über noch allgemeineren Objekten (genannt Körper).
- wir schreiben $u-v$ für $u+(-v)$ und v/λ für $(\frac{1}{\lambda})v$, zusätzlich zu Addition (von Vektoren) und Multiplikation (mit Zahlen) sind also auch Subtraktion und Division definiert
- gelten die Axiome auch für eine Teilmenge $U \subset V$ mit $u_1, u_2 \in U$ für $u_1, u_2 \in U$ spricht man von einem Unterraum

Verschiebungen im Raum

können addiert werden (Verschiebung v_1 , dann $v_2 = \text{erst } v_2 \text{ dann } v_1$)

können mit einer reellen Zahl multipliziert werden

$\left. \begin{array}{l} \text{ergibt jeweils} \\ \text{eine Verschiebung} \\ \text{mit einer} \\ \text{reellen Zahl} \end{array} \right\}$

in-Tupel reelle Zahlen

$$\begin{pmatrix} x_1 \\ x_2 \\ x_3 \\ \vdots \\ x_n \end{pmatrix}$$

können addiert werden

$$x + y = \begin{pmatrix} x_1 + y_1 \\ x_2 + y_2 \\ \vdots \\ x_n + y_n \end{pmatrix}$$

$\left. \begin{array}{l} \text{ergibt jeweils einen neuen} \\ \text{n-Tupel} \end{array} \right\}$

und multipliziert

$$\lambda x = \begin{pmatrix} \lambda x_1 \\ \lambda x_2 \\ \vdots \end{pmatrix}$$

Funktionen $f(x)$

$$f(x) + g(x)$$

$$\lambda f(x)$$

$\left. \begin{array}{l} \text{ergibt neue Funktionen} \end{array} \right\}$

Lösungen einer homogenen linearen DGL $f(x) = 0$

$$\frac{x_1 + y}{ax}$$

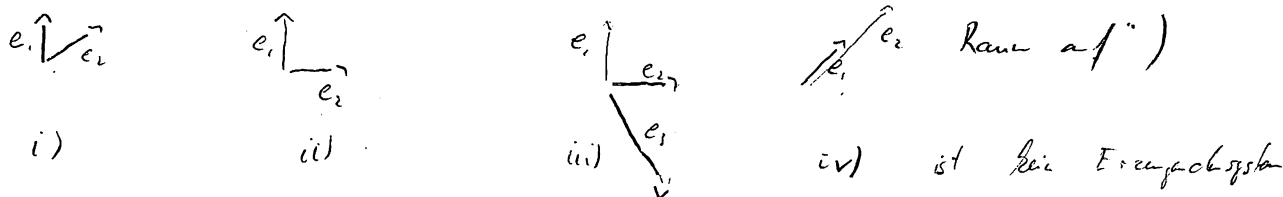
$\left. \begin{array}{l} \text{sind neue Lösungen der DGL} \end{array} \right\}$

4.2 Basisysteme

Vektoren $e_1, e_2, \dots, e_n \in V$ nennt man Erzeugendensystem von V , wenn man jeden Vektor v schreiben kann als

$$v = \underbrace{v_1 e_1 + v_2 e_2 + \dots + v_n e_n}_{\text{Linearkombination von Vektoren}} \quad v_1, \dots, v_n \in \mathbb{R}$$

z.B. Verschiebung in 2D (Erzeugendensystem spannt ab)



Vektoren $e_1, \dots, e_n \in V$ sind linear unabhängig, wenn gilt:

Sei $v_1 e_1 + v_2 e_2 + \dots + v_n e_n = 0$, dann folgt $v_1 = v_2 = \dots = v_n = 0$
wird Linearkombination genannt

d.h. wenn man keinen der Vektoren als Summe der restlichen schreibt kann ("kein Vektor v_i ist unabh.", vgl. iii)

(bei linear unabhängige Vektoren ist keine eine Lk der anderen, sonst $e_1 = v_1 e_1 + v_2 e_2 + \dots + v_n e_n = v_1 e_1 + v_2 e_2 + \dots + v_{n-1} e_{n-1} + v_n e_n$)

Vektoren e_1, e_2, \dots, e_n heißen Basis wenn sie ein Erzeugendensystem und linear unabhängig sind. Sind e_1, \dots, e_n eine Basis, dann kann

jeder Vektor v auf einzigartige Weise als Summe $v = \sum_{i=1}^n v_i e_i$ dargestellt werden

Beweis: i) e_1, \dots, e_n ist ein Erzeugendensystem (d.h. jeder Vektor kann als Summe über v_i geschrieben werden)

ii) wäre die Darstellung nicht einzigartig, d.h. $v = \sum v_i e_i = \sum \tilde{v}_i e_i$ mit $v_i \neq \tilde{v}_i$ für wogt. e_i
 $\Rightarrow \sum_{i=1}^n (v_i - \tilde{v}_i) e_i = 0 \Rightarrow (v_i - \tilde{v}_i) = 0 \quad \forall i \Rightarrow \text{Widerspruch}$
 linear unabhängigkeit

Beispiel i) und ii) sind Basen, iii) nicht.

Die Zahl der Basisvektoren n heißt Dimension D eines Vektorraums und ist unabhängig von der Wahl der Basis.

4.3 Darstellung eines Vektors als D-Tupel

Gegen eine Basis kann jeder Vektor höchstens eine (und nur eine) Linearkombination
 $\sum_{i=1}^D v_i e_i$ geschrieben werden. Dies legt nahe den D-Tupel v_1, v_2, \dots, v_D
 als Darstellung des Vektors zu verwenden (als sogenannte Koordinaten des Vektors)

$$\begin{pmatrix} v_1 \\ v_2 \\ \vdots \\ v_D \end{pmatrix} \stackrel{!}{=} v \quad \longleftrightarrow \quad v \quad \text{bei gegebener Basis}$$

Isomorphismus, d.h.
ein-zu-eins Abbildung

Die $v_1, v_2, v_3, \dots, v_D$ heißen Komponenten des Vektors, oder D-Tupel $\begin{pmatrix} v_1 \\ v_2 \\ \vdots \\ v_D \end{pmatrix}$
 heißt Spaltenvektor (ist aber nur eine Darstellung des Vektors in einer
 gegebenen Basis)

Γ Vektorraum im \mathbb{R}^D



$$v = 2e_1 + 2e_2 \quad \text{mit Darstellung} \quad v = \begin{pmatrix} 2 \\ 2 \end{pmatrix}$$

Eine wichtige Frage ist, wie sich v ändert, wenn wir zu einer neuen Basis übergehen. Dazu müssen wir uns mit linearen Abbildungen beschäftigen, was wir auch bald tun werden.

Eine ausreichende Basis ist die Orthonormalbasis e_x, e_y, e_z mit sogenannten kartesischen Koordinaten $\begin{pmatrix} x \\ y \\ z \end{pmatrix}$.

4.4. Affine Räume

Es mag verwunderlich erscheinen, dass ich als Beispiel für Vektoren oft Vektorräume genutzt habe, aber noch nicht über Ortsvektoren gesprochen habe. Tatsächlich sind Vektorräume kein befriedigendes Modell für den 3D physikalischen Raum, wir benötigen folgende Erweiterung:

Ein affiner Raum $(M, V, +)$ ist eine Menge von Punkten, ein Vektorraum V und eine Verknüpfung $+$

$$M \times V \rightarrow M \quad (p, v) \mapsto p+v$$

mit den Eigenschaften

$$\text{i)} \quad p + (u+v) = (p+u)+v \quad u, v \in V \quad p \in M$$

ii) zu jedem Paar $p, q \in M$ existiert genau ein Vektor $v \in V$ mit $p = q + v$

Kurz: Die Elemente eines affinen Raums können Subtrahiert werden $p - q = v$, ihre Differenz ist ein Vektor (Differenzvektor)

Sie können nicht addiert werden



Koordinatensysteme für affine Räume

Ein Koordinatensystem eines affinen Raums besteht aus einem ausgewählten

Punkt p_0 (dem Koordinatenursprung) und einer Basis v_1, \dots, v_d von V .

Jeder Punkt p kann dann als

$$p = p_0 + \sum_i v_i e_i$$

geschrieben werden und wird mit dem Vektor v , bzw. \underline{v} in Koordinatenklausuren identifiziert. Wichtig: die Identifizierung des physikalischen Raums mit einem Vektorraum ist also nur bei gegebener Koordinatenursprung p_0 möglich

4.5 Normierte Räume

Sei V ein Vektorraum. Eine Norm $\|\cdot\|$ ist eine Abbildung

$$\|\cdot\|: V \rightarrow \mathbb{R}, \quad v \mapsto \|v\|$$

mit den Eigenschaften

- i) $\|v\| > 0$ wenn $v \neq 0$
- ii) $\|av\| = |a| \|v\| \quad a \in \mathbb{R}$
- iii) Es gilt die Dreiecksungleichung

$$\|u+v\| \leq \|u\| + \|v\|$$

Ein Vektorraum mit Norm heißt normiert.

$$\begin{aligned} \text{Skalarprodukt } \underline{x} \cdot \underline{y} &= x_1 y_1 + x_2 y_2 + \dots + x_n y_n \\ \|\underline{x}\| &= \sqrt{\underline{x} \cdot \underline{x}} = \sqrt{x_1^2 + x_2^2 + \dots + x_n^2} \end{aligned} \quad (\text{die euklidische Norm})$$

$$\begin{aligned} \text{Dann } \|\underline{x} + \underline{y}\|^2 &= (\underline{x} + \underline{y}) \cdot (\underline{x} + \underline{y}) \\ &= \underline{x} \cdot \underline{x} + 2 \underline{x} \cdot \underline{y} + \underline{y} \cdot \underline{y} \\ &= \|\underline{x}\|^2 + 2 \underline{x} \cdot \underline{y} + \|\underline{y}\|^2 \leq \|\underline{x}\|^2 + 2 \|\underline{x}\| \|\underline{y}\| + \|\underline{y}\|^2 \\ &\quad \text{da } \underline{x} \cdot \underline{y} \leq \|\underline{x}\| \|\underline{y}\| : \text{zu zeigen} \\ &= (\|\underline{x}\| + \|\underline{y}\|)^2, \end{aligned}$$

somit ist die Dreiecksungleichung erfüllt, i) und ii) kann sich nun leicht zeigen.

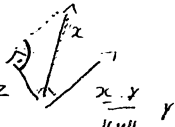
Räume mit dieser Norm heißen euklidisch. In einem affinen Raum mit normierten Differenzvektorraum V ist $\|p-q\|$ die Abstand zwischen zwei Punkten.
- in euklidischen Räumen gilt die Lamé-Schwarzsche Ungleichung

$$|\underline{x} \cdot \underline{y}| \leq \|\underline{x}\| \|\underline{y}\|$$

Beweis: Sei $y \neq 0$ (sonst ist die Gleichung trivial erfüllt) definieren wir einen zu y orthogonalen Vektor

$$z = \underline{x} - \frac{\underline{x} \cdot \underline{y}}{\|\underline{y}\|^2} \underline{y} \quad \left(z \cdot \underline{y} = \underline{x} \cdot \underline{y} - \frac{\underline{x} \cdot \underline{y}}{\|\underline{y}\|^2} \underline{y} \cdot \underline{y} = \underline{x} \cdot \underline{y} - \underline{x} \cdot \underline{y} = 0 \right)$$

$$\Rightarrow \underline{x} = z + \frac{\underline{x} \cdot \underline{y}}{\|\underline{y}\|^2} \underline{y}$$



$$\|\underline{x}\|^2 = \|z\|^2 + \frac{(\underline{x} \cdot \underline{y})^2}{\|\underline{y}\|^4} \|\underline{y}\|^2 \geq \frac{(\underline{x} \cdot \underline{y})^2}{\|\underline{y}\|^2} \Rightarrow (\underline{x} \cdot \underline{y})^2 \leq \|\underline{x}\|^2 \|\underline{y}\|^2$$

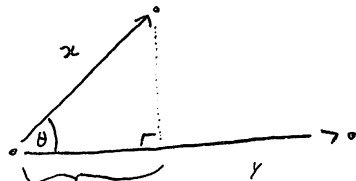
4.6

Gleichheit bei $z = 0$, d.h.

- durch die Cauchy-Schwarzsche Ungleichung kann man einen Winkel θ zwischen zwei Vektoren definieren

$$\frac{(\underline{x} \cdot \underline{y})^2}{(\|\underline{x}\| \|\underline{y}\|)^2} \leq 1 \quad \Rightarrow \text{es existiert ein } \theta : \underline{x} \cdot \underline{y} = \|\underline{x}\| \|\underline{y}\| \cos \theta$$

Bemerkung: Diese Weg einen Winkel zu definieren ist natürlich recht aufwändig, hat aber den Vorteil sehr allgemein zu sein. Dieser Weg ist natürlich konsistent mit der einfachen geometrischen Betrachtung (2D: 2 Vektoren spannen Ecke)



$$\|\underline{x}\| \cos \theta = x_1$$

e_2 \sim
 e_1

$$\text{Basis: } v_1 \parallel y$$

$$\underline{x} \cdot \underline{y} = x_1 y_1 + x_2 y_2 = x_1 y_1 = \underbrace{\|\underline{x}\| \cos \theta}_{x_1} \underbrace{\|\underline{y}\|}_{y_1}$$

- in der Mechanik gebräuchliche Notation

$$\left\{ \begin{array}{l} \langle \underline{x}, \underline{y} \rangle = \underline{x} \cdot \underline{y} \\ | \\ \text{Vektor} \quad \text{Darstellung als Vektor} \end{array} \right.$$

$$\text{In der Physik wird auch } \underline{x} \cdot \underline{y} = \sum_i x_i y_i = (\underline{x}_1, \underline{x}_2, \underline{x}_3, \dots) \begin{pmatrix} y_1 \\ y_2 \\ y_3 \end{pmatrix}$$

$$= \underline{x}^T \underline{y} \quad \text{bezeichnet}$$

4.6 Linearfomme und das duale Vektorraum

Sei V ein Vektorraum. Eine Funktion $\lambda: V \rightarrow \mathbb{R}$, $v \mapsto \lambda(v)$ mit den Eigenschaften

$$\lambda(u+v) = \lambda(u) + \lambda(v)$$

$$\lambda(av) = a\lambda(v) \quad \forall u, v \in V, a \in \mathbb{R}$$

heißt Linearform

Die Menge aller Linearformen λ bildet einen Vektorraum mit Addition

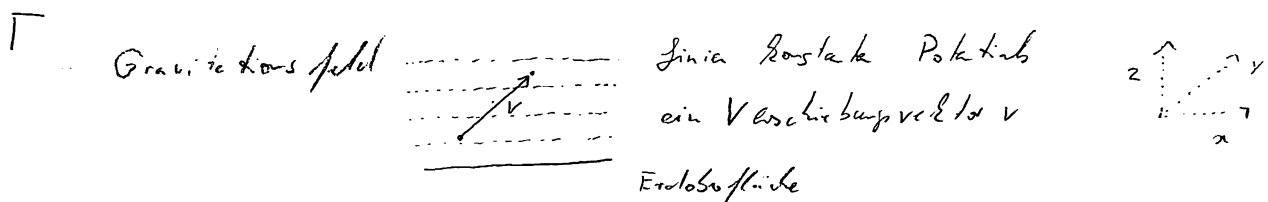
$$(\lambda + \nu)(v) = \lambda(v) + \nu(v)$$

und Multiplikation

$$(a\lambda)(v) = a\lambda(v)$$

Dieser Raum wird als Dualraum zu V^* bezeichnet.

Diese Definition erscheint zunächst sehr abstrakt. Funktionen, die einen Vektor eine Zahl zuordnen treten jedoch in der Physik sehr häufig auf.



eine Masse m wird um den Verschiebungsvektor v verschoben.

Die am Masse-Feld verursachte Energie ist dann

$$E = E(v) = mg v_z$$

Mit $E(u+v) = E(u) + E(v)$ und $E(av) = aE(v)$

erweist sich das (gleichförmige) Gravitationsfeld als Linearform.

Gravitation ist aussehen linear (experimenteller Befund), d.h.

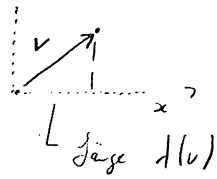
$$1. \underbrace{(E_1 + E_2)}_{\text{Grav. feld zw. 2 Massen}}(v) = E_1(v) + E_2(v)$$

Grav. feld zw. 2 Massen (weit entfernt Masse \approx nähungsweise gleichförmig)

$$2. \underbrace{(aE)}_{\text{Grav. feld wenn Stärke des Feldes um } a \text{ erhöht wird}}(v) = aE(v)$$

Grav. feld wenn Stärke des Feldes um a erhöht wird
 $\Rightarrow E$ ist Element des Dualraums V^* zu V)

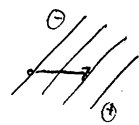
- die Projektion eines Vektors auf eine Raumachse ist eine Linearform



z.B. Projektion auf die x-Achse

Visualisierung: Linearform lässt sich (polarisierte) Ebensachen visualisieren

- in 2D



$d(v)$ ist \pm die Zahl der gekreuzten Ebenen

Definition: Eine Linearform lässt sich als hängiges Objekt darstellen, das einen Vektor anfasst und eine Zahl ausspielt.

Basis: Die Projektion eines Vektors auf eine Raumachse, legt eine für Linearformen Projektionen als Basis für Linearformen zu nutzen

also in 2D

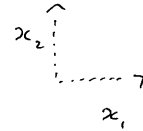


und



gesuchte dx_1 ,

dx_2



bzw. $dv_i(e_j) = \delta_{ij} = \begin{cases} 1 & \text{wenn } i=j \\ 0 & \text{wenn } i \neq j \end{cases}$

Basisvektor j

und $v = d_1 dv_1 + d_2 dv_2 + \dots$ Zeilendarstellung (d_1, d_2, \dots)

$$dv = (d_1, d_2, \dots) \begin{pmatrix} v_1 \\ v_2 \end{pmatrix} = d_1 v_1 + d_2 v_2 + \dots$$

Ausblick

- in der Quantenmechanik werden Erwartungswerte von physikalischen Größen X wie Ort oder Impuls als $\langle 4 | X | 4 \rangle$ berechnet, wobei $| 4 \rangle$ ein Zustandsvektor ist; $\langle 4 |$ ein entsprechender Operator des Dualraums.

- in einem euklidischen Raum lässt sich zu jeder Linearform ein eindeutig definierter Vektor (der senkrecht auf dem Ebenen steht). Das Skalarprodukt von diesem Vektor und v ergibt dann die Abbildung auf \mathbb{R} .

Beispiel Gravitationsfeld

$$E = mg \cdot r$$

$$g = \begin{pmatrix} 0 \\ 0 \\ g \end{pmatrix}$$

Fundamentalsatz betrachtet sind Kräfte jedoch Linearformen, auch wenn die Unterscheidung oft nicht thematisiert wird (in nichteuklidischen Räumen ist sie wichtig: SR !) 4.9

4.7 Lineare Abbildungen

Abbildungen sind Funktionen, die Element eines Vektorraums auf Element eines zweiten Vektorraums abbilden. Wir wollen sehen, dass die Darstellung sogenannte lineare Abbildungen in einer gegebenen Basis auf die Matrizendarstellung führt. Dieser Abschnitt beschreibt die Grundlagen der Vektorräume.

- Abbildung $x: \mathbb{R} \rightarrow V$ (V sei ein Differenzialvektorraum)
 $t \mapsto x(t)$ Bahnkurve eines Teilchens

- Abbildung $\mathcal{J}: V \rightarrow \mathbb{R}$ (Linearfon)

]

Ein Abbildung $L: V \rightarrow W$, $v \mapsto w$ ist linear, wenn gilt:

$$L(u+v) = Lu + Lv \quad , \quad L(\alpha v) = \alpha L(v) \quad \begin{matrix} u, v \in V, \alpha \in \mathbb{R} \\ \text{erfüllt Schiefe der Vektoren:} \end{matrix}$$

wir schreiben $L(v) = Lv$

- Multiplikation mit einer Konstante ist eine lineare Abbildung $\mathbb{R} \rightarrow \mathbb{R}$.

- Differenziation ist eine lineare Abbildung vom Raum der (differenzierbaren) Funktionen auf sich selbst. Der Differentialoperator \mathcal{D} aus Kapitel 3 ist eine solche Abbildung.

- In der Quantenmechanik ist sind die Zustandsvektoren (4.1) eines Systems zu unterschiedlichen Zeiten durch eine lineare Abbildung verknüpft:

$$|4(t)\rangle = \underbrace{e^{iHt/\hbar}}_{\text{line. Abbl.}} |4(0)\rangle$$

]

Die Kern einer linearen Abbildung L sind alle Element von V , so dass $Lv = 0$ ist

$$\ker(L) = \{v \in V \mid Lv = 0\}$$

- Bei einer linearen DGL $\mathcal{L}y = f$ ist der Kern von \mathcal{L} der Raum aller Lösungen der homogenen Gleichung $\mathcal{L}y = 0$

]

Das Bild einer linearen Abbildung $L: V \rightarrow W$ ist definiert durch alle Elemente in W die durch $L_v = w$ generiert werden können.

$$\text{Im } L = \{w \in W \mid \exists v \in V: L_v = w\}$$

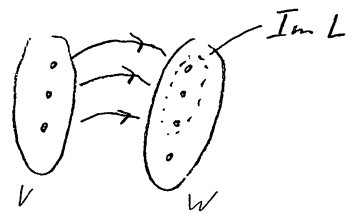


Bild und Kern einer lin. Abb. sind wiederum ein Vektorraum (lineare Kombinationen von Elementen des Bildes/Kerns sind auch Elemente des Bildes/Kerns), die Dimension des Bildes heißt Rang der Abbildung.

4.7.1 Basisdarstellung einer linearen Abbildung $w = Lv$

Stellen wir $v \in V$ und $w \in W$ als Linearkombination von Basisvektoren dar:

$$v = v_1 e_1^v + v_2 e_2^v + \dots + v_n e_n^v$$

$$v = \begin{pmatrix} v_1 \\ v_2 \\ \vdots \\ v_n \end{pmatrix}$$

$$w = w_1 e_1^w + w_2 e_2^w + \dots + w_m e_m^w$$

$$w = \begin{pmatrix} w_1 \\ w_2 \\ \vdots \\ w_m \end{pmatrix}$$

Zunächst fragen wir, wie L auf die n Basisvektoren e_j^v , $j = 1, \dots, n$ wirkt.

$$Le_j \in W \Rightarrow Le_j^v = \sum_i L_{ij}^v e_i^w$$

nennt Zahlen \hat{v}_j für jedes $j \in 1, \dots, n$ eine Zeile von Lv im Basisvektor von w .

Aufgrund der Linearität von L schafft damit schon die Wirkung von L auf einen beliebigen $v \in V$ fest:

$$\begin{aligned} \sum_i w_i e_i^w &= w = Lv = L \left(\sum_j v_j e_j^v \right) = \sum_j v_j Le_j^v \\ &= \sum_j v_j \left(\sum_i L_{ij}^v e_i^w \right) = \sum_i \left(\sum_j L_{ij}^v v_j \right) e_i^w \end{aligned}$$

oder $w_i = \sum_j L_{ij}^v v_j$

oder $w = \underline{\underline{L}}^v v$

die horizontale ausfüllt & erfüllt:

$$\begin{pmatrix} w_1 \\ w_2 \\ \vdots \\ w_m \end{pmatrix} = \begin{pmatrix} L_{11}^v & L_{12}^v & L_{13}^v & \dots \\ L_{21}^v & L_{22}^v & L_{23}^v & \dots \\ \vdots & \vdots & \vdots & \ddots \end{pmatrix} \begin{pmatrix} v_1 \\ v_2 \\ \vdots \\ v_n \end{pmatrix}$$

mit der Standardregel
für Matrixmultiplikation

So wie ein Spaltenvektor die Darstellung eines Vektors in einer gegebenen Basis ist
 (koeffizienten bezügl. einer Basis),
 so ist eine Matrix eine Darstellung einer linearen Abbildung in einer Basis.
 Konkrete Rechnungen werden (meist) in einer frei (selbst) gewählten Basis durchgeführt. Hier einige Beispiele:

Vereinigung von linearen Abbildungen und Matrizenmultiplikation

Wir betrachten zwei hintereinander ausgeführte lineare Abbildungen, und zeigen dass:
 ihre Darstellung in einer Basis als Multiplikator die entsprechende Matrix
 entspricht.

$$V \xrightarrow{L} W \xrightarrow{M} U$$

$$w_i = \sum_j L_{ij} v_i \quad w_e = \sum_i k_{ei} w_i \quad \text{oder} \quad w = \underline{\underline{L}} \cdot \underline{\underline{v}} \quad \underline{\underline{w}} = \underline{\underline{k}} \cdot \underline{\underline{w}}$$

$$\Rightarrow w_e = \sum_i k_{ei} \sum_j L_{ij} v_i \equiv \sum_j M_{ej} v_i$$

$$M_{ej} = \sum_i k_{ei} L_{ij}$$

$\underline{\underline{M}} = \underline{\underline{k}} \cdot \underline{\underline{L}}$ mit der gewöhnlichen
 Definition der Matrizenmultiplikation

$$\begin{pmatrix} m_{11} & m_{12} & \dots \\ m_{21} & m_{22} & \dots \\ \vdots & \vdots & \ddots \end{pmatrix} = \begin{pmatrix} k_{11} & k_{12} & \dots \\ k_{21} & k_{22} & \dots \\ \vdots & \vdots & \ddots \end{pmatrix} \begin{pmatrix} L_{11} & L_{12} & \dots \\ L_{21} & L_{22} & \dots \\ \vdots & \vdots & \ddots \end{pmatrix}$$

- Addition von Lineare Abb. \Rightarrow Übung

Darstellung von Lineare formen

$$\lambda = \sum_i d_i \underbrace{clx_i}_{\text{Basisform}} \quad clx_i: e_i = d_i$$

Darstellung als "Zeile form" (d_1, d_2, \dots, d_n)

$$\text{Basisform } clx_i: e_i = d_i$$

$$v = \sum_i v_i e_i$$

Darstellung als "Spaltenvektor"

$$\begin{pmatrix} v_1 \\ v_2 \\ \vdots \\ v_n \end{pmatrix}$$

$$\Rightarrow \lambda(v) = \sum_i d_i \text{ obige } \sum_j v_j e_j = \sum_{ij} d_i v_j \delta_{ij} = \sum_i d_i v_i = (\lambda_1, \lambda_2, \dots, \lambda_n) \begin{pmatrix} v_1 \\ v_2 \\ \vdots \\ v_n \end{pmatrix}$$

Skalarprodukt in euklidischen (IR) Räumen

$$\|x\|^2 = \sum_i x_i^2 = (x, x_1, \dots, x_n) \begin{pmatrix} x_1 \\ x_2 \\ \vdots \\ x_n \end{pmatrix}$$

(Wobei 1-1 Beziehung zw. Zeilenform und

Vektor, dannf. nach v. noch genau 4.12

Swap!

- Transponierte L^t eine Abbildung $L: V \xrightarrow{L} W \xrightarrow{f \in W^*} R$ $\Rightarrow f \circ L \in V^*$ da Ass. $V \rightarrow R$
- $V^* \xleftarrow{L^t} W^*$ $L^t f = f \circ L$ ist Ass. $V^* \rightarrow V^*$
- Darstellung $(L^t)_{ij} = L_{ji}$ ("Spiegelung an der Diagonale")
- Inverse L^{-1} eine Abbildung $V \xrightarrow{L} W \xrightarrow{L^{-1}} V$ $v = Lw \Rightarrow w = L^{-1}v$ definiert L^{-1} (so zu wish)
- Drehung

Was ändert sich, wenn wir von einem Basisystem $\{e_i\}$ in ein anderes $\{e'_i\}$ übergehen?

Wechselt die Basis und von grosser praktischer Relevanz. Ist eine schon gewählte ("problemangepasste") Basis kann ein Problem völlig leicht wackeln, die Lösung also in die Schiefe nach einer geeigneten Basis legen. z.B wenn Basisvektoren kontrahieren

- v anlot sich nicht mehr zu den Basiswerten (!!)

$$v = \sum_i v_i e_i = \sum_i v'_i e'_i$$

alle Basisvektoren

Es ändert sich die kompatibl. (v_i u v'_i) nach Basis und die Basisvektoren (e_i u e'_i) gleichzeitig, so dass $\sum_i v_i e_i = \sum_i v'_i e'_i$ unverändert bleibt.

Mycetis

schreibe wie jahr. ob alte Basistexte ab Liang San Sia oder neue Basistexte

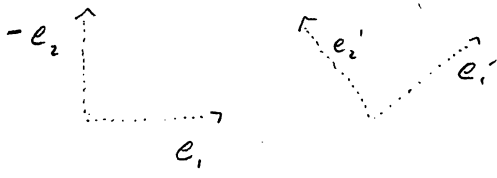
$$e_j = \sum_i s_{ij} e_i$$

erhalten wird aus

$$v = \sum_i v_i e_i = \sum_j v_j s_{ij} e'_i = \sum_i \left(\sum_j s_{ij} v_j \right) e'_i$$

$$= \sum_i v_i' e_i' \Rightarrow v_i' = \sum_j s_{ij} v_j \quad \underline{v}' = \underline{s} \cdot \underline{v}$$

Beispiele in 2D



$$e_f = \frac{1}{\sqrt{2}} (e_1' - e_2')$$

$$e_2 = \frac{1}{\sqrt{2}} (e_1' + e_2')$$

$$\Rightarrow e_j = \sum_i S_{ij} e_j' \quad \text{gibt} \quad S_{11} = S_{22} = \frac{1}{\sqrt{2}}$$

$$S_{12} = -S_{21} = \frac{1}{\sqrt{2}}$$

$$\underline{S} = \frac{1}{\sqrt{2}} \begin{pmatrix} 1 & 1 \\ -1 & 1 \end{pmatrix}$$

$$\underline{v}' = \underline{S} \underline{v}$$

z.B. $\underline{v} = \begin{pmatrix} 1 \\ 0 \end{pmatrix} \quad \underline{v}' = \begin{pmatrix} 1 \\ -1 \end{pmatrix} \frac{1}{\sqrt{2}}$

$\underline{v} = \begin{pmatrix} 0 \\ 1 \end{pmatrix} \quad \underline{v}' = \begin{pmatrix} 1 \\ 1 \end{pmatrix} \frac{1}{\sqrt{2}}$

$\underline{v} = \begin{pmatrix} 1 \\ 1 \end{pmatrix} \quad \underline{v}' = \begin{pmatrix} 2 \\ 0 \end{pmatrix} \frac{1}{\sqrt{2}}$

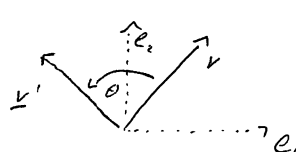
$= \begin{pmatrix} \sqrt{2} \\ 0 \end{pmatrix}$

- Drehung in 2D. $\underline{\underline{L}}^P = \begin{pmatrix} \cos \theta & \sin \theta \\ -\sin \theta & \cos \theta \end{pmatrix}$ gibt die Drehung der Koordinaten um in ein Drehung des Koordinatensystems. (passive Transformation)

$$\underline{v}' = \underline{\underline{L}}^P \underline{v}$$

Vergleich $\underline{\underline{L}}^A = \begin{pmatrix} \cos \theta & -\sin \theta \\ \sin \theta & \cos \theta \end{pmatrix}$ gibt die Drehung von \underline{v} an, wenn die Vektor v selbst gedreht werden (active Transformation).

$$\underline{v}' = \underline{\underline{L}}^A \underline{v}$$
 :



Basis bleibt unverändert

Nachtrag Matrizen und Matrixmultiplikation

Der Ausdruck

$$v_i' = \sum_j S_{ij} v_j$$

lässt sich kompakt als Produkt einer Matrix $\underline{S} = \begin{pmatrix} S_{11} & S_{12} & \dots \\ S_{21} & S_{22} & \dots \\ \dots & \dots & \dots \end{pmatrix}$

mit dem Vektor $\underline{v} = \begin{pmatrix} v_1 \\ v_2 \\ \vdots \\ v_n \end{pmatrix}$ schreiben:

Zusammenfassung der n Gleichungen in 1 Gleichung für zwei Spaltenvektoren

$$\begin{pmatrix} v_1' \\ v_2' \\ v_3' \\ \vdots \end{pmatrix} = \begin{pmatrix} \sum_j S_{1j} v_j \\ \sum_j S_{2j} v_j \\ \sum_j S_{3j} v_j \\ \vdots \end{pmatrix} = \begin{pmatrix} S_{11} v_1 + S_{12} v_2 + S_{13} v_3 + \dots \\ S_{21} v_1 + S_{22} v_2 + S_{23} v_3 + \dots \\ \vdots \\ \dots \end{pmatrix}$$

$$= : \begin{pmatrix} S_{11} & S_{12} & S_{13} & \dots \\ S_{21} & S_{22} & S_{23} & \dots \\ S_{31} & S_{32} & S_{33} & \dots \\ \vdots & \vdots & \vdots & \vdots \end{pmatrix} \begin{pmatrix} v_1 \\ v_2 \\ v_3 \\ \vdots \end{pmatrix} \rightarrow \underline{v}$$

$$=: \underline{S} \cdot \underline{v}$$

Analog: Matrixmultiplikation

$$M_{ej} = \sum_i k_{ei} L_{ij}$$

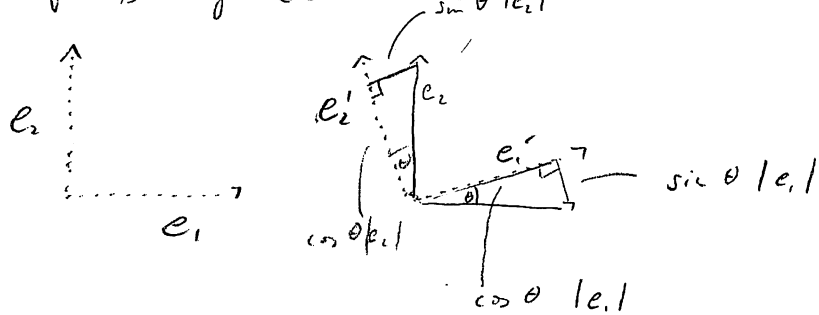
$$\begin{pmatrix} M_{11} & M_{12} & \dots \\ M_{21} & M_{22} & \dots \\ \vdots & \vdots & \vdots \end{pmatrix} = \begin{pmatrix} k_{11} & k_{12} & \dots \\ k_{21} & k_{22} & \dots \\ \vdots & \vdots & \vdots \end{pmatrix} \cdot \begin{pmatrix} L_{11} & L_{12} & \dots \\ L_{21} & L_{22} & \dots \\ \vdots & \vdots & \vdots \end{pmatrix}$$

$$\text{mit } M_{ii} = \sum_i k_{ii} L_{ii}$$

$$= k_{11} L_{11} + k_{12} L_{21} + k_{13} L_{31} + \dots$$

$$=: \begin{pmatrix} k_{11} & k_{12} & k_{13} & \dots \end{pmatrix} \left| \begin{array}{c} L_{11} \\ L_{12} \\ L_{13} \\ \vdots \\ S_{j=1} \end{array} \right.$$

Auflosung Drehung 2D:



$$\Rightarrow e_1 = \cos \theta e_1' - \sin \theta e_2'$$

$$e_2 = \sin \theta e_1' + \cos \theta e_2'$$

$$\text{Vergleicht mit } e_i = \sum_j S_{ij} e_j' \Rightarrow e_1 = S_{11} e_1' + S_{21} e_2'$$

$$e_2 = S_{12} e_1' + S_{22} e_2'$$

$$\text{gilt } S_{11} = \cos \theta$$

$$S_{12} = \sin \theta$$

$$S_{21} = -\sin \theta$$

$$S_{22} = \cos \theta$$

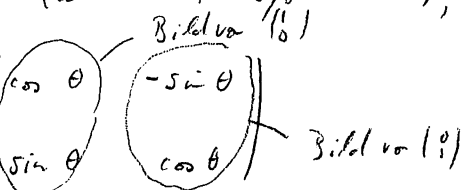
$$\Rightarrow \underline{S} = \begin{pmatrix} S_{11} & S_{12} \\ S_{21} & S_{22} \end{pmatrix} = \begin{pmatrix} \cos \theta & \sin \theta \\ -\sin \theta & \cos \theta \end{pmatrix}$$

Achtung: $\underline{S}' \underline{S} = \underline{I}$ gilt analog der Komponenten nach einer Basistransformation.

("passive Transformation")

$\underline{w} = \underline{L} \cdot \underline{v}$ gilt Transformation von \underline{v} nach \underline{w} an ("aktive Transformation"),

\underline{L} kann auch hier eine Drehung sein: $\underline{L} = \begin{pmatrix} \cos \theta & -\sin \theta \\ \sin \theta & \cos \theta \end{pmatrix}$



- Drehung in 3D um z-Achse (param.)

$$\underline{L}^z = \begin{pmatrix} \cos \theta & \sin \theta & 0 \\ -\sin \theta & \cos \theta & 0 \\ 0 & 0 & 1 \end{pmatrix}$$

und analog für Drehungen um x und y Achse. Drehungen um eine beliebige Achse lassen sich aus solchen Drehungen um x, y, z - Achse zusammensetzen.
(Achtung: endliche Drehungen kommutieren nicht.)

- allgemeine lineare Transformation (param.)

$$\underline{v}' = \underline{L} \cdot \underline{v}$$

$$\underline{v}_1 = \begin{pmatrix} 1 \\ 0 \\ 0 \\ \vdots \end{pmatrix}$$

$$\underline{v}_2 = \begin{pmatrix} 0 \\ 1 \\ 0 \\ \vdots \end{pmatrix}$$

$$\underline{v}_3 = \begin{pmatrix} 0 \\ 0 \\ 1 \\ \vdots \end{pmatrix} \dots$$

$$\underline{v}'_1 = \begin{pmatrix} L_{11} \\ L_{21} \\ L_{31} \\ \vdots \end{pmatrix}$$

$$\underline{v}'_2 = \begin{pmatrix} L_{12} \\ L_{22} \\ L_{32} \\ \vdots \end{pmatrix} \dots$$

$\Rightarrow \underline{L}$ ist die Matrix der Abbildung der Basis-Spaltenvektoren $\begin{pmatrix} 1 \\ 0 \\ 0 \\ \vdots \end{pmatrix}, \begin{pmatrix} 0 \\ 1 \\ 0 \\ \vdots \end{pmatrix}, \dots$

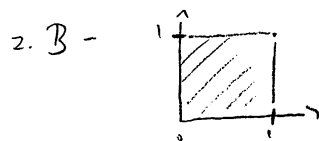
$$\underline{L} = \begin{pmatrix} \underline{v}'_1 & \underline{v}'_2 & \underline{v}'_3 \\ \vdots & \vdots & \vdots \end{pmatrix}$$

4.8 Die Determinante

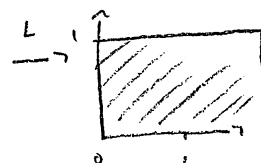
Für die Determinante einer linearen Abbildung, bzw. der Matrix, die die Abbildung darstellt, kann sich verschiedene Definitionen angeben. Dass diese Definitionen äquivalent sind ist eine direkte Einheit der linearen Algebra (wird nicht beweisen, Elemente finden sich leicht in Keoma, v. Wall)

1. Volumenänderung unter LT

1. Die Determinante einer $n \times n$ -Matrix L ist das verarbeitete Volumen der Abbildung des Einheitswürfels (aktive Transformation).

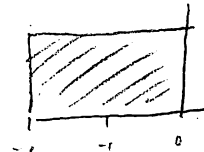


$$L = \begin{pmatrix} 2 & 0 \\ 0 & 1 \end{pmatrix}$$



$$\det(L) = 2$$

$$- L = \begin{pmatrix} -2 & 0 \\ 0 & 1 \end{pmatrix}$$



$$\det(L) = -2$$

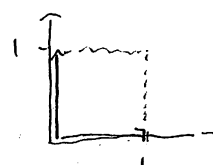
Vorarbeitsbeispiel bestätigt, dass wenn sich die Orientierung der Kante des Einheitswürfels ändert, die Determinante das Vorzeichen ändert. $\det(L \cdot L) = \det(L) \det(L)$ ist eine einfach konsistenzclasse Definition

- allgemeine lineare Abbildung in 2D $A = \begin{pmatrix} a_{11} & a_{12} \\ a_{21} & a_{22} \end{pmatrix}$

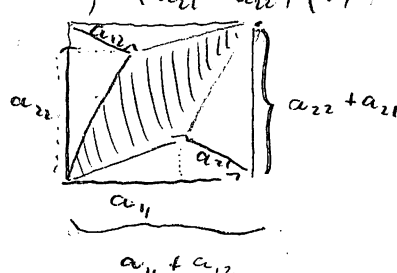
Bild als Einheitswürfel (in 2D: Quadrat) $\begin{pmatrix} 1 \\ 0 \end{pmatrix}, \begin{pmatrix} 0 \\ 1 \end{pmatrix}$ ist

$$\begin{pmatrix} a_{11} & a_{12} \\ a_{21} & a_{22} \end{pmatrix} \begin{pmatrix} 1 \\ 0 \end{pmatrix} = \begin{pmatrix} a_{11} \\ a_{21} \end{pmatrix}$$

$$\begin{pmatrix} a_{11} & a_{12} \\ a_{21} & a_{22} \end{pmatrix} \begin{pmatrix} 0 \\ 1 \end{pmatrix} = \begin{pmatrix} a_{12} \\ a_{22} \end{pmatrix}$$



$$A = \begin{pmatrix} & \\ & \end{pmatrix}$$



$$\text{Fläche: } (a_{11} + a_{12})(a_{22} + a_{21}) - (a_{11} + a_{12})a_{21} - (a_{22} + a_{21})a_{12}$$

$$= (a_{11} + a_{12})a_{22} - (a_{22} + a_{21})a_{12} = a_{11}a_{22} - a_{12}a_{21}$$

2. Lineare Algebra

Lineare Gleichungen lassen sich in Matrixform schreiben

$$a_{11}x_1 + a_{12}x_2 + \dots + a_{1n}x_n = b_1$$

$$a_{21}x_1 + a_{22}x_2 + \dots + a_{2n}x_n = b_2$$

$$\vdots \quad \vdots$$

$$a_{m1}x_1 + a_{m2}x_2 + \dots + a_{mn}x_n = b_m$$

als $\underline{A} \cdot \underline{x} = \underline{b}$ mit $\underline{A} = \begin{pmatrix} a_{11} & a_{12} & \dots & a_{1n} \\ \vdots & \vdots & & \vdots \\ a_{m1} & a_{m2} & \dots & a_{mn} \end{pmatrix}$ def.

Wann gibt es eine Lösung?

- Beispiel $n=m=2$

$$a_{11}x_1 + a_{12}x_2 = b_1 \quad | + a_{22}$$

$$a_{21}x_1 + a_{22}x_2 = b_2 \quad | + a_{12}$$

$$\text{Substitution } (a_{11}a_{22}x_1 - a_{12}a_{21})x_1 = a_{22}b_1 - a_{12}b_2$$

$$x_1 = \frac{a_{22}b_1 - a_{12}b_2}{a_{11}a_{22} - a_{12}a_{21}}, \text{ analog } x_2 = \frac{a_{11}b_2 - a_{21}b_1}{a_{11}a_{22} - a_{12}a_{21}}$$

\Rightarrow Lösung mit $\underline{b} \neq 0$ existiert nur wenn $a_{11}a_{22} - a_{12}a_{21} = \det \underline{A} \neq 0$

zu $\underline{b} = 0$ existiert eine Lösung bei der nicht alle $x_i = 0$ sind nur wenn $\det \underline{A} = 0$. ($x_i = 0 \forall i$ ist triviale Lösung)

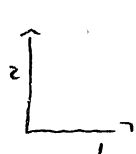
Lösbarkeit linearer Gleichungen lässt sich geometrisch interpretieren

$$\begin{pmatrix} a_{11} \\ a_{21} \\ a_{31} \\ \vdots \end{pmatrix} x_1 + \begin{pmatrix} a_{12} \\ a_{22} \\ a_{32} \\ \vdots \end{pmatrix} x_2 + \dots + \begin{pmatrix} a_{1n} \\ a_{2n} \\ \vdots \\ a_{nn} \end{pmatrix} x_n = \begin{pmatrix} b_1 \\ b_2 \\ \vdots \\ b_n \end{pmatrix}$$

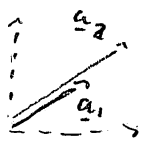
\Rightarrow Linearkombination der Spaltenvektoren ergibt \underline{b}

$$1. \quad \underline{b} = 0$$

- $\underline{a}_1 \cdot \underline{x}_1 + \underline{a}_2 \cdot \underline{x}_2 + \dots + \underline{a}_n \cdot \underline{x}_n = 0 \quad \underline{x} \in \ker(\underline{A})$
- $\underline{x}_1 = \underline{x}_2 = \dots = \underline{x}_n = 0$ ist die einzige Lösung, wenn $\{\underline{a}_i\}$ linear unabhängig sind.
- $\underline{x} = 0$ ist einzige Lsg., wenn $\det \underline{A} \neq 0$.
- $\Rightarrow \det \underline{A} = 0$ hängt mit der linearen Abhängigkeit der Spaltenvektoren von \underline{A} zusammen:



$$\xrightarrow{\underline{A}}$$



Fläche des Parallelogramms ist null, wenn Bildvektoren linear abhängig sind.

2. $\underline{b} \neq 0$: $\{\underline{a}_i\}$ müssen ein Erzeugendensystem sein, damit für jede $\underline{b} \neq 0$ eine Lösung existiert.

$$\underline{a}_1 \cdot \underline{x}_1 + \underline{a}_2 \cdot \underline{x}_2 + \dots + \underline{a}_n \cdot \underline{x}_n = \underline{b}$$

- $\underline{A} \cdot \underline{x} = \underline{b}$, wenn $\underline{b} \in \text{Im } (\underline{A})$ existiert eine Lsg. (folgt aus Def. des Bildes)
- $n = m$: $\{\underline{a}_i\}$ muss linear unabhängig sein damit zu jedem \underline{b} eine Lsg. existiert $\Leftrightarrow \det \underline{A} \neq 0$

Die Abbildung vom Raum der Matrizen $\mathbb{R}^{n \times n} \rightarrow \mathbb{R}$ heißt determinante wenn gilt

i) "Normierung" $\det \begin{pmatrix} 1 & 0 & 0 & \dots \\ 0 & 1 & 0 & \dots \\ 0 & 0 & 1 & \dots \\ \vdots & & & \end{pmatrix} = 1$

ii) "Multilinearität" $\det \begin{pmatrix} a_{11} & \dots & d c_1 + r d_1 & \dots & a_{1n} \\ \vdots & & d c_2 + r d_2 & \dots & a_{2n} \\ & & \vdots & & \vdots \\ & & & & a_{nn} \end{pmatrix}$

$$= \lambda \det \begin{pmatrix} a_{11} & \dots & c_1 & \dots & a_{1n} \\ a_{21} & & c_2 & & a_{2n} \\ \vdots & & \vdots & & \vdots \\ & & & & a_{nn} \end{pmatrix} + r \det \begin{pmatrix} a_{11} & \dots & d_1 & \dots & a_{1n} \\ a_{21} & & d_2 & & a_{2n} \\ \vdots & & \vdots & & \vdots \\ & & & & a_{nn} \end{pmatrix}$$

iii) "alternierend" $\det \begin{pmatrix} a_{11} & \dots & \downarrow & \downarrow & a_{1n} \\ a_{12} & \dots & a_1 & \dots & a_{2n} \\ \vdots & & \vdots & & \vdots \\ & & & & \vdots \end{pmatrix} = 0$

d.h. linear abhängige Spaltenvektoren führen zu Determinante null.

i)-iii) sind kompatibel mit intuitiven Vorstellungen von der Volumenmatrix; erstaunlich ist, dass sie die Determinante eindeutig festlegen (Beweis: Konecny, v. M.)

3. Rekursiv : Die Determinante einer 1×1 Matrix (a) ist a (Vorzeichenbehaft. Volumenänderung)

Schreibe wir eine Matrix \underline{A} mit Zeile i und Spalte j an \underline{A}_{ij} , dann ist

$$\det(\underline{A}) = \sum_{k=1}^n (-1)^{k+1} a_{ki} \det(\underline{A}_{kj})$$

Beispiele - $\underline{A} = \begin{pmatrix} a_{11} & a_{12} \\ a_{21} & a_{22} \end{pmatrix}$ $n = 2$

$$\begin{aligned} \det(\underline{A}) &= a_{11} \det(\underline{A}_{11}) - a_{21} \det(\underline{A}_{21}) \\ &= a_{11} a_{22} - a_{12} a_{21} \end{aligned}$$

$$\begin{aligned} - \underline{A} = \begin{pmatrix} a_{11} & a_{12} & a_{13} \\ a_{21} & a_{22} & a_{23} \\ a_{31} & a_{32} & a_{33} \end{pmatrix} &= a_{11} \det \begin{pmatrix} a_{22} & a_{23} \\ a_{32} & a_{33} \end{pmatrix} - a_{21} \det \begin{pmatrix} a_{12} & a_{13} \\ a_{32} & a_{33} \end{pmatrix} \\ &\quad + a_{31} \det \begin{pmatrix} a_{12} & a_{13} \\ a_{22} & a_{23} \end{pmatrix} \end{aligned}$$

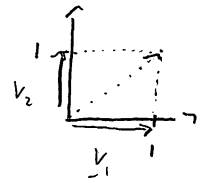
Wichtige Eigenschaften der Determinante (Beweise: z.T. Übungen)

- $\det(\underline{A}^T) = \det(\underline{A})$
- Vertauschung von Spalten einer M. führt zum Vorzeichenwechsel der Determinante
- Inverse einer M. existiert nur wenn $\det \underline{A} \neq 0$.
- $\det(AB) = \det(A) \det(B)$
- addiert man zu einer Spalte (Zeile) einer M. eine Linearkombination der übrigen Spalten (Zeilen), so ändert sich $\det A$ nicht.

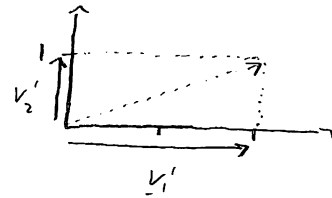
4.9 Eigenvektoren und Eigenwerte

Heuristisch:

Eigenvektoren einer linearen Transformation sind Vektoren, die unter der Transformation ihre Richtung nicht ändern.



$$\underline{A} = \begin{pmatrix} 2 & 0 \\ 0 & 1 \end{pmatrix} \quad \rightarrow$$



v_1 und v_2 sind Eigenvektoren von \underline{A} , sie ändern ihre Richtung nicht sondern werden nur mit einer skalaren Konstante multipliziert (dem sogenannten Eigenwert)

$v_1 + v_2$ ist kein Eigenvektor.

Eigenvektoren und -werte werden sich als enorm praktisch bei der Beschreibung von schwierigen Systemen mit viele Freiheitsgraden erweisen. Dort treten die Eigenwerte als Resonanzfrequenzen auf.

Ein weitere wichtige Anwendung ist die Quantenmechanik. Eigenvektoren (der Hamiltonmatrix) beschreiben stationäre Zustände eines Systems.

Definition: Sei $\underline{A} \in \mathbb{R}^{n \times n}$. Dann heißt ein von Null verschiedener Vektor $\underline{v} \in \mathbb{R}^n$ Eigenvektor von \underline{A} wenn ein $\lambda \in \mathbb{R}$ existiert mit

$$\underline{A} \underline{v} = \lambda \underline{v}$$

λ heißt der Eigenwert von \underline{v} .

Hinweise: - Verallgemeinerung auf Vektorräume über anderen Körpern als \mathbb{R} ist einfach zu bewerkstelligen, wichtig ist ob Fall $\underline{A} \in \mathbb{C}^{n \times n}$, $\underline{v} \in \mathbb{C}^n$, $\lambda \in \mathbb{C}$.

- Prinzipiell sind n unterschiedliche Eigenwerte möglich. Eigenvektoren mit denselben Eigenwert liegen nicht linear, Eigenvektoren zum selben Eigenwert spannen einen Unterraum von Eigenvektoren (alle mit Eigenwert λ) auf: Eigenraum.

Beispiele: $\underline{A} = \begin{pmatrix} 2 & -4 \\ -1 & -1 \end{pmatrix}$

$\underline{v} = \begin{pmatrix} -4 \\ 1 \end{pmatrix}$ ist ein Eigenvektor, da $\begin{pmatrix} 2 & -4 \\ -1 & -1 \end{pmatrix} \begin{pmatrix} -4 \\ 1 \end{pmatrix} = \begin{pmatrix} -8-4 \\ -4+1 \end{pmatrix} = \begin{pmatrix} -12 \\ -3 \end{pmatrix} = 3 \begin{pmatrix} 4 \\ 1 \end{pmatrix}$

und spannt einen Eigenraum auf, der \underline{v} , $a \underline{v}$, $a^2 \underline{v}$ usw.

$\underline{v} = \begin{pmatrix} 1 \\ 1 \end{pmatrix}$ ist ein Eigenvektor, da $\begin{pmatrix} 2 & -4 \\ -1 & -1 \end{pmatrix} \begin{pmatrix} 1 \\ 1 \end{pmatrix} = \begin{pmatrix} 2-4 \\ -1-1 \end{pmatrix} = \begin{pmatrix} -2 \\ -2 \end{pmatrix} = -2 \begin{pmatrix} 1 \\ 1 \end{pmatrix}$

und spannt einen Eigenraum auf.

$\underline{A} = \begin{pmatrix} \frac{1}{\sqrt{2}} & -\frac{1}{\sqrt{2}} \\ \frac{1}{\sqrt{2}} & \frac{1}{\sqrt{2}} \end{pmatrix}$ $\underline{v} = \begin{pmatrix} i \\ 1 \end{pmatrix}$ mit $\lambda = \frac{1}{\sqrt{2}}(1+i)$

Drehung um 45° $\underline{v} = \begin{pmatrix} -i \\ 1 \end{pmatrix}$ $\lambda = \frac{1}{\sqrt{2}}(1-i)$

\Rightarrow keine Eigenvektoren im \mathbb{R} !

4.9.1 Bestimmung von Eigenvektoren und -werten

$$\underline{A} \underline{v} = \lambda \underline{v} = \lambda \underline{I} \underline{v} \Rightarrow (\underline{A} - \lambda \underline{I}) \underline{v} = 0$$

Einheitsmatrix

Wir suchen also eine nichttriviale ($\underline{v} \neq 0$) Lösung einer homogenen linearen Gleichung. Eine solche Lösung existiert nur, wenn die Spaltenvektoren von $\underline{A} - \lambda \underline{I}$ linear abhängig sind $\Rightarrow \det(\underline{A} - \lambda \underline{I}) = 0$.

Diese Gleichung können wir als polynomiale Gleichung $\underbrace{\lambda}_{n\text{-te Ordnung}}$ für λ auflösen und lösen!

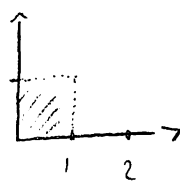
Beispiel: $\underline{A} = \begin{pmatrix} 2 & -4 \\ -1 & -1 \end{pmatrix}$ $0 = \det \begin{pmatrix} 2-\lambda & -4 \\ -1 & -1-\lambda \end{pmatrix} = -(2-\lambda)(1+\lambda) - 4 = \lambda^2 + \lambda - 6 = (\lambda+2)(\lambda-3)$

mit Lösungen $\lambda = -2, 3$
 \Rightarrow Eigenvektor lässt sich jetzt aus dem (reduziert) Gl.
 $(2-3)v_1 - 4v_2 = 0$
 $-1v_1 - (1+3)v_2 = 0$ bestimmen:

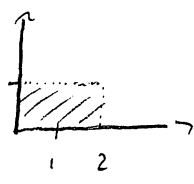
und an das $v_1 = -4v_2$ und $v_2 = -1$

4.10 Die Hauptachsentransformation

ist sicher die wichtigste Anwendung des Eigenvektor-Konzepts.



\xrightarrow{A}



hat in der Basis $(1, 0), (0, 1)$
eine besonders einfache ("ausgezeichnete")

$$\text{Darstellung } \underline{A} = \begin{pmatrix} 2 & 0 \\ 0 & 1 \end{pmatrix} \text{ "diagonal"}$$

Die Darstellung \underline{A} ist diagonal, wenn $A_{ij} = 0$ mit $i \neq j$. Auf der Diagonale liegen die Eigenwerte; die Basisvektoren sind Eigenvektoren.

Bei einer anderen Wahl der Basis wäre \underline{A} nicht diagonal, die Eigenvektoren müsste man erst berechnen.

Kernfrage: Gegeben A (geg. in einer gegebenen Basis $\underline{\cdot}$) , kann man eine (zweite) Basis finden, so dass \underline{A}' diagonal ist? Dies ist genau dann der Fall, wenn die Eigenvektoren von A eine Basis bilden.

Anwendungen: - Schwingungsmoden (Eigenwerte) gekoppelter Systeme

- Beschreibung rotierender Körper
- QM: Diagonalisierung der Hamilton-Matrix
- QFT: Diagonalisierung der Lagrange-Funktion liefert Einheits-Einstücke

Obwohl sich diese Frage allgemein beantworten lässt, beschreiben wir uns hier auf einen Spezialfall von grosser Relevanz:

4.10.1 Selbstadjungierte Abbildungen und symmetrische Matrizen

Matrizen die in der Physik auftreten sind häufig "symmetrisch": $A_{ij} = A_{ji}$

fundamentale Symmetrie ≥ 3 durch Matrie III:

$$E_k = \frac{k}{2} (x_1 - x_2)^2$$

$$= \frac{k}{2} (x_1, x_2) \begin{pmatrix} 1 & -1 \\ -1 & 1 \end{pmatrix} \begin{pmatrix} x_1 \\ x_2 \end{pmatrix}$$

Feststehende
Form.

Geometrische Interpretation einer symmetrischen Matrix?

Exkurs: Selbstadjungierte Abbildungen

Eine lineare Abbildung $A: V \rightarrow V$ in einem endlichdimensionalen Vektorraum heißt selbstadjungiert, wenn für alle $v, w \in V$ gilt

$$\langle A(v), w \rangle = \langle v, A(w) \rangle$$

wobei $\langle x, y \rangle = \underline{x} \cdot \underline{y}$ das euklidische Skalarprodukt ist.

Satz: Sei (e_1, \dots, e_n) eine Orthonormalbasis und $L: V \rightarrow V$ eine lineare Abbildung, dann ist A genau dann selbstadjungiert, wenn die zugehörige Matrix $A_{ij} = \underbrace{\langle e_i, A e_j \rangle}_{\text{L } e_j = \sum_i L_{ij} e_i}$ symmetrisch ist.

Beweis: 1. $A_{ij} = \langle e_i, A e_j \rangle = \underbrace{\langle A e_i, e_j \rangle}_{\text{A selbstadjg}} = \langle e_j, A e_i \rangle = A_{ji}$

Wegen $\underline{e}_j = \underline{A}^t \underline{e}_i$

2. $\langle A y, x \rangle = \underline{y} \cdot \underline{A}^t \underline{x} = \underline{y}^t \cdot \underline{A} \cdot \underline{x} = \langle y, A x \rangle$

$(A x)^t = x^t \cdot A^t$

\Rightarrow ist eine Matrix in einer Orthonormalbasis symmetrisch, ist sie auch in alle anderen Orthonormalbasen symmetrisch

Satz: Eigenvektoren zu verschiedenen Eigenwerten einer selbstadjungierten linearen Abbildung A sind orthogonal zueinander.

Dazu kann man Eigenvektoren zu konjugation einer Orthonormalbasis verwenden, in der die Matrixdarstellung einer Abbildung diagonal ist. Bei degeneraten Eigenwerten kann sich orthogonale Vektoren in entsprechenden Eigenräumen konjugieren. (nicht triviale Aussage, s. Kernaufg. 23)

Beweis: Seien u und v Eigenvektoren von unterschiedlichen Eigenwerten $\lambda \neq \nu$

$$\lambda \langle u, v \rangle = \langle \lambda u, v \rangle = \langle A u, v \rangle = \langle u, A v \rangle = \langle u, \nu v \rangle = \nu \langle u, v \rangle$$

selbstst. $\Rightarrow \langle u, v \rangle = 0$

Die Transformation von einer gegebenen Basis $\{e_i\}$ in eine Basis $\{\tilde{e}_i\}$ der A' diagonal ist, heißt Hauptachsentransformation. Wir betrachten den Fall, bei dem $\{e_i'\}$ und $\{e_i\}$ orthogonal sind:

Schreibe wir einen beliebigen Vektor $v = \sum_j v_j e_j$ in "alte" Koordinatensystem,

ist v'_i in neu

$$v'_i = \langle e'_i, \sum_j v_j e_j \rangle = \sum_j \underbrace{\langle e'_i, e_j \rangle}_{S_{ij}} v_j = \sum_j S_{ij} v_j = \dots$$

$S_{ij} = \langle e'_i, e_j \rangle = \langle e_j, e'_i \rangle$ und $e_j = \sum_i S_{ij} e'_i$
kennzeichne j als i -ten Eigenvektor in altem System

$$S = \begin{cases} \text{Eigenvektor 1 (normal.)} \\ \text{Eigenvektor 2 ...} \end{cases} \quad \text{in altem Basis}$$

$$v' = S \cdot v$$

Genauso kann man die Transformationseigenschaft der Darstellung von A unter der Hauptachsentransformation betrachten

$$\begin{aligned} A_{ij} &= \langle e_i, A e_j \rangle = \text{aus } A e_i = \sum_k A_{ik} e_k \\ &= \left\langle \sum_k S_{ki} e'_k, A \left(\sum_l S_{lj} e'_l \right) \right\rangle \\ &= \sum_k S_{ki} \cdot \langle e'_k, A e'_l \rangle S_{lj} = \sum_k S_{ki} A'_{kl} S_{lj} = \left(S^T \cdot A' \cdot S \right)_{ij} \\ &\text{da } (S^T)_{ik} = S_{ki} \end{aligned}$$

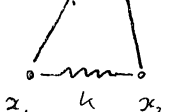
$$\text{oder } A = S^T \cdot A' \cdot S$$

Da S zeilenweise aus normierten, orthogonalen Eigenvektoren besteht, gilt

$$S \cdot S^T = \begin{pmatrix} \text{Eigenvektor 1} & \cdots \\ \text{Eigenvektor 2} & \cdots \\ \vdots & \ddots \end{pmatrix} \begin{pmatrix} \mathbb{I} & & & \\ & \mathbb{I} & & \\ & & \mathbb{I} & \\ & & & \ddots \end{pmatrix} = \begin{pmatrix} 1 & & & \\ & 1 & & \\ & & 1 & \\ & & & \ddots \end{pmatrix} = \mathbb{I}$$

$$\Rightarrow S^T = S^{-1} \quad \text{und} \quad A' = (S^T)^{-1} \cdot A \cdot S^{-1} = S \cdot A \cdot S^T$$

Matrizen mit $\underline{S}^T = \underline{S}^{-1}$ heißen orthogonal. Die entsprechende lineare Transformation $\underline{v}' = \underline{S} \underline{v}$ erhält die Euklidische Skalarprodukt: $\langle \underline{u}, \underline{v} \rangle = \underline{u}^T \underline{v}' = (\underline{S} \underline{u})^T (\underline{S} \underline{v}) = \underbrace{\underline{u}^T \underline{S}^T}_{\parallel} \underline{S} \underline{v} = \underline{u}^T \underline{v}$
 $(\Leftrightarrow$ Rotation + Spiegelung)

Beispiel: Gekoppelt Parallel 
 $\ddot{x}_1 = -\omega^2 x_1 + \kappa x_2$ $\kappa = k/m$
 $\ddot{x}_2 = -\omega^2 x_2 + \kappa x_1$
oder $\ddot{\underline{x}} = -\begin{pmatrix} \omega^2 & -\kappa \\ -\kappa & \omega^2 \end{pmatrix} \underline{x} = -A \underline{x}$

Die Matrix A hat zwei Eigenvektoren $\frac{1}{\sqrt{2}} \begin{pmatrix} 1 \\ 1 \end{pmatrix}$ und $\frac{1}{\sqrt{2}} \begin{pmatrix} -1 \\ 1 \end{pmatrix}$

$$\begin{aligned} S_{ij} &= \begin{pmatrix} 1 & 1 \\ -1 & 1 \end{pmatrix} / \sqrt{2} & x_1' &= \frac{1}{\sqrt{2}} (x_1 + x_2) \\ && x_2' &= \frac{1}{\sqrt{2}} (-x_1 + x_2) \\ \Rightarrow \ddot{x}_1' &= \frac{1}{\sqrt{2}} (\ddot{x}_1 + \ddot{x}_2) = \frac{1}{\sqrt{2}} (-\omega^2 (x_1 + x_2) + \kappa (x_1 - x_2)) \\ &= -(\omega^2 - \kappa) x_1' \\ \ddot{x}_2' &= \frac{1}{\sqrt{2}} (-\ddot{x}_1 + \ddot{x}_2) = -(\omega^2 + \kappa) x_2' \\ \ddot{\underline{x}}' &= \begin{pmatrix} -(\omega^2 - \kappa) & 0 \\ 0 & -(\omega^2 + \kappa) \end{pmatrix} \underline{x}' \end{aligned}$$

In den neuen Koordinaten ('Normalkoordinate') liegen zwei unabhängige Differentialgleichungen vor! Die entsprechende Bewegungsmuster (phasensynchron (1), phasaverschoben (-1)) heißen Normalmodi des Systems.

4.11 Das Kreuzprodukt

Das Kreuzprodukt zwischen zwei Vektoren $\underline{v}, \underline{w}$ im \mathbb{R}^3 ist in kartesischen Koordinaten definiert als der Spaltenvektor

$$\underline{v} \times \underline{w} = \begin{pmatrix} v_1 \\ v_2 \\ v_3 \end{pmatrix} \times \begin{pmatrix} w_1 \\ w_2 \\ w_3 \end{pmatrix} = \begin{pmatrix} v_2 w_3 - v_3 w_2 \\ v_3 w_1 - v_1 w_3 \\ v_1 w_2 - v_2 w_1 \end{pmatrix}$$

und kann als Determinante $\begin{vmatrix} e_1 & v_1 & w_1 \\ e_2 & v_2 & w_2 \\ e_3 & v_3 & w_3 \end{vmatrix}$ gelesen werden

Geometrische Interpretation

1. $\underline{v} \times \underline{w}$ ist ein Vektor der senkrecht auf \underline{v} und \underline{w} steht:

$$\underline{v} \cdot (\underline{v} \times \underline{w}) = v_1 v_2 w_3 - v_1 v_3 w_2 = 0 \quad \text{und analog } \underline{w} \cdot (\underline{v} \times \underline{w}) = 0$$

$$+ v_2 v_3 w_1 - v_2 v_1 w_3$$

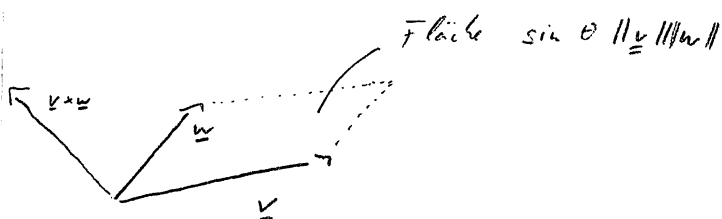
$$+ v_3 v_1 w_2 - v_3 v_2 w_1$$

2. Die Norm von $\underline{v} \times \underline{w}$ ist $\sin \theta \|\underline{v}\| \|\underline{w}\|$ wobei θ der Winkel zwischen \underline{v} und \underline{w} ist

Dazu berechnen wir

$$\begin{aligned} \|\underline{v} \times \underline{w}\|^2 + (\underline{v} \cdot \underline{w})^2 &= v_2^2 w_3^2 - 2v_2 w_3 v_3 w_2 + v_3^2 w_2^2 \\ &\quad + v_3^2 w_1^2 - 2v_3 w_1 v_1 w_3 + v_1^2 w_3^2 \\ &\quad + v_1^2 w_2^2 - 2v_1 w_2 v_2 w_1 + v_2^2 w_1^2 \\ &\quad + (v_1 w_1 + v_2 w_2 + v_3 w_3)^2 = v_1^2 w_1^2 + v_2^2 w_2^2 + v_3^2 w_3^2 + 2(v_1 w_1 v_2 w_2 \\ &\quad + v_1 w_1 v_3 w_3 + v_2 w_2 v_3 w_3) \\ &= v_1^2 w_1^2 + v_1^2 w_2^2 + v_1^2 w_3^2 \\ &\quad + v_2^2 w_1^2 + v_2^2 w_2^2 + v_2^2 w_3^2 \\ &\quad + v_3^2 w_1^2 + v_3^2 w_2^2 + v_3^2 w_3^2 \\ &= (v_1^2 + v_2^2 + v_3^2)(w_1^2 + w_2^2 + w_3^2) = \|\underline{v}\|^2 \|\underline{w}\|^2 \end{aligned}$$

$$\begin{aligned} \Rightarrow \|\underline{v} \times \underline{w}\|^2 &= \|\underline{v}\|^2 \|\underline{w}\|^2 - (\underline{v} \cdot \underline{w})^2 = \|\underline{v}\|^2 \|\underline{w}\|^2 - \cos^2 \theta \|\underline{v}\|^2 \|\underline{w}\|^2 \\ &= (1 - \cos^2 \theta) \|\underline{v}\|^2 \|\underline{w}\|^2 \\ &= \sin^2 \theta \|\underline{v}\|^2 \|\underline{w}\|^2 \end{aligned}$$

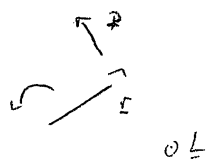


$\|v \times w\|$ steht senkrecht auf dem von v, w aufgespannten Parallelipipeden und seine Norm ist gleich dessen Flächeinhalt.

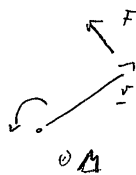
Zusatz: - nach der obigen Definition gehören $v, w, v \times w$ der "Recht-Hand Regel" (Konvention über die Richtung von $v \times w$!)

- $u \cdot (v \times w)$ ist das Volumen des durch $u \cdot (v \times w)$ aufgespannten Parallelepipeds

Beispiele: Drehimpuls $\underline{L} = \underline{r} \times \underline{p}$



Drehmoment $\underline{M} = \underline{r} \times \underline{F}$



Newton II gilt $\partial_t \underline{L} = \underline{M}$

$$\text{ED } \underline{F} = \underline{v} \times \underline{B}$$

Ausblick:

- Wir haben ausschliesslich reelle Vektorräume betrachtet. In der Analysis kann man weisse Sie Vektorräume über den komplexen Zahlen kennen lernen, also $(t, v) \mapsto tv$ mit $t \in \mathbb{C}$

Auch dort lässt sich ein analog zu euklidischen Raum definieren

$$v = \sum_i v_i e_i \quad \langle v, v \rangle = \sum_i v_i^* v_i$$

Durch die komplexe Konjugation hat nun der Nullvektor die Norm Null (Axiom i) aus 4.5). Bei $\langle v, v \rangle = \sum_i v_i^2$ hätte auch $(!)$ Norm Null. Selbstadjungierte Abbildungen, Hauptachsentransformationen etc. laufen analog.

- Physiker klassifizieren Objekte nach ihren Verhalten unter einer Transformation in eine neue Basis

$$t' = t \quad \text{"transformiert wie Skalar"}$$

$$\underline{x}' = \underline{\underline{S}} \underline{x} \quad \text{"komponiert eines Vektors : "transformiert wie ein Vektor"}$$

$$\underline{\underline{A}}' = \underline{\underline{S}} \underline{\underline{A}} \underline{\underline{S}}^T \quad \text{Elemente eines Tensors}$$

5. Vektoranalysis

Analysis beschäftigt sich u.a. mit Funktionen und ihren Ableitungen "nah" gelegene Punkte. z.B. ist $f'(x)$ die Ableitung von $f(x)$, wenn gilt

$$\forall \varepsilon > 0 \exists \delta > 0 : |v| < \delta \quad |[f(x+v) - f(x)] - f'(x)v| < \varepsilon |v|$$

$$\text{also } \lim_{v \rightarrow 0} \frac{f(x+v) - f(x) - f'(x)v}{v} = 0$$

$$x_0 = 1 \quad x_1 = 0.1 \quad x_2 = 0.01$$

kommt diese Art wohl also nicht
von Ort x abhängt") sondern auch $\forall \varepsilon > 0 \exists N \in \mathbb{N} : \forall n \geq N |x_n - 0| < \varepsilon$ (z.B. "ein Vektor, ab vom Ort abhängt") benötigt $\Rightarrow \lim_{n \rightarrow \infty} x_n = 0$ und Intuition
von Form und Vektor auf Linie, C

- Aerodynamik: Geschwindigkeitsfelder

- Elektrodynamik: Maxwellgleichungen sind I

- Allgemeine Relativitätstheorie: DGL mit ra

- Thermodynamik: Integrale von $\underline{T_{\text{form}}}$ in Raum wie z.B. $\underline{\int_{T_{\text{punkt}}}}$

]

5.1 Vektorfelder und 1-Formen

Sei $(M, V, +)$ ein affiner Raum, dann ist ein Vektorfeld v auf M eine
Abbildung

$$v: M \rightarrow V, \quad p \mapsto v(p)$$

die jedem Punkt in M einen Vektor v zuweist

Visualisierung

Analog dazu ist eine 1-Form eine abhängige Linearform:

Sei $(M, V, +)$ ein affiner Raum, dann ist eine 1-Form λ auf M eine Abbildung,

$$\lambda: M \rightarrow V^*, \quad p \mapsto \lambda_p$$

die jedem Punkt p eine Linearform λ zuweist.

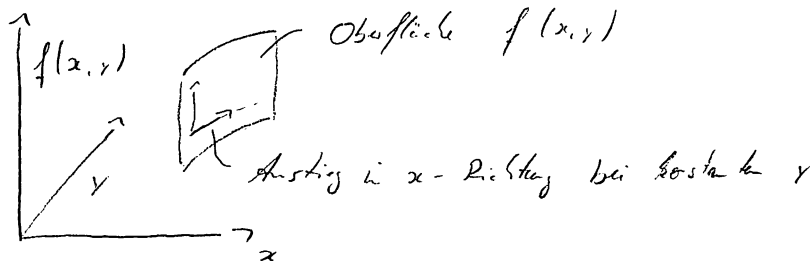


3.5.1 Partielle Ableitung

bezeichnet die Ableitung einer Funktion mehrerer Variablen nach einer einzelnen Variablen.

Anschaulich

$$f(x_1, y)$$



Bei konstanter $y=c$ hängt $f(x, c) = f_c(x)$ nur von x ab, so dass wir die Ableitung wie bei Funktionen einer Variablen definieren können.

Ist $f(x_1, x_2, \dots, x_n)$ eine Funktion auf einem (offenen; sog. allgemeinen) Quadrat $C \subset \mathbb{R}^n$, heißt sie Gradient

$$\lim_{h \rightarrow 0} \frac{f(x_1, x_2, \dots, x_i + h, \dots, x_n) - f(x_1, x_2, \dots, x_i, \dots, x_n)}{h} := \frac{\partial f(x_1, \dots, x_n)}{\partial x_i}$$

wenn es existiert.

Beispiele:

$$\frac{\partial}{\partial x_1} (x_1^3 + x_1 x_2 x_3 + x_1^2 x_2) = 3x_1^2 + x_2 x_3 + 2x_1 x_2$$

$$\frac{\partial}{\partial x_2} \sin(x_1, x_2) = x_1 \cos(x_1, x_2)$$

(nicht differenzierbare Variable als Konstante deklarieren)

Ableitungen höherer Ordnung

sind durch Hintereinander-Ausführung von $\frac{\partial}{\partial x_i}$ und $\frac{\partial}{\partial x_j}$ definiert.

Schwarz'sche Regel (für Funktionen mit stetige 2. Ableitung)

$$\frac{\partial}{\partial x_i} \left(\frac{\partial}{\partial x_j} f \right) = \frac{\partial}{\partial x_j} \left(\frac{\partial}{\partial x_i} f \right) := \frac{\partial^2}{\partial x_i \partial x_j} f$$

gibt an wie schnell sich die Ableitung in eine Richtung der anderen verändert

Die Schwarz'sche Regel folgt aus

$$\frac{\partial}{\partial x_i} \left(\frac{\partial f}{\partial x_j} \right) = \lim_{h_i \rightarrow 0} \frac{1}{h_i} \left(\frac{\partial f(x_i + h_i, x_j)}{\partial x_j} - \frac{\partial f(x_i, x_j)}{\partial x_j} \right)$$

gleichmäßige Konvergenz von
stetigen Funktionen \Rightarrow Stetigkeit!

$$= \lim_{h_i \rightarrow 0} \frac{1}{h_i} \lim_{h_j \rightarrow 0} \frac{1}{h_j} \left(f(x_i + h_i, x_j + h_j) - f(x_i + h_i, x_j) - f(x_i, x_j + h_j) + f(x_i, x_j) \right)$$

5.2 Differential

Das Differential einer Abbildung von einem affinen Raum auf einen zweiten, ist eine Verallgemeinerung des Ableitungs.

Ableitung von $y = f(x)$ gibt an wie stark sich y bei "kleiner Änderung" von x ändert

$$\Delta y = f'(x) \Big|_x \cdot \Delta x + O(\Delta x^2) \quad (\text{linear!})$$

Differential von $f: X \rightarrow Y$ gibt an wie stark sich y bei "kleiner Änderung" von x ändert

$$\Delta y = (D_p f) \Big|_x \cdot \Delta x + O(\|\Delta x\|^2) \quad \text{wobei } X \text{ und } Y \text{ affine Räume sind, } \Delta y, \Delta x \text{ sind Differenzvektoren (mit Norm!)}$$

Seien X, Y zwei affine Räume mit normierten Differenzvektorräumen V, W .

eine Abbildung $f: X \rightarrow Y$ heißt in Punkt p differenzierbar, wenn eine lineare Abbildung $L = D_p f$ existiert, so dass gilt: an jedem $\epsilon > 0$ existiert ein $\delta > 0$ mit

$$\|f(p+v) - f(p) - Lv\| < \epsilon \|v\|$$

für alle v aus dem Differenzvektorraum von X mit $\|v\| < \delta$.

$$\text{oder ferner } \lim_{\|v\| \rightarrow 0} \frac{\|f(p+v) - f(p) - Lv\|}{\|v\|} = 0$$

Anschaulich: Geht man von p aus einen kleinen Schritt hv in Richtung v ($h \ll 1$) dann ist $h(D_p f)v + O(h^2)$ entsprechende Änderung in f . $D_p f$ kann man sich als "hungiges Objekt" vorstellen, das einen Vektor $v \in V$ frisst und einen Vektor $w \in W$ ausspuckt. (Genauso wie $f'(x) \cdot \Delta x$ aufgeht und Δy ausspuckt mit $\Delta y = f'(x) \cdot \Delta x + O(\Delta x^2)$)

Beispiel: Sei f eine Abbildung aus einem 2D affinen Raum auf eine 1D affinen Raum



$$f(p) = p_y + f(p)e_1^y$$

$$g(p) = f(x, y)$$

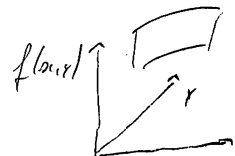
$$\Delta f = \frac{\partial f}{\partial x} \Delta x + \frac{\partial f}{\partial y} \Delta y$$

$$D_p e_1^x = \frac{\partial f}{\partial x} e_1^y$$

von $D_p f(\Delta x e_1^x + \Delta y e_2^y) : \left(\begin{array}{cc} \frac{\partial f}{\partial x} & \frac{\partial f}{\partial y} \end{array} \right) \left(\begin{array}{c} \Delta x \\ \Delta y \end{array} \right)$

$$D_p e_2^x = \frac{\partial f}{\partial y} e_1^y$$

und geschrieben $D_p f = df = \frac{\partial f}{\partial x} dx + \frac{\partial f}{\partial y} dy$



5.7 Der Gradient

Nach der allgemeinen Definition des Differentials beschäftigen wir uns mit einigen konkreten Differenzialoperatoren auf Feldern

Gradient eines skalaren Feldes	Vektor
Rotation eines Vektorfeldes	Vektor
Divergenz eines Vektorfeldes	Skalar

Sei $f: X \in \mathbb{R}^n \rightarrow \mathbb{R}$ eine Funktion, x_1, x_2, \dots, x_n kartesische Koordinaten des \mathbb{R}^n , dann heißt der Spaltenvektor

$$\nabla f = \begin{pmatrix} \frac{\partial f}{\partial x_1} \\ \frac{\partial f}{\partial x_2} \\ \vdots \\ \frac{\partial f}{\partial x_n} \end{pmatrix} \quad (\text{hängt von } x_1, \dots, x_n \text{ ab})$$

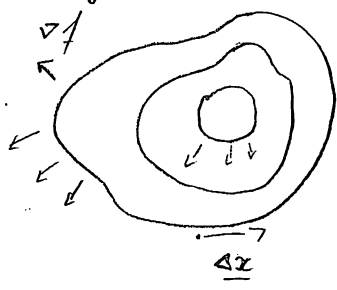
der Gradient von f an Ort p (angegeben durch die Koordinaten x_1, \dots, x_n)

In kartesischen Koordinaten hat ∇f dieselben Komponenten wie das Differential df

$$df \cdot \begin{pmatrix} \Delta x_1 \\ \Delta x_2 \\ \vdots \end{pmatrix} = \begin{pmatrix} \frac{\partial f}{\partial x_1} \\ \frac{\partial f}{\partial x_2} \\ \vdots \end{pmatrix} \cdot \begin{pmatrix} \Delta x \\ \Delta y \\ \vdots \end{pmatrix} = \sum_i \frac{\partial f}{\partial x_i} \Delta x_i = df + O(\|\Delta x\|^2)$$

Das Skalarprodukt von ∇f mit einem Verschiebungsvektor Δx gibt an, wie sich f in linearer Näherung ändert, wenn wir von x nach $x + \Delta x$ gehen.

Visualisierung (2D): $f(x, y)$



Linie mit konstanter f ("Höhenlinie")

Betrachten wir einen Vektor Δx als lokal tangentiel zu einer der Linien ist

$$\nabla f \cdot \Delta x = 0 \quad \text{da } f \text{ sich (in linearer Näherung) nicht ändert}$$

$\Rightarrow \nabla f$ steht überall rechtwinklig auf den Höhenlinien,

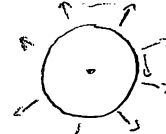
zeigt damit in Richtung der größten Variation pro $\|\Delta x\|$.

∇f ist Vektor orthogonal zu

Beispiel: $f(x) = \sqrt{x_1^2 + x_2^2 + x_3^2}$ (f gibt die Entfernung vom Ursprung an)

$$\nabla f = \begin{pmatrix} \frac{\partial f}{\partial x_1} \\ \frac{\partial f}{\partial x_2} \\ \frac{\partial f}{\partial x_3} \end{pmatrix} = \frac{1}{2\sqrt{x_1^2 + x_2^2 + x_3^2}} \begin{pmatrix} 2x_1 \\ 2x_2 \\ 2x_3 \end{pmatrix} = \frac{1}{\|x\|} \begin{pmatrix} x_1 \\ x_2 \\ x_3 \end{pmatrix}$$

stellt zu ∇f senkrecht
an f kugelschalt



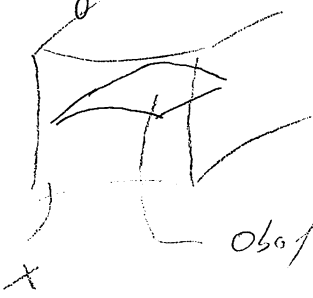
$$\nabla f \cdot v = \begin{cases} 0 & \text{wenn } v \text{ tangential zu Kugeloberfläche liegt} \\ \neq 0 & \text{sonst.} \end{cases}$$

Anwendung: Optimierung unter Nebenbedingung (Lagrange-Multiplikatoren)

Gesucht sei das lokale Maximum einer Funktion $f: X \rightarrow \mathbb{R}$ unter einer

Nebenbedingung $g(x) = 0$

Visualisierung:



Oberfläche mit $g(x) = 0$, ∇g ist orthogonal zur O. Fläche

Stellen wir uns vor, die gesamte Oberfläche $g(x) = 0$ abzutasten, auf der Suche nach einem lokalen Maximum von $f(x)$.

An einem solchen Maximum ist der Gradient von $f(x)$ orthogonal zur Oberfläche $g(x) = 0$! (Wenn ∇f eine Komponente tangential zu $g(x) = 0$ hätte würde sich $f(x)$ bei einem kleinen Schritt in diese Richtung in erste Ordnung ändern, das widerspricht jedoch der Annahme des Maximums – kein Maximum ändert sich f erst in zweiter Ordnung!).

$\Rightarrow \nabla f$ ist parallel zu ∇g

$$\Rightarrow \nabla f = \nu \nabla g \Rightarrow \nabla(f - \nu g) = 0$$

$\left. \begin{array}{l} \text{Löse nach } x \text{ und } \nu \text{ gibt Maximum} \\ \nu: \text{Lagrange-Multiplikator} \end{array} \right\}$

Wir kommen noch einmal kurz zu Gradientenfeldern zurück: Sei $\underline{F}(\underline{x})$ ein Gradientenfeld mit

$$\underline{F}(\underline{x}) = \nabla f(\underline{x}) = \begin{pmatrix} \frac{\partial f}{\partial x_1} \\ \frac{\partial f}{\partial x_2} \\ \vdots \end{pmatrix}$$
(Gradientenfeld \underline{F} definiert durch
 $\exists f(\underline{x}) : \underline{F} = \nabla f$)

Für $f(\underline{x})$ gilt allerdings auch

$$\frac{\partial^2 f}{\partial x_i \partial x_j} = \frac{\partial^2 f}{\partial x_j \partial x_i}$$

und mit $\underline{F}_i = (\underline{F})_i = \frac{\partial f}{\partial x_i}$ (i-te Komponente eines Vektorfeldes)

$$\frac{\partial \underline{F}_j}{\partial x_i} = \frac{\partial \underline{F}_i}{\partial x_j}$$

Ein Gradientenfeld in 3D hat dann z.B.

$$\frac{\partial}{\partial y} F_z - \frac{\partial}{\partial z} F_y = 0$$

$$\frac{\partial}{\partial z} F_x - \frac{\partial}{\partial x} F_z = 0$$

$$\frac{\partial}{\partial x} F_y - \frac{\partial}{\partial y} F_x = 0$$

5.8 Die Rotation (engl. curl)

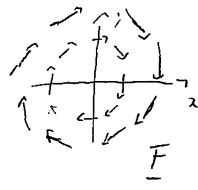
In 3D und kartesischen Koordinaten lässt sich für ein Vektorfeld $\underline{F}(\underline{x})$ ein Spaltenvektor mit Komponenten

$$\nabla \times \underline{F} = \begin{pmatrix} \frac{\partial}{\partial y} F_z - \frac{\partial}{\partial z} F_y \\ \frac{\partial}{\partial z} F_x - \frac{\partial}{\partial x} F_z \\ \frac{\partial}{\partial x} F_y - \frac{\partial}{\partial y} F_x \end{pmatrix}$$

definieren. $\nabla \times$ soll am das Kreuzprodukt erinnern: " $\nabla \times \underline{F} = \begin{pmatrix} \frac{\partial}{\partial x} \\ \frac{\partial}{\partial y} \\ \frac{\partial}{\partial z} \end{pmatrix} \times \begin{pmatrix} F_x \\ F_y \\ F_z \end{pmatrix}$ "

Ein Gradientenfeld $\underline{F} = \nabla f$ hat (s.o.) Rotation null: $\nabla \times \nabla f = 0 \quad \forall f$.

Beispiel: $\vec{F}(z) = \begin{pmatrix} y \\ -x \\ 0 \end{pmatrix}$



$$\partial \quad \partial \quad \partial$$

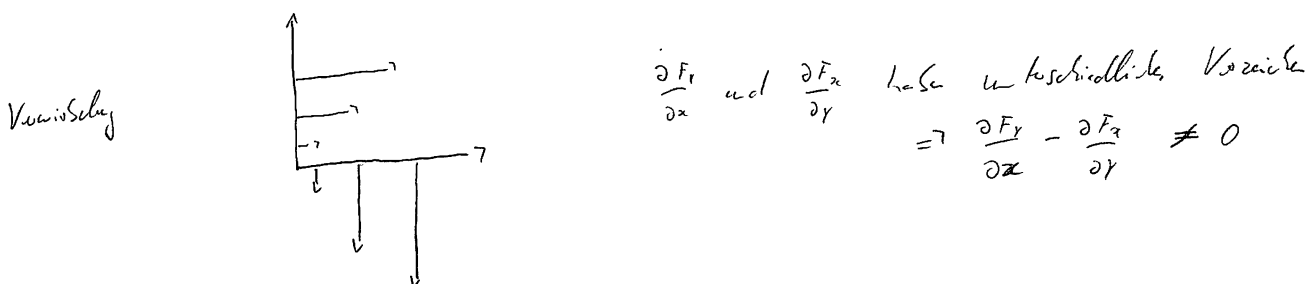
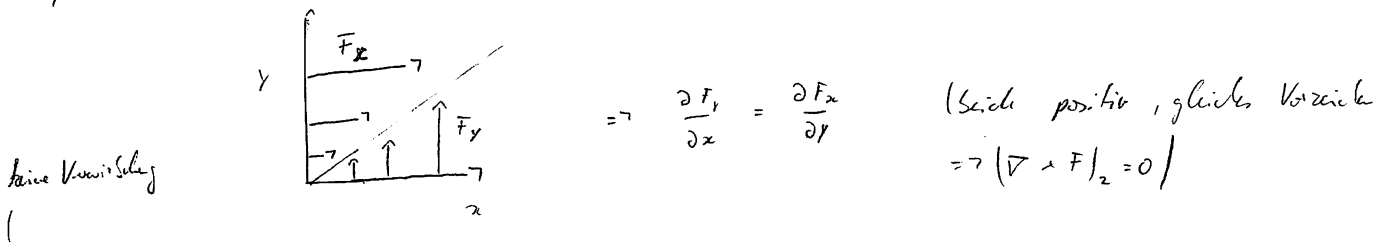
$$\nabla \times \vec{F}$$

(da Vektoren nach außen hin immer größer werden)

$$\nabla \times \vec{F} = \begin{pmatrix} \frac{\partial}{\partial y} 0 - \frac{\partial}{\partial z} (-x) \\ \frac{\partial}{\partial z} y - \frac{\partial}{\partial x} 0 \\ \frac{\partial}{\partial x} (-x) - \frac{\partial}{\partial y} y \end{pmatrix} = \begin{pmatrix} 0 \\ 0 \\ -2 \end{pmatrix}$$

Induktiv: $\vec{F}(z)$ sei das Geschwindigkeitsfeld eines strömenden Flüssigkeit
 $\nabla \times \vec{F}$ beschreibt wie sich ein kleiner Ball mit festem Mittelpunkt um $0 \in \mathbb{R}^3$
 rotiert ($|\nabla \times \vec{F}|$ ist proportional zu Winkelgeschwindigkeit, die Richtung von $\nabla \times \vec{F}$
 gibt die 'Drehachse an')

Warum gilt z.B. $(\nabla \times \vec{F})_2 = \frac{\partial F_y}{\partial x} - \frac{\partial F_x}{\partial y}$ die "Kovariante" des
 Vektorfeldes (hier: in der xy -Ebene) an?



Kovariante $\nabla \times \vec{F} \neq 0 \Leftrightarrow$ Winkelgeschwindigkeit



$$C, \text{ ges. Fläche} = 0$$

wenn C dann folgt.

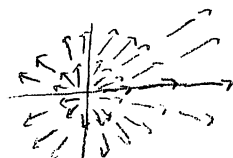
5.9) die Divergenz

ist eine Abbildung von einem Vektorfeld auf ein skalares Feld, definiert durch

$$\nabla \cdot \underline{F}(\underline{x}) = \frac{\partial F_x}{\partial x} + \frac{\partial F_y}{\partial y} + \frac{\partial F_z}{\partial z}$$

D. soll am als Skalarprodukt einsetzen " $\nabla \cdot \underline{F} = \left(\frac{\partial}{\partial x} \frac{\partial}{\partial y} \frac{\partial}{\partial z} \right) \begin{pmatrix} F_x \\ F_y \\ F_z \end{pmatrix}$ "

Beispiel: $\underline{F}(\underline{x}) = \underline{x} = \begin{pmatrix} x \\ y \\ z \end{pmatrix}$



$$\nabla \cdot \underline{F} = \frac{\partial x}{\partial x} + \frac{\partial y}{\partial y} + \frac{\partial z}{\partial z} = 3$$

(konstant)

(da Vektoren nach außen hin immer größer werden)

Intuitiv: \underline{F} sei das Geschwindigkeitsfeld einer strömenden Flüssigkeit
 $\nabla \cdot \underline{F}$ gibt an, wieviel Flüssigkeit netto aus einem kleinen Volumen herausfließt (pro Volumen).

Rechnung in 1D:

$$\frac{\partial F_x}{\partial x} = \frac{F_2 - F_1}{\Delta x} \quad \begin{array}{l} \text{gibt an, wie stark sich } F_x \text{ in } x\text{-Richtung} \\ \text{verändert} \end{array}$$

Durchflussdauer pro Zeit

$$- \frac{\Delta t F_2 - \Delta t F_1}{\Delta t \Delta x} \quad \begin{array}{l} \text{Netto Ausfluss} \\ \swarrow \end{array}$$

$$= + \frac{\partial F}{\partial x}$$

Vollgrößenang. auf höhere Dimensionen: D. fließt an Wände über ab, führt dort zu $\frac{\partial F}{\partial y}$, oder ändert die Dicke $\frac{\partial F}{\partial z}$.

$\nabla \cdot \underline{F} = - \frac{\partial}{\partial t} \mathcal{S}$ scheint eine parabol. Vollgrößenang. auf $D > 1$ zu sein, die wir im Folgenden ausführlich untersuchen werden.

2.3 Linienintegral

Das Integral $\int_{x_1}^{x_2} dx F(x)$ gibt z.B. die durch $F(x)$ beschriebene Wirkung eines geraden

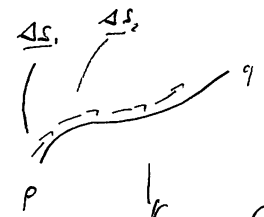
Weges vermittelte Wert an

$$\int_{x_a}^{x_b} dx F(x) = \lim_{\substack{N \rightarrow \infty \\ x_{i+1} - x_i \rightarrow 0}} \sum_{i=0}^{N-1} \underbrace{(x_{i+1} - x_i)}_{\Delta x_i} F(x_i)$$

"Riemann - Integral"

Integrale entlang Kurven: herausfisch

$$\int_C ds F(s) = \lim_{N \rightarrow \infty} \sum_{i=1}^N \|s_{i+1} - s_i\| F(s_i)$$



betrachten wir ein Teilstück $\Delta s = \|\Delta s\|$

$$\| \Delta s \| = \sqrt{\Delta x^2 + \Delta y^2 + \Delta z^2 + \dots}$$

Wenn sich die Kurve C durch $\begin{pmatrix} x(t) \\ y(t) \\ z(t) \end{pmatrix}$ beschreiben lässt $t=0, t=\epsilon, t=2\epsilon, \dots$, $t=1$

erhalten wir $\| \Delta s \| = \Delta t \sqrt{\left(\frac{\Delta x}{\Delta t}\right)^2 + \left(\frac{\Delta y}{\Delta t}\right)^2 + \left(\frac{\Delta z}{\Delta t}\right)^2 + \dots}$

und

$$\int_C ds F(s) = \lim_{N \rightarrow \infty} \sum_{i=0}^{N-1} \underbrace{(t_{i+1} - t_i)}_{\Delta t} \underbrace{\sqrt{\left(\frac{\Delta x}{\Delta t}\right)^2 + \left(\frac{\Delta y}{\Delta t}\right)^2 + \dots}}_{\text{Integral eines Integrals über } t} F(s_i(t))$$

Integral eines Integrals über t

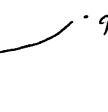
Parameterisierung von Kurven

Eine Parameterisierung γ einer Kurve C (als Parameterlage) ist eine differenzierbare Abbildung

$$\gamma: [0, 1] \rightarrow X$$

mit $\gamma([0, 1]) = C$, $\gamma(0) = p$, $\gamma(1) = q$ und $\gamma'(t) = \frac{d\gamma}{dt} \neq 0 \quad \forall t \in [0, 1]$

Darstellung von $\gamma(t)$ $\gamma(t) = \begin{pmatrix} x(t) \\ y(t) \\ \vdots \end{pmatrix}$



$$\int_C$$

Line, surface etc. integrals can also be defined via Gram's determinant of the metric tensor (Jägels vol 2)

$$\int d^4F \dots = \int d\lambda d\mu \sqrt{Vol_{\mathcal{M}}} \dots$$

with $g_{ij} = \frac{\partial x}{\partial u_i} \cdot \frac{\partial x}{\partial u_j}$

1. Line integral $\det g = \left(\frac{\partial x}{\partial \tau} \right)^2$

2. Surface integral $(x_1 x_2) \cdot (x_3 x_4) = \det \begin{pmatrix} x_1 & x_2 \\ x_3 & x_4 \end{pmatrix}$

gives $\sqrt{Vol_{\mathcal{M}}} = \sqrt{\left| \frac{\partial x}{\partial u_1} \cdot \frac{\partial x}{\partial u_2} \right|}$

3. Volume: $\int d\lambda d\mu$

Definition als Länge im Intervall

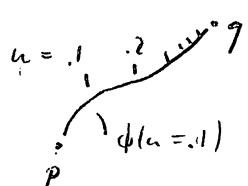
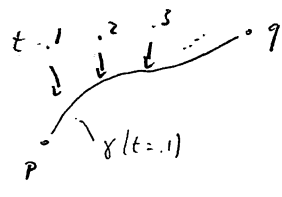
Gegeben eine Parameterisierung γ so kurve C ist das Wegintegral

$\int_C ds F(\gamma)$ eines skalaren Feldes $F(\gamma)$ gegeben durch

$$\int_C ds F(\gamma) = \int_0^1 dt \| \frac{d\gamma(t)}{dt} \| F(\gamma(t))$$

Diese Definition darf natürlich nicht von der Wahl der Parameterisierung abhängen (bis auf ein Vorzeichen): Wir zeigen, dass das Wegintegral tatsächlich unabhängig von der Wahl der Parameterisierung ist.

Betrachten wir eine zweite Parameterisierung von C ; $\phi(u)$ mit $\phi([0,1]) = C$



Dann existiert eine differenzierbare Funktion $t = f(u)$, die jedem u ein t zuordnet mit $\phi(u) = \gamma(f(u))$

(Übersetzung von einer Parameterisierung in die andere)

$$\int_0^1 du \left\| \frac{d\phi}{du} \right\| F(\phi(u)) = \int_0^1 du \left\| \frac{dt}{du} \right\| \frac{dt}{du} F(\gamma(f(u))) = \int_0^1 dt \left\| \frac{dt}{du} \right\| F(\gamma(f(t)))$$

Kettenregel $\frac{d\phi}{du} = \frac{d}{du} \gamma(f(u)) = \frac{d\gamma(t)}{dt} \frac{dt}{du}$

Substitution

Beispiel: Kurve in 2D

$$\gamma(t) = p + R \cos(2\pi t) e_1 + R \sin(2\pi t) e_2$$

$$\gamma(t) = R \begin{pmatrix} \cos 2\pi t \\ \sin 2\pi t \end{pmatrix}$$

$$\begin{aligned} \int_C ds &= \int_0^1 dt \parallel \frac{d\gamma}{dt} \parallel \\ &= \int_0^1 dt 2\pi R = 2\pi R \end{aligned}$$

$$\begin{aligned} \frac{d\gamma}{dt} &= 2\pi R \begin{pmatrix} -\sin 2\pi t \\ \cos 2\pi t \end{pmatrix} \\ \parallel \frac{d\gamma}{dt} \parallel &= 2\pi R \sqrt{\sin^2 2\pi t + \cos^2 2\pi t} \\ &= 2\pi R \end{aligned}$$

Analog lässt sich Linienintegrale von Vektorfeldern definieren

$$\int_C d\zeta \cdot \underline{F}(\zeta) = \int_0^1 dt \frac{d\zeta}{dt} \cdot \underline{F}(\gamma(t))$$

$$\int_C d\zeta \times \underline{F}(\zeta) = \int_0^1 dt \frac{d\zeta}{dt} \times \underline{F}(\gamma(t))$$

Wegintegrale von Gradientenfeldern

Sei $\underline{F}(x)$ ein Gradientenfeld, d.h. $\exists f(x) : F(x) = \nabla f(x)$

$$\begin{aligned} \int_C d\zeta \cdot \underline{F}(\zeta) &= \int_0^1 dt \frac{d\zeta}{dt} \cdot \underline{F}(\gamma(t)) \\ &= \int_0^1 dt \frac{d}{dt} \left(f(\zeta(t)) \right) \\ &= f(\zeta(1)) - f(\zeta(0)) \end{aligned}$$

$$\begin{aligned} &\Rightarrow \frac{d}{dt} f(\zeta(t)) = \nabla f(\zeta(t)) \cdot \frac{d\zeta}{dt} \\ &= \underline{F}(\zeta(t)) \cdot \frac{d\zeta}{dt} \end{aligned}$$

unabhängig von Pfad C :



haben alle dasselbe Wertigkeits!

[konkav: ist das Wertigkeitsmaß unabhängig von ω_f ist \underline{F} ein Gradientenfeld $\Rightarrow \text{Ü}$]

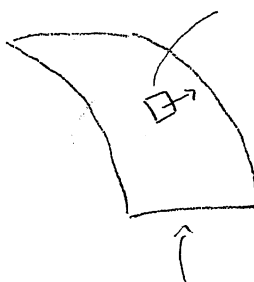
5.4 Das Oberflächenintegral

Das Wegintegral definierte das Integral eines Vektor- oder Skalarfeldes entlang einer Linie γ . Oberflächenintegrale erlauben Vektor- und Skalarfelder auf Flächen zu integrieren.

- \int - Ladungsdichte auf der Oberfläche eines metallischen Körpers
- Gesamtladung \rightarrow Fläche integral der Ladungsdichte
- Oberfläche eines Körpers \rightarrow Fläche integral von Γ



Wie beim Wegintegral gibt es einen Zugang über Formen, und dann per enclidischen Isomorphismus eine Interpretation mit "infinitesimalen Flächenelementen". Wir wollen also mit dem formalen Zugang verzielen.



"infinitesimales Flächenelement"

$d\bar{S}$ betrachten wir als Vektor dessen Länge gleich der Fläche des Flächenelements ist, und der senkrecht zur Oberfläche steht.

Oberfläche S

Addition der Flächenelemente im Grenzfall, dass \square unendlich klein wird, führt auf

$$\int_S d\bar{S} \cdot \underline{F}(\underline{x})$$

Oberflächenintegral eines Vektorfeldes

$$\int_S d\bar{S} \phi(\underline{x})$$

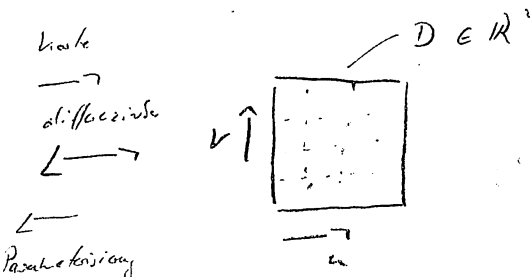
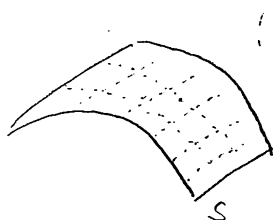
\rightarrow ein skalares Feld

Zur Definition eines Ausdrucks benötigt wir eine Parameterisierung der Oberfläche, über die wir integrieren.
(Vgl. Wegeknoten)

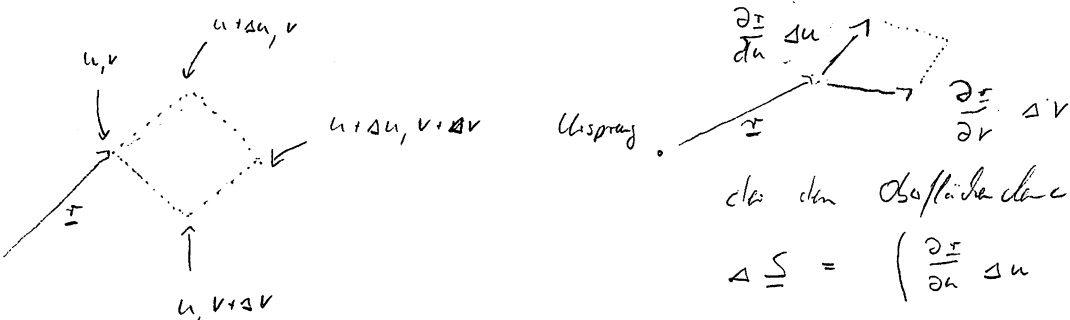
Eine Parameterisierung einer Oberfläche X (als Parameter) ist eine ein-eindimensionale (injektive) Abbildung γ von $D \subset \mathbb{R}^2$ auf X , die stetig differenzierbar ist und deren inverses ebenso stetig injektiv ist, so dass $\gamma(D) = X$.

Diffeomorphismus

analog auch für
Flächen, Volumen ..



Heuristisch: Betrachten wir statt eines infinitesimalen Flächenelements ein "sehr kleines" Element der Oberfläche



da der Oberflächenelement zugehörige Vektor ist

$$\Delta \underline{s} = \left(\frac{\partial \underline{s}}{\partial u} du + \frac{\partial \underline{s}}{\partial v} dv \right)$$

$$= \left(\frac{\partial \underline{s}}{\partial u} \times \frac{\partial \underline{s}}{\partial v} \right) du dv$$

Mit dieser Parameterisierung als Flächenelast definiert wir die Oberflächenintegrale

$$\int_S d\underline{s} \cdot \underline{F}(\underline{s}) = \int_D du dv \left(\frac{\partial \underline{s}}{\partial u} + \frac{\partial \underline{s}}{\partial v} \right) \cdot \underline{F}(\underline{s}(u, v))$$

$$\int_S ds \phi(\underline{s}) = \int_D du dv \left| \frac{\partial \underline{s}}{\partial u} \times \frac{\partial \underline{s}}{\partial v} \right| \phi(\underline{s}(u, v))$$

$$\left(\text{vgl. Linienintegral} \quad \int dt \frac{dx}{dt} \cdot \underline{F}(x) \right)$$

Beispiel : Das Quadrat $0 \leq x \leq 1$ $0 \leq y \leq 1$ definiere die Oberfläche S

$$z = 0 \quad \text{mit } \hat{x}, \hat{y}$$

Bei diesem Beispiel können wir natürlich die Antworten. Trotzdem ist es hilfreich die Definitionen zunächst an einem sehr einfachen Beispiel anzuprobieren.

$$\int_S dS = \int_S 1 \quad \text{ist der Flächeninhalt des Quadrats}$$

$$\int_S dS \cdot \begin{pmatrix} 0 \\ 0 \\ 1 \end{pmatrix} \quad \text{ist der konstante Vektor } \hat{z} \text{ integriert über } S$$

Als Parameterisierung bietet sich an

$$\begin{aligned} x &= u \\ y &= v \\ z &= 0 \end{aligned}, \quad \underline{r} = \begin{pmatrix} x \\ y \\ z \end{pmatrix} = \begin{pmatrix} u \\ v \\ 0 \end{pmatrix}$$

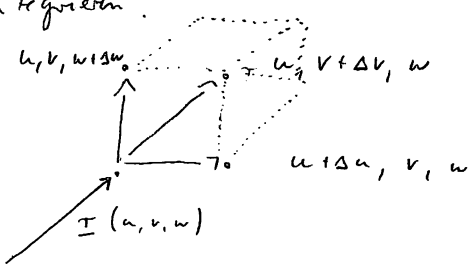
$$\int_S dS = \int_0^1 \int_0^1 dudv \left\| \left(\frac{\partial \underline{r}}{\partial u} \times \frac{\partial \underline{r}}{\partial v} \right) \right\| = \int_0^1 \int_0^1 dudv = 1$$

$$\frac{\partial \underline{r}}{\partial u} \times \frac{\partial \underline{r}}{\partial v} = \begin{pmatrix} 1 \\ 0 \\ 0 \end{pmatrix} \times \begin{pmatrix} 0 \\ 1 \\ 0 \end{pmatrix} = \begin{pmatrix} 0 \\ 0 \\ 1 \end{pmatrix}$$

$$\int_S dS \cdot \begin{pmatrix} 0 \\ 0 \\ 1 \end{pmatrix} = \int_0^1 \int_0^1 dudv \begin{pmatrix} 0 \\ 0 \\ 1 \end{pmatrix} \cdot \begin{pmatrix} 0 \\ 0 \\ 1 \end{pmatrix} = 1$$

5.5 Das Volumenintegral

Das Volumenintegral erlaubt Vektor- und Skalarfelder auf Volumina zu integrieren.



ΔV gibt das Volumen eines kleinen Volumenelements an

$$\int_V dV \phi(z) = \int_{\text{Flächenanteil}} du dv dw \left| \frac{\partial z}{\partial w} \cdot \left(\frac{\partial z}{\partial v} \times \frac{\partial z}{\partial u} \right) \right| \phi(z(u, v, w))$$

Flächenanteil

$$\int_V dV \phi(z) = \int_{\text{Volumenanteil}}$$

definiert das Volumenintegral einer skalaren Felder $\phi(z)$. Das Volumenintegral eines Vektorfeldes $\int_V dV \vec{F}(z)$ ist analog definiert. Beide Definitionen sind unabhängig von der Parameterisierung. (Sollte beweisen.)

Beispiel: Kugelvolumen $x^2 + y^2 + z^2 \leq R^2$

$$V = \int_V dV = \int_0^R dr \int_0^\pi d\theta \int_0^{2\pi} d\phi \left| \frac{\partial z}{\partial r} \cdot \left(\frac{\partial z}{\partial \theta} \times \frac{\partial z}{\partial \phi} \right) \right|$$

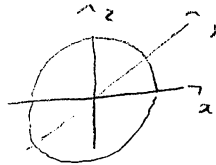
$$z = \begin{pmatrix} r \sin \theta \cos \phi \\ r \sin \theta \sin \phi \\ r \cos \theta \end{pmatrix} \Rightarrow \frac{\partial z}{\partial r} = \begin{pmatrix} \sin \theta \cos \phi \\ \sin \theta \sin \phi \\ \cos \theta \end{pmatrix}$$

$$\Rightarrow \frac{\partial z}{\partial r} \cdot \left(\frac{\partial z}{\partial \theta} \times \frac{\partial z}{\partial \phi} \right) = \begin{pmatrix} \sin \theta \cos \phi \\ \sin \theta \sin \phi \\ \cos \theta \end{pmatrix} \cdot \begin{pmatrix} \sin \theta \cos \phi \\ \sin \theta \sin \phi \\ \cos \theta \end{pmatrix} r^2 \sin \theta$$

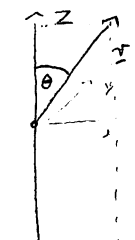
$$= \int_0^R dr \int_0^\pi d\theta \int_0^{2\pi} d\phi r^2 \sin \theta = \left(\int_0^R dr r^2 \right) \left(\int_0^\pi d\theta \sin \theta \right) \left(\int_0^{2\pi} d\phi \right)$$

$$= \frac{1}{3} R^3 \times 2 \times 2\pi = \frac{4\pi}{3} R^3$$

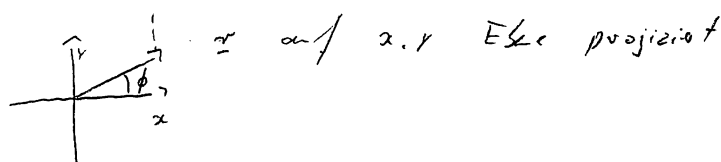
Beispiel: Kugeloberfläche $x^2 + y^2 + z^2 = R^2$



Eine geeignete (und häufig genutzte) Parameterisierung der Kugeloberfläche sind die Winkel θ und ϕ



$$0 \leq \theta \leq \pi$$



$$x = R \sin \theta \cos \phi$$

$$\text{oder } \underline{x} = \begin{pmatrix} R \sin \theta \cos \phi \\ R \sin \theta \sin \phi \\ R \cos \theta \end{pmatrix}$$

$$y = R \sin \theta \sin \phi$$

$$z = R \cos \theta$$

R, θ, ϕ werden als Kugelkoordinaten eines Punkts $\begin{pmatrix} x \\ y \\ z \end{pmatrix}$ bezeichnet, θ wird Polwinkel, ϕ als Azimutwinkel genannt.

Wir betrachten als Beispiel die Oberfläche einer Kugel.

$$S = \int_S dS = \int_0^\pi d\theta \int_0^{2\pi} d\phi \left\| \left(\frac{\partial \underline{x}}{\partial \theta} \times \frac{\partial \underline{x}}{\partial \phi} \right) \right\|$$

$$\frac{\partial \underline{x}}{\partial \theta} \times \frac{\partial \underline{x}}{\partial \phi} = \begin{pmatrix} R \cos \theta \cos \phi \\ R \cos \theta \sin \phi \\ -R \sin \theta \end{pmatrix} \times \begin{pmatrix} -R \sin \theta \sin \phi \\ +R \sin \theta \cos \phi \\ 0 \end{pmatrix} = \begin{pmatrix} +R^2 \sin^2 \theta \cos \phi \\ R^2 \sin^2 \theta \sin \phi \\ +R^2 (\cos \theta \sin \theta \cos^2 \phi + \cos \theta \sin \theta \sin^2 \phi) \end{pmatrix}$$

$$= R^2 \begin{pmatrix} \sin^2 \theta \cos \phi \\ \sin^2 \theta \sin \phi \\ +\cos \theta \sin \theta \end{pmatrix} = R^2 \sin \theta \begin{pmatrix} \sin \theta \cos \phi \\ \sin \theta \sin \phi \\ +\cos \theta \end{pmatrix}$$

$$\left\| \frac{\partial \underline{x}}{\partial \theta} \times \frac{\partial \underline{x}}{\partial \phi} \right\| = R^2 |\sin \theta| = R^2 \sin \theta \quad 0 \leq \theta \leq \pi$$

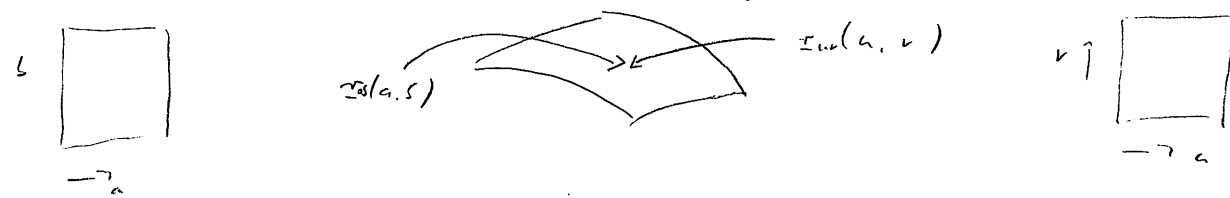
$$S = \int_0^\pi d\theta \int_0^{2\pi} d\phi R^2 \sin \theta = 2\pi R^2 \int_0^\pi d\theta \sin \theta = 2\pi R^2 \left[-\cos \theta \right]_0^\pi = 4\pi R^2$$

Geometrische Interpretation: Ein Ring mit Radius $R \sin \theta$, Tiefe $(2\pi \sin \theta R)$ ($R d\theta$)

$$\Rightarrow \text{Fläche} \approx 2\pi R^2 \sin \theta d\theta$$

Es bleibt noch zu zeigen, dass diese Definitionen unabhängig von ob gewählte Parametrisierung der Oberfläche sind:

Wir betrachten eine zweite Parametrisierung a, b



Wegen $u = u(a,s)$ und $v = v(a,s)$ gilt für $\tau_{as}(a,s) = \tau_{uv}(u(a,s), v(a,s))$ und die Beziehung

$$\begin{matrix} \text{Left} \\ \text{Right} \end{matrix} \quad \text{stellt} \quad \begin{matrix} \text{Left} \\ \text{Right} \end{matrix}$$

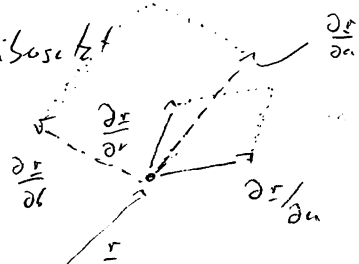
Mit $u = u(a,s)$ und $v = v(a,s)$ folgt aus $\tau_{as}(a,s) = \tau_{uv}(u(a,s), v(a,s))$ und die Beziehung

$$\frac{\partial \tau_{as}}{\partial a} = \frac{\partial \tau_{uv}}{\partial u} \frac{\partial u}{\partial a} + \frac{\partial \tau_{uv}}{\partial v} \frac{\partial v}{\partial a}$$

$$\frac{\partial \tau_{as}}{\partial s} = \frac{\partial \tau_{uv}}{\partial u} \frac{\partial u}{\partial s} + \frac{\partial \tau_{uv}}{\partial v} \frac{\partial v}{\partial s}$$

$$\text{oder } \begin{pmatrix} \frac{\partial \tau}{\partial a} \\ \frac{\partial \tau}{\partial s} \end{pmatrix} = \begin{pmatrix} \frac{\partial \tau_{uv}}{\partial u} & \frac{\partial \tau_{uv}}{\partial a} \\ \frac{\partial \tau_{uv}}{\partial v} & \frac{\partial \tau_{uv}}{\partial s} \end{pmatrix} \begin{pmatrix} \frac{\partial u}{\partial a} \\ \frac{\partial v}{\partial a} \end{pmatrix} = J \cdot \begin{pmatrix} \frac{\partial \tau}{\partial u} \\ \frac{\partial \tau}{\partial v} \end{pmatrix}$$

J beschreibt die lineare Abbildung, die lokal von der Parametrisierung (u,v) in (a,s) übergeht



J wird als Jacobi-Matrix oder Transformation von (u,v) nach (a,s) bezeichnet, die Änderung des Flächeninhalts ist (lokal)

$$\left\| \frac{\partial \tau}{\partial a} \times \frac{\partial \tau}{\partial s} \right\| = |\det(J)| \left\| \frac{\partial \tau}{\partial u} \times \frac{\partial \tau}{\partial v} \right\|$$

Da $\frac{\partial \tau}{\partial a} \times \frac{\partial \tau}{\partial s}$ und $\frac{\partial \tau}{\partial u} \times \frac{\partial \tau}{\partial v}$ beide senkrecht auf der Oberfläche stehen und parallel sind

$$\Rightarrow \left(\frac{\partial \xi}{\partial a} + \frac{\partial \xi}{\partial s} \right) = \left| \det J \right| \left(\frac{\partial \xi}{\partial u} + \frac{\partial \xi}{\partial v} \right)$$

$$\Rightarrow \int_{D_{as}} da ds \left(\frac{\partial \tau_{as}}{\partial a} + \frac{\partial \tau_{as}}{\partial s} \right) \cdot F(\tau_{as}(a, s))$$

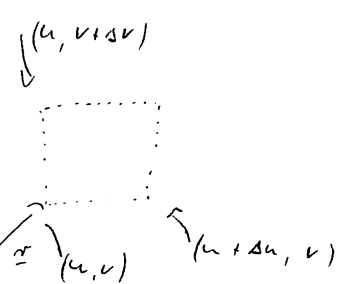
$$= \int_{D_{as}} da ds \left| \det J \right| \left(\frac{\partial \tau_{uv}}{\partial u} + \frac{\partial \tau_{uv}}{\partial v} \right) \cdot F(\tau_{uv}(u, v))$$

Als letzter Schritt müssen wir jetzt noch die Integrationsvariable von (a, s) nach (u, v) ändern; lokal gilt

$$\begin{pmatrix} \Delta u \\ \Delta v \end{pmatrix} = \begin{pmatrix} \frac{\partial u}{\partial a} & \frac{\partial u}{\partial s} \\ \frac{\partial v}{\partial a} & \frac{\partial v}{\partial s} \end{pmatrix} \begin{pmatrix} \Delta a \\ \Delta s \end{pmatrix}$$

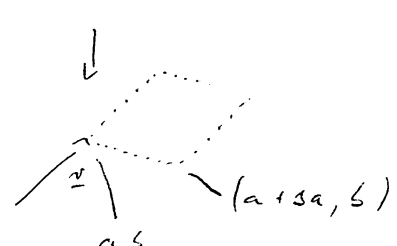
$$= J^T \begin{pmatrix} \Delta a \\ \Delta s \end{pmatrix}$$

$$\left| \det J \right| = \left| \det J \right|^T$$



$$\text{und } \int_{D_{as}} da ds (\circ) = \int_{D_{uv}} da ds \left| \det J \right|^T (.)$$

$$= \int_{D_{uv}} da ds \left(\frac{\partial \tau_{uv}}{\partial u} + \frac{\partial \tau_{uv}}{\partial v} \right) \cdot F(\tau_{uv}(u, v))$$



Die Definition des Oberflächenintegrals ist also unabhängig von der Wahl der Parameterisierung.

1

Notiz: Vergleicht mit Integriert eine Variable und ob sie sich hier $x' = -x$

$$\text{e.g. i) } \int_0^1 dx = \int_0^1 dx' (-1) = \int_{-1}^0 dx'$$

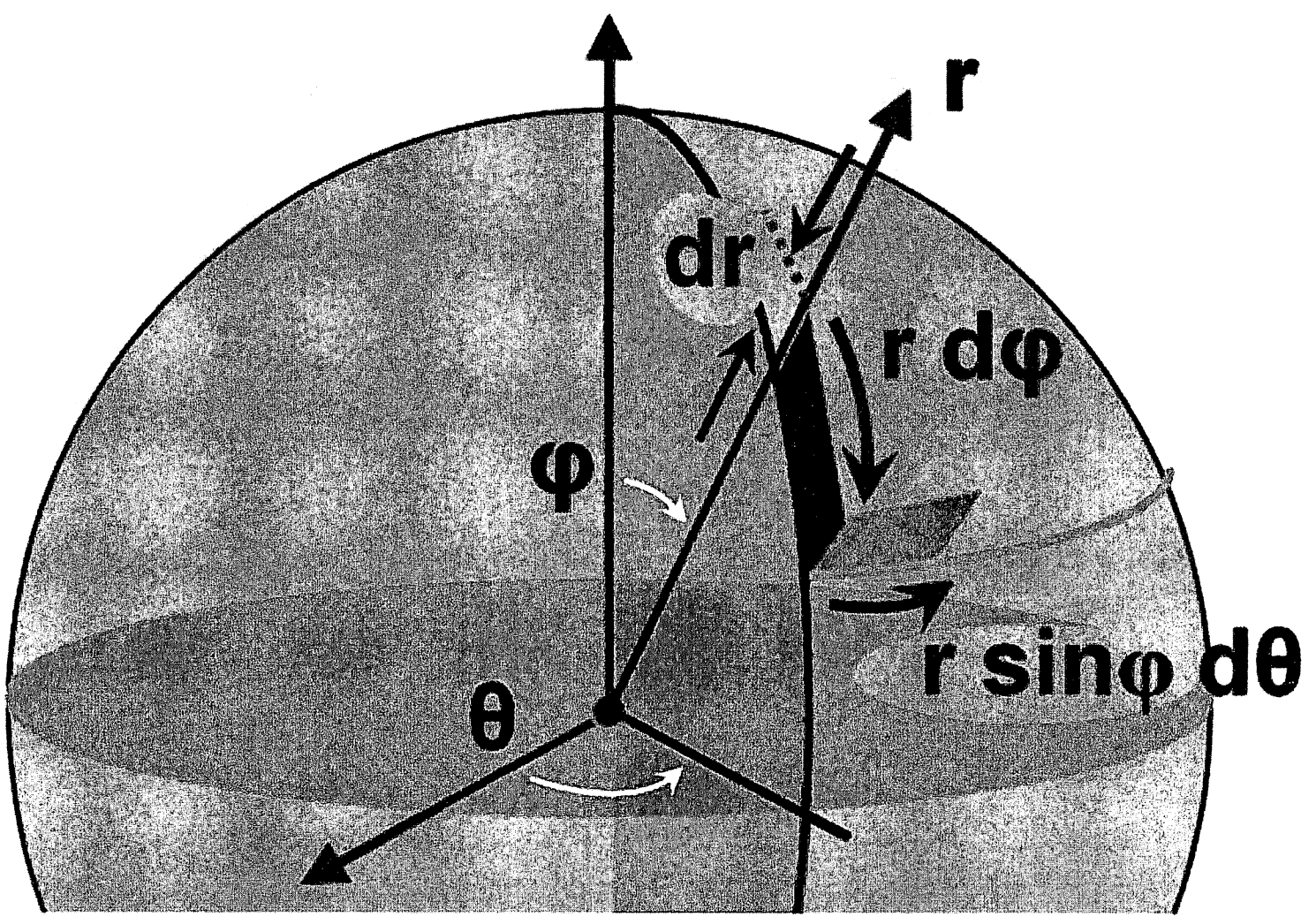
$$\text{ii) } \int_D dx = \int_{D'} dx' | -1 |$$

$$\text{mit } D : 0 < x < 1$$

$$D' : -1 < x' < 0$$

J. koeff. aufsteigt zu horizont

$\Rightarrow | -1 |$ als Jacobideterminant
wird je nach Werteset ab 5.14



5.6 Kurvenlinige Koordinaten

Prinzipiell lässt sich jedes (klassische) Problem in kartesischen Koordinaten behandeln, oft sind "problemangepasste" Koordinaten "Kurvenlinige" Koordinaten sinnvoll.

Γ (= Abstand auf Kugeloberfläche)

- Parameterisierung des Kugelvolumens durch Kugelkoordinaten

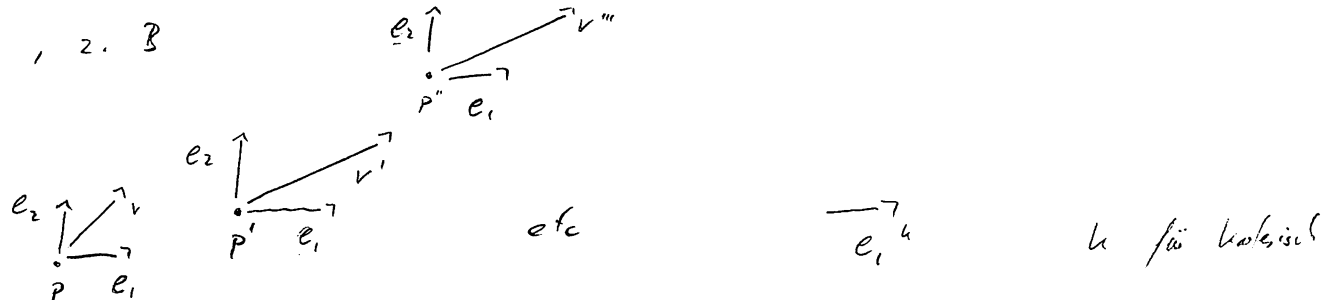
- allgemeine Relativitätstheorie: Energie-Masse bringt die 4 Raumzeit-

5.6.1 Vektorbasiert in Kurvenlinigen Koordinaten

Wir betrachten ein Vektorfeld v auf einem affinen Raum M . Jeder Punkt $p \in M$ ist ein Vektor $v \in V$ zugeordnet.

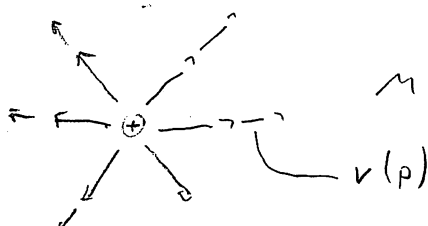
Als Basis also Vektoren kann man an jeder Stelle dieselbe Basis nutzen, z. B.

2D

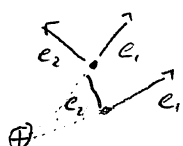


(kartesische Basis in 2D)

In diesem Beispiel erhalten



mehrere sinnvolle unterschiedlich orientierte Basisvektoren zuwenden



$e_1^R(p)$ zeigt also in ω in Richtung des Feldes und hängt von p ab

Wie hängt die Basisvektoren mit den Koordinaten zusammen?

Betrachten wir Koordinaten u, v, w , die den 3D Raum parametrisieren.

Die 3 Vektoren $\frac{\partial \vec{r}}{\partial u}$, $\frac{\partial \vec{r}}{\partial v}$, $\frac{\partial \vec{r}}{\partial w}$ sind i.A. nicht normiert.

Die normierten Vektoren

$$\underline{e}_1 = \frac{\partial \vec{r}/\partial u}{\|\partial \vec{r}/\partial u\|}$$

$$\underline{e}_2 = \frac{\partial \vec{r}/\partial v}{\|\partial \vec{r}/\partial v\|}$$

$$\underline{e}_3 = \frac{\partial \vec{r}/\partial w}{\|\partial \vec{r}/\partial w\|}$$

sind Einheitsvektoren, die in Richtung der Koordinatenachsen liegen, d.h. entlang der Achsen mit 2 oder 3 Koordinaten kostet.

e.g. kartesische Koordinaten $u = x$, $v = y$, $w = z$

$$\underline{e}_1 \xrightarrow{\text{---}} \underline{e}_2 \xrightarrow{\text{---}} \underline{e}_3$$

$$\vec{r} = \begin{pmatrix} x \\ y \\ z \end{pmatrix}$$

$$\underline{e}_1 = \begin{pmatrix} 1 \\ 0 \\ 0 \end{pmatrix} \quad \underline{e}_2 = \begin{pmatrix} 0 \\ 1 \\ 0 \end{pmatrix} \quad \underline{e}_3 = \begin{pmatrix} 0 \\ 0 \\ 1 \end{pmatrix}$$

an jedem 0° gleiche Basis

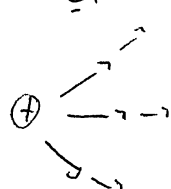
e.g. Z. Kugelkoordinaten $\vec{r} = \begin{pmatrix} r \sin \theta \cos \phi \\ r \sin \theta \sin \phi \\ r \cos \theta \end{pmatrix}$

$$\underline{e}_1^R = \begin{pmatrix} \sin \theta \cos \phi \\ \sin \theta \sin \phi \\ \cos \theta \end{pmatrix} \quad \text{etc.}$$

$\Rightarrow \underline{e}_1^R$ ist parallel zu \underline{e}_1

\Rightarrow Ein radialsymm. Vektorfeld hat in der Kugelkoordinatensatz nur eine Komponente entlang

$$\underline{e}_1$$



$$v(p) = f(r) \underline{e}_1^R$$

Jeder Vektor $v \in V$ am Punkt $p \in M$ kann jetzt durch die lokale Basis dargestellt werden

$$v^k(p) = \begin{pmatrix} f^{(k)} \\ 0 \\ 0 \end{pmatrix} \quad \text{in kugelkoordinaten + Basis}$$

$$v^k(p) = f\left(\sqrt{x^2 + y^2 + z^2}\right) \begin{pmatrix} x \\ y \\ z \end{pmatrix} \cdot \frac{1}{\sqrt{x^2 + y^2 + z^2}} \quad \text{in kartesischen Koordinaten + Basis}$$

Fast alle Koordinatensysteme, die in der Praxis genutzt werden sind orthogonal, also $\langle e_i, e_j \rangle = \delta_{ij}$

5.6.2 Das Abstandswert in krummlinigen Koordinaten

In kugelischen Koordinaten ist der Abstand zwischen zwei Punkten mit den Koordinaten (x_1, y_1, z_1) und $(x_2 + \Delta x, y_2 + \Delta y, z_2 + \Delta z)$

$$\sqrt{\Delta x^2 + \Delta y^2 + \Delta z^2} = \Delta s$$

$$\text{oder } \Delta s^2 = (\Delta x \ \Delta y \ \Delta z) \begin{pmatrix} \Delta x \\ \Delta y \\ \Delta z \end{pmatrix} = (\Delta x \ \Delta y \ \Delta z) \begin{pmatrix} 1 & 0 & 0 \\ 0 & 1 & 0 \\ 0 & 0 & 1 \end{pmatrix} \begin{pmatrix} \Delta x \\ \Delta y \\ \Delta z \end{pmatrix}$$

In krummlinigen Koordinaten kann die Beziehung nicht so einfach sein. Erhöht man z.B. den Azimutwinkel ϕ um ω weiter, kommt man nach einer halben Umdrehung wieder zum Ausgangspunkt. \Rightarrow erhöht man um ω weiter, nimmt die Entfernung statt zu.

Mit $x(u, v, w)$, $y(u, v, w)$, $z(u, v, w)$ können wir jedoch Δx , Δy , Δz durch Δu , Δv , Δw anschreiben

Für kleine Δu , Δv , Δw (lineare Näherung) gilt

$$\begin{pmatrix} \Delta x \\ \Delta y \\ \Delta z \end{pmatrix} = \begin{pmatrix} \frac{\partial x}{\partial u} & \frac{\partial x}{\partial v} & \frac{\partial x}{\partial w} \\ \frac{\partial y}{\partial u} & \frac{\partial y}{\partial v} & \frac{\partial y}{\partial w} \\ \frac{\partial z}{\partial u} & \frac{\partial z}{\partial v} & \frac{\partial z}{\partial w} \end{pmatrix} \begin{pmatrix} \Delta u \\ \Delta v \\ \Delta w \end{pmatrix}$$

$$= \mathbf{J}^T \cdot \begin{pmatrix} \Delta u \\ \Delta v \\ \Delta w \end{pmatrix}$$

$$\Rightarrow \Delta s^2 = (\Delta x \quad \Delta y \quad \Delta z) \begin{pmatrix} \Delta x \\ \Delta y \\ \Delta z \end{pmatrix} = (s_u \quad s_v \quad s_w) \cdot \mathbf{J} \cdot \mathbf{J}^T \cdot \begin{pmatrix} \Delta u \\ \Delta v \\ \Delta w \end{pmatrix}$$

$$= (s_u \quad s_v \quad s_w) \cdot \mathbf{g} \begin{pmatrix} \Delta u \\ \Delta v \\ \Delta w \end{pmatrix}$$

\mathbf{g} wird als euklidischer Tensor bezeichnet. ($g_{ij} := \frac{\partial x}{\partial u_i} \cdot \frac{\partial x}{\partial u_j}$)

Beispiel in 2D: Polarkoordinaten

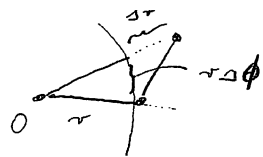
$$\begin{pmatrix} \Delta x \\ \Delta y \end{pmatrix} = \begin{pmatrix} \frac{\partial x}{\partial r} & \frac{\partial x}{\partial \phi} \\ \frac{\partial y}{\partial r} & \frac{\partial y}{\partial \phi} \end{pmatrix} \begin{pmatrix} \Delta r \\ \Delta \phi \end{pmatrix} \quad \begin{aligned} x &= r \cos \phi \\ y &= r \sin \phi \end{aligned}$$

$$= \begin{pmatrix} \cos \phi & -r \sin \phi \\ \sin \phi & r \cos \phi \end{pmatrix} \begin{pmatrix} \Delta r \\ \Delta \phi \end{pmatrix}$$

$$\mathbf{J}^T$$

$$\mathbf{g} = \mathbf{J} \cdot \mathbf{J}^T = \begin{pmatrix} \cos \phi & \sin \phi \\ -r \sin \phi & r \cos \phi \end{pmatrix} \begin{pmatrix} \cos \phi & -r \sin \phi \\ \sin \phi & r \cos \phi \end{pmatrix} = \begin{pmatrix} 1 & 0 \\ 0 & r^2 \end{pmatrix}$$

$$\Rightarrow ss^2 = \Delta r^2 + r^2 \Delta \phi^2$$



$$ds^2 = dt \left(\frac{dr}{dt} \frac{dr}{dt} + \frac{d\phi}{dt} \frac{d\phi}{dt} \right) \cdot \mathbf{g} \begin{pmatrix} \frac{dr}{dt} \\ \frac{d\phi}{dt} \end{pmatrix}$$

5. II Integraltheorie

Das Fundamentalsatz der Analysis

$$\int_a^b \left(\frac{d}{dx} f(x) \right) dx = f(b) - f(a)$$

vergleicht die Werte von $f(x)$ an den Extrema des Intervalls $[a, b]$ mit dem Integral der Ableitung von $f(x)$.

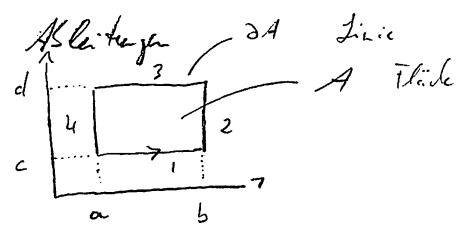
In höherer Dimension als ein existierendes Voraussetzung dieses Theorems, die Integral über eine Oberfläche oder ein Volumen von einer Ableitung mit einem Integral über den Rand (Linie, Fläche) vergleichen. Was also "im Innern" (Volumen) geschieht ist bereits durch "der Rand" festgelegt.

$\nabla \cdot \underline{E}(r) = g(r)$ in der Elektrodynamik wurde diese Theorie genutzt.

$\nabla \cdot \underline{E}(r) = g(r)$ ist eine der Maxwell-Gleichungen und vergleicht die Divergenz des elektrischen Feldes $\underline{E}(r)$ mit der Ladungsdichte $g(r)$ an der selben Stelle. Ein Integral kann anstatt das Integral von $\underline{E}(r)$ über eine geschlossene Oberfläche mit dem Integral der Ladungsdichte $g(r)$ über das eingeschlossene Volumen in Beziehung setzen (= eingeschlossene Ladung!).

5.11.1 Das Green'sche Theorem in zwei Dimensionen

Wir betrachten zwei Funktionen $P(x, y)$ und $Q(x, y)$ mit kontinuierlichen partiellen Ableitungen



$$\iint_A dx dy \frac{\partial Q}{\partial x} = \int_a^b dx \int_c^d dy \frac{\partial Q}{\partial x}$$

$$= \int_c^d dy \left[Q(b, y) - Q(a, y) \right]$$

$$\int d\vec{s} \cdot \vec{F}(z)$$

$$\text{in 2D: } \vec{F}(z) = \begin{pmatrix} F_x(x, y) \\ F_y(x, y) \end{pmatrix}$$

$$\int d\vec{s} \cdot \vec{E}(z) = \int_A dx dy \vec{E}(x, y)$$

$$\int_A dx F_x(x, y) = \int_a^b dt \frac{dx}{dt} F_x(t, y)$$

Vergleicht mit dem Wegintegral

$$\int_{\partial A} dy Q(x, y) = \int_{t=a}^{t=b} dt \underbrace{Q(x, y)}_{1-\text{Form}} \frac{dx}{dt} \frac{dy}{dt}$$

$$= \int_c^d dy \underbrace{Q(b, y)}_{\substack{\text{Teilstücke 2} \\ \text{bestimmt Integrale}}} + \int_d^a dy \underbrace{Q(a, y)}_{\text{Teilstücke 4}}$$

$$= \int_c^d dy \left[Q(b, y) - Q(a, y) \right] \quad (2)$$

$$\int_{t=a}^{t=b} dt \frac{dx}{dt} \frac{dy}{dt} = 1$$

$$dy \frac{dx}{dt} = 0$$

$$\Rightarrow \iint_A dx dy \frac{\partial Q}{\partial x} = \oint_{\partial A} dy Q(x, y) \quad (3) \quad \text{für das gewöhlte Rechtseck}$$

Analog lässt sich für $P(x, y)$ zeigen

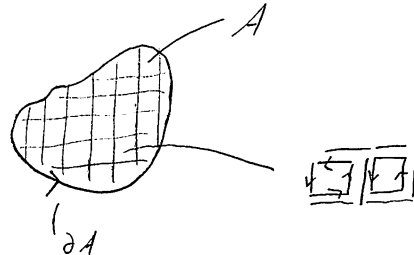
$$-\iint_A dx dy \frac{\partial P}{\partial y} = \oint_{\partial A} dx P(x, y) \quad (4)$$

und in Kombination von (3) und (4)

$$\iint_A dx dy \left(\frac{\partial Q}{\partial x} - \frac{\partial P}{\partial y} \right) = \oint_{\partial A} (dx P(x, y) + dy Q(x, y)) \quad (5)$$

(Linienintegral gegen die Uhrzeigerrichtung)

Wir haben (5) für ein Rechteck bewiesen. Betrachten wir eine Fläche A ob (x, y)-Ebene, die als Gesamtheit eine Menge von kleinen Rechtecken betrachtet werden kann:



Die Summe von (5) über alle Rechtecke ergibt für die Doppelintegrale (links)

$$\iint_A dx dy \left(\frac{\partial Q}{\partial x} - \frac{\partial P}{\partial y} \right),$$

für die Flächendifferenz lösen sich alle Beiträge von Innen von A gegenseitig aus



von Rand erhalten man

$$\oint_{\partial A} dx dy \left(\frac{\partial Q}{\partial x} + dy \frac{\partial Q}{\partial y} \right) = \iint_A dx dy \left(\frac{\partial Q}{\partial x} - \frac{\partial P}{\partial y} \right)$$

Cancs Thm

Beispiel: $Q(x, y) = x$, $P(x, y) = 0$

$$\iint_A dx dy \left(\frac{\partial Q}{\partial x} - \frac{\partial P}{\partial y} \right) = \iint_A dx dy \quad \text{Fläche } A$$

$$\oint_{\partial A} dx P(x, y) + dy Q(x, y) = \oint_{\partial A} dx x$$

\Rightarrow Flächendifferenz kann berechnet werden von einer Fläche zu bestimmten, z.B. $\frac{1}{4}$ -Teilern



1. ist Null, da I. Kegel $x = 0$

2. ist Null, da $dy \frac{\partial Q}{\partial y} = 0$ (Parallelerisierung durch θ)

$$3. \int_0^{\frac{\pi}{2}} d\theta \frac{dx(\theta)}{d\theta} x(\theta) = \int_0^{\frac{\pi}{2}} d\theta \cos^2 \theta = \left[\frac{1}{2} + \frac{1}{2} \sin \theta \cos \theta \right]_0^{\frac{\pi}{2}} = \frac{\pi}{4}$$

$$y(\theta) = \sin \theta \quad \frac{dy}{d\theta} = \cos \theta$$

$$x(\theta) = \cos \theta$$

✓

5.11.2 Der Gauß'sche Integralsatz

"divergenz theorem"

Vergleich das Volumenintegral der Divergenz eines Vektorfeldes mit seinem Oberflächenintegral

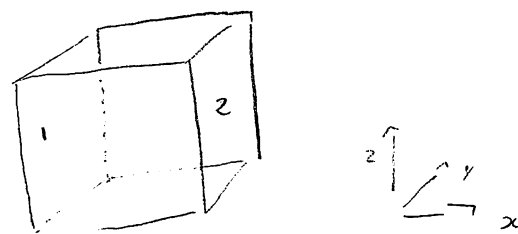
Wir betrachten ein Vektorfeld in 3D

$$\underline{V}(x) = \begin{pmatrix} V_x(x, y, z) \\ V_y(x, y, z) \\ V_z(x, y, z) \end{pmatrix}$$

$\nabla \cdot \underline{V}(x)$ könnte ein Strömungsfeld sein, $\nabla \cdot \underline{A} \Delta S$ gibt an wieviel Teilchen pro Zeiteinheit durch ein kleines Flächenstück ΔS strömen

Heuristisch:

Wir betrachten einen (kleinen) Quader mit Kantenlängen $\Delta x, \Delta y, \Delta z$



Der netto Fluss in x-Richtung (durch Fläche 2 minus durch Fläche 1) ist

$$(V_x|_2 - V_x|_1) \Delta y \Delta z \approx \frac{\partial V_x}{\partial x} \Delta x \Delta y \Delta z$$

In y-Richtung und z-Richtung erhält man

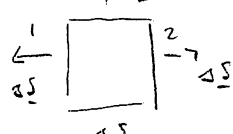
$$\frac{\partial V_y}{\partial y} \Delta x \Delta y \Delta z \quad \text{durch hintere und vorne Wand}$$

$$\frac{\partial V_z}{\partial z} \Delta x \Delta y \Delta z \quad \text{durch obere und untere Wand}$$

$$\Rightarrow \left(\frac{\partial V_x}{\partial x} + \frac{\partial V_y}{\partial y} + \frac{\partial V_z}{\partial z} \right) \Delta x \Delta y \Delta z = \nabla \cdot \underline{V} \Delta x \Delta y \Delta z$$

ist also netto Fluss aus dem Würfel heraus.

Dieser Fluss lässt sich auch als Flächenintegral über die Oberfläche des Quaders schreiben:



$$2. \Delta S \cdot \underline{V} \quad + \text{Fluss heraus}$$

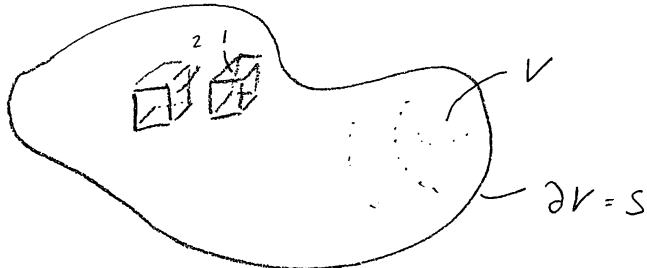
$$1. \Delta S \cdot \underline{V} \quad - \text{Fluss hinein}$$

$$\int d\Delta S \cdot \underline{V} = \{ \text{Netto Fluss ist aus Würfel heraus} = \nabla \cdot \underline{V} \Delta x \Delta y \Delta z \quad 5.29$$

$$\int dS \cdot v(r) = \nabla \cdot V \Delta x \Delta y \Delta z \quad (1)$$

S : Würfelfläche

$\rightarrow (V_n l_z - V_{\Delta l}) \Delta x \Delta y \Delta z$ ist belang zum Flächeninhalt von S und für ein Volumen, das sich in viele kleine Quadrate unterteilt



heben sich die Beiträge benachbarter Seiten zum Flächeninhalt auf. Die Summe von (1) über alle Quadrate ergibt

$$\int_{S=\partial V} dS \cdot v(r) = \int_V dV \nabla \cdot V \quad \text{Gauß'scher Integralsatz}$$

Anwendung: die Kontinuitätsgleichung

Betrachten wir den Fluss einer Flüssigkeit aus Teilchen, die entweder sind; also nicht an eine Stelle an/treffen ("Anfließ") oder verschwinden ("Sowieso")

Rate mit der die Zahl der Teilchen im Quader ansteigt = - Rate des Teilchenflusses aus dem Quader heraus

$$\frac{\partial s}{\partial t} \Delta x \Delta y \Delta z = - \nabla \cdot V \Delta x \Delta y \Delta z$$

pro Volumen

$s(x, t)$ ist die Teilendichte $\frac{s}{\Delta x \Delta y \Delta z}$ die Zahl der Teilchen in einem kleinen Quader.

$$\frac{\partial s}{\partial t} = - \nabla \cdot V \quad \text{Kontinuitätsgleichung}$$

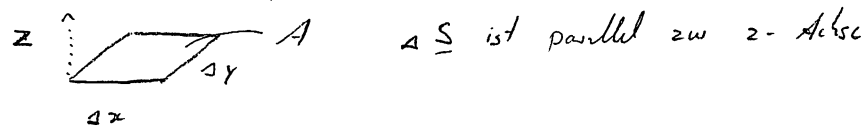
Berücksichtigen wir die Zahl der Teilchen in einem Volumen V mit $N(t)$ gilt

$$\frac{dN}{dt} = \int_V dV \frac{\partial s}{\partial t} = - \int_V dV \nabla \cdot V = - \int_{\partial V} dS \cdot V$$

5.11.3 Der Satz von Stokes (genau Stokes-Kelvin Theorem)

Verbindet das Flächenintegral einer Rotation eines Vektorfeldes mit seinem Linienintegral.

Wir beginnen mit einem rechteckigen Flächenstück, und legen die z-Achse orthogonal zu seiner Oberfläche.



Wir betrachten wieder ein Vektorfeld $\underline{V}(x, y)$ und nutzen das Greensche Theorem mit $Q(x, y) = V_y(x, y)$
 $P(x, y) = V_x(x, y)$

$$\iint_A \text{d}x \text{d}y \left(\frac{\partial Q}{\partial x} - \frac{\partial P}{\partial y} \right) = \iint_A \text{d}x \text{d}y \underbrace{\left(\frac{\partial V_y}{\partial x} - \frac{\partial V_x}{\partial y} \right)}_{\text{z-kompatibel von } \nabla \times \underline{V}} = \iint_A \text{d}S \cdot (\nabla \times \underline{V})$$

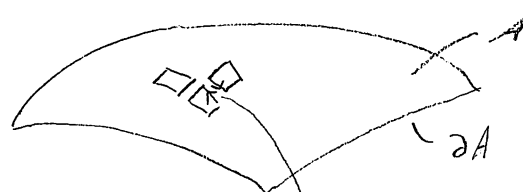
II Greensche Theoreme

II (2)

$$\oint_C \text{d}x P(x, y) + \text{d}y Q(x, y) = \oint_C \text{d}x V_x(x, y) + \text{d}y V_y(x, y) = \oint_C \text{d}\underline{x} \cdot \underline{V}(\underline{x})$$

da $d\underline{x}$ in der xy-Ebene liegt.

Für eine beliebige Oberfläche, die man in (viele) kleine Rechtecke zerlegen kann



benachbarte Teilstücke des Linienintegrals haben einander entgegengesetzte Zeichen.

\Rightarrow Summe von (2) über alle kleinen Rechtecke ergibt

$$\iint_A \text{d}S \cdot (\nabla \times \underline{V}) = \oint_{\partial A} \text{d}\underline{x} \cdot \underline{V}(\underline{x}) \quad (\text{Satz von Stokes})$$

1. Funktionen und Potenzreihen

Funktionen sind Zuordnungen, die in der Physik zur Beschreibung unterschiedliche Zusammenhänge genutzt werden, z. B.

Position eines \rightarrow Punktes x in einer Dimension zur Zeit t (t sei beliebig)
 $x(t)$

Elektrisches Potential V am Punkt x
 $V(x)$

Eine Funktion f ordnet jedem Element x einer Definitionsmenge X ein Element
 $f: X \rightarrow Y$ einer Zieldmenge Y zu.
 $x \mapsto y$

und wir schreiben in etwas laxer Notation $y = f(x)$.

Zwei Funktionen $f(x)$ und $g(x)$ sind punktwise gleich, wenn

$$f(x) = g(x) \quad \forall x \in X$$

Diese Definition erlaubt es nun mit Funktionen zu rechnen (also z. B. Gleichungen für Funktionen zu lösen).

Die ersten Funktionen, die wir betrachten, sollen sehr einfach aus:

1.2 Potenzreihen

Wir betrachten eine Funktion $f: \mathbb{R} \rightarrow \mathbb{R}$

$$f(x) = \sum_{n=0}^{\infty} a_n x^n$$

mit festen Koeffizienten $\{a_n\} = \{a_0, a_1, a_2, \dots, a_n\}$ ($a_n \in \mathbb{R}$)

Für endliche n ist $f(x)$ ein Polynom n -ter Ordnung

$$\text{z.B. } f(x) = 3 + 7x + 19.5x^2 + \pi x^3 \quad (n=3)$$

Eine Vielzahl von Funktionen lassen sich als unendliche Potenzreihe darstellen

$$f(x) = \sum_{n=0}^{\infty} a_n x^n, \quad (1)$$

was sich oft als enorm nützlich erweist.

Zunächst müssen wir ableiten können, ob und wann die unendliche Summe (1) überhaupt existiert. Wir betrachten zunächst ein gegebenes festes x und schreibe $b_n = a_n x^n$

Eine Folge von (Teil-)Summen B_0, B_1, B_2, \dots

$$B_n = \sum_{k=0}^n b_k$$

heißt Reihe. Existiert für jedes $\epsilon > 0$ ein $N \in \mathbb{N}$, so daß für alle $n > N$ $|B_n - B| < \epsilon$, so nennen wir die Folge $\underline{\text{Reihe konvergent}}$ mit Grenzwert B und schreiben

$$\lim_{n \rightarrow \infty} B_n = B$$

$$(\text{bzw } \forall \epsilon > 0 \exists N \in \mathbb{N} : \forall n > N |B_n - B| < \epsilon)$$

Beispiel: $b_0 = 1, b_1 = 0.1, b_2 = 0.01, \dots$

$$B_0 = 1, B_1 = 1.1, B_2 = 1.11, \dots$$

Grenzwert 1.1111 ...

Diese Aussage kann sich auch auf Potenzreihen übertragen, allerdings kann es sein, dass die Reihe nur für bestimmte x konvergiert:

z.B. $\sum_{k=0}^{\infty} x^k$ (hier sind alle a_n gleich eins;
die b_k gleich x^k)

$$x = 0.1 : 1 + 0.1 + 0.01 + \dots \quad \text{konvergiert, s.o.}$$

$$x = 2 : 1 + 2 + 4 + \dots \quad \text{divergiert, da}$$

Grenzwert existiert

(Geometrische Reihe, konvergiert bei $|x| < 1$, divergiert bei $|x| \geq 1$)

1.2.1 Da konvergiert sie

$\sum_{k=0}^{\infty} a_k x^k$ konvergiere für $x = x_0$,

$\Rightarrow |a_k x_0^k| \leq c \quad \forall k$ (wobei c eine geeignete Konstante ist, $a_k x_0^k$ kann nicht beliebig wachsen für $k \rightarrow \infty$, wenn die Reihe bei x_0 konvergiert ist, für k gross genug muss $|a_k x_0^k|$ sogar beliebig klein werden)

$$\Rightarrow \sum_{k=0}^{\infty} a_k x^k = \sum_{k=0}^{\infty} a_k x_0^k \left(\frac{x}{x_0} \right)^k$$

$\left| \text{Betrag} \leq c \right|$

$\left| \text{Betrag} < 1 \text{ wenn } |x| < |x_0| \right.$

\Rightarrow jeder Term von $\sum_{n=0}^{\infty} a_n x^n$ ist bezüglich klein als Term

$$\sum_{n=0}^{\infty} c \left| \frac{x}{x_1} \right|^n = c \sum_{n=0}^{\infty} q^n \quad \text{mit } q = \left| \frac{x}{x_1} \right|$$

(konvergente geometrische Reihe für $|x| < |x_1|$). $\sum_{n=0}^{\infty} q^n = \frac{1}{1-q}$

konvergiert eine Reihe aber bei $x = x_1$, konvergiert sie auch für alle x mit $|x| < |x_1|$. Gibt man über die einzelnen Schritte obige Argument mit $x, a_n \in \mathbb{C}$, folgt

Zu jeder ("komplexen") Potenzreihe $\sum_{n=0}^{\infty} a_n x^n$ gibt es ein $s \in [0, \infty]$, mit obiger Eigenschaft, dass die Reihe für $|x| < s$ konvergiert und für $|x| > s$ divergiert. s ist die konvergenzradius der Reihe.

Über das Verhalten der Potenzreihe bei $x = s$ macht diese Satz keine Aussage, dort gibt es auch kein allgemein gültiges Verhalten (es gibt Reihen die direkt am Konvergenzradius konvergieren, divergieren, oder an einer Punkte konvergieren an anderen divergieren).

Ausblick (ohne Beweise)

- Eine Reihe $\sum_{n=0}^{\infty} b_n$ heißt absolut konvergent, wenn auch die Reihe $\sum_{n=0}^{\infty} |b_n|$ konvergiert. Insofern als Konvergenzradius ist jede Reihe absolut konvergent.
- Absolut konvergente Reihen dürfen Glied für Glied multipliziert werden

$$\left(\sum_{n=0}^{\infty} a_n \right) \left(\sum_{n=0}^{\infty} b_n \right) = \sum_{m=0}^{\infty} c_m \quad \text{mit } c_m = \sum_{k=0}^m a_k b_{m-k}$$

- eine Potenzreihe $\sum_{n=0}^{\infty} a_n x^n$ heißt gleichmäßig konvergent in einem Bereich D wenn

$$\forall x \in D \quad \forall \epsilon > 0 \quad \exists N \in \mathbb{N} : \forall n > N \quad \left| \sum_{k=0}^n a_k x^k - \sum_{k=0}^{\infty} a_k x^k \right| < \epsilon$$

(gesamte Funktion bleibt in einem ϵ -Sektor)

Insofern als Konvergenzradius konvergente Potenzreihen gleichmäßig.

Gleichmäßig konvergente Potenzreihen läuft glücklicherweise integriert und differenziert weiter

$$\lim_{n \rightarrow \infty} \int dx \sum_{n=0}^{\infty} a_n x^n = \int dx \lim_{n \rightarrow \infty} \sum_{n=0}^{\infty} a_n x^n ; \frac{d}{dx} \left(\sum_{n=0}^{\infty} a_n x^n \right) = \sum_{n=0}^{\infty} n a_n x^{n-1}$$

Notationsfehler: $f(x) \in O(g(x))$ bedeutet $0 \leq \limsup_{x \rightarrow \infty} \left| \frac{f(x)}{g(x)} \right| < \infty$

 $f(x) \in o(g(x))$ bedeutet $\lim_{x \rightarrow \infty} \frac{f(x)}{g(x)} = 0$

$x^2 + 3x \in O(x^2)$
 $x^2 + 3x \in o(x^3)$

Beispiele: $f(x) = \sin(x)$ gilt für $x=0$: 0
 $f''(x) = \cos(x)$ " " " 1
 $f^{(12)}(x) = -\sin(x)$ " " 0
 \vdots
 $\Rightarrow f(x) = x - \frac{x^3}{3!} + \frac{x^5}{5!} - \frac{x^7}{7!} + \dots$
 $= \sum_{n=0}^{\infty} (-1)^n \frac{x^{2n+1}}{(2n+1)!}$ konvergiert nach ∞ !

Mehr zum Konvergenzradius:

Formel von Landau-Hadamard folgt aus Wurzelkriterium:

$$\sqrt[n]{|a_n(x-x_0)^n|} = |x-x_0| \sqrt[n]{|a_n|} = 1 \quad \text{am Konvergenzradius für } n \rightarrow \infty$$

$$\liminf_{n \rightarrow \infty} \sqrt[n]{|a_n|} = |x-x_0| < \frac{1}{\limsup_n \sqrt[n]{|a_n|}} = r !$$

Wurzelkriterium: gilt $\sqrt[n]{|a_n|} \leq c < 1$ für Reelle
 $\Rightarrow |a_n| \leq c^n$ mit konvergenter Reihe $\sum_{n=0}^{\infty} c^n = \frac{1}{1-c}$ als Majorante

1.3 Taylorreihen

Ursprüngliches Ziel bei der Einführung von Potenzreihen war gewesen, allgemeine Funktionen als Potenzreihen darzustellen.

$$f(x) = \sum_k a_k x^k = a_0 + a_1 x + a_2 x^2 + \dots$$

innehaltet den Konvergenzradius als Reihe. Zunächst sind die Koeffizienten $\{a_k\}$ zu bestimmen.

$$k=0: f(0) = a_0 + a_1 \cdot 0 + a_2 0^2 + \dots$$

$$= a_0$$

$$\Rightarrow a_0 = f(x) \Big|_{x=0}$$

$$k=1: \frac{d f(x)}{dx} \Big|_{x=0} = a_1 + 2a_2 x \Big|_{x=0} + 3a_3 x^2 \Big|_{x=0} + \dots$$

$$= a_1$$

$$\Rightarrow a_1 = \frac{d f(x)}{dx} \Big|_{x=0}$$

$$k=2: \frac{d^2 f(x)}{dx^2} \Big|_{x=0} = 2a_2 + 2 \cdot 3 a_3 x \Big|_{x=0} + \dots$$

$$= 2a_2$$

$$\Rightarrow a_2 = \frac{1}{2} \frac{d^2 f(x)}{dx^2} \Big|_{x=0}$$

⋮

$$a_n = \frac{1}{n!} \frac{d^n f(x)}{dx^n} \Big|_{x=0}$$

Ist $f: (a, b) \rightarrow \mathbb{R}$ beliebig oft differenzierbar und $x_0 \in (a, b)$ heißt die Potenzreihe

$$\sum_{k=0}^{\infty} \frac{f^{(k)}(x_0)}{k!} (x - x_0)^k$$

die Taylorreihe bei x_0 . Ihre Koeffizienten die Taylor-Koeffizienten von f bei x_0 .

Bricht man die Potenzreihe nach n Termen ab, besitzt

$$R_n(x) = \sum_{m=1}^{\infty} \frac{f^{(m)}(x_0)}{m!} (x - x_0)^m$$

1.4

das Restglied" die Reihe. $R_n(x - x_0) = O((x - x_0)^n)$ ist eine verteilte Notation.
"R_n ist von der Ordnung n"

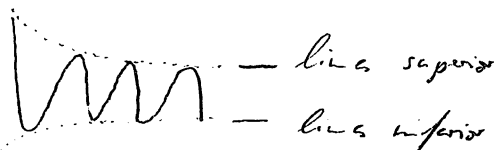
Einschub zur Notation des asymptotischen Verhaltens

$$f(x) \in o(g(x)) \quad (\text{oder genauer } f(x) = o(g(x)))$$

bedeutet, daß sich $g(x)$ und $f(x)$ asymptotisch nicht "wechselseitig" ausscheiden,

heißt $0 \leq \limsup_{x \rightarrow \infty} \left| \frac{f(x)}{g(x)} \right| < \infty$

lims superior



Beispiel: $4x^2 + 3x \in O(x^2)$ da $\frac{4x^2 + 3x}{x^2} \rightarrow 4$

$$f(x) \in o(g(x))$$

bedeutet, daß $f(x)$ im Vergleich zu $g(x)$ asymptotisch von Null abhängt ist

$$\lim_{x \rightarrow \infty} \left| \frac{f(x)}{g(x)} \right| = 0$$

Beispiel $4x^2 + 3x = o(x^3)$ da $\lim_{x \rightarrow \infty} \frac{4x^2 + 3x}{x^3} = 0$

Phys. Schreibt man $4x^2 + 3x = O(x^2)$... , z.B.

$$\sin(x) = x - \frac{x^3}{2} + o(x^4)$$

$$\bullet f(x) = \cos x$$

$$f'(x) = -\sin x$$

$$f''(x) = -\cos x$$

⋮

$$\bullet f(x) = \sin x \Rightarrow \sin(x) = x - \frac{x^3}{3!} + \frac{x^5}{5!} - \frac{x^7}{7!} + \dots$$

$$f'''(x) = -\sin x$$

$$f''(x) = -\sin(x)$$

⋮

$$\Rightarrow \cos(x) = 1 - \frac{x^2}{2} + \frac{x^4}{4!} - \frac{x^6}{6!} + \dots$$

$$= \sum_{k=0}^{\infty} (-1)^k \frac{x^{2k}}{(2k)!}$$

$$\bullet f(x) = e^x$$

$$f'(x) = e^x$$

$$f''(x) = e^x$$

⋮

$$e^x = 1 + x + \frac{x^2}{2!} + \frac{x^3}{3!} + \dots$$

$$= \sum_{k=0}^{\infty} \frac{x^k}{k!}$$

Nimmt man diese drei Beispiele zusammen erhält man ein spektakuläres
Vierprodukt

$$e^{ix} = \sum_{k=0}^{\infty} \frac{(ix)^k}{k!} = \sum_{k=0, 2, 4, \dots} \frac{(ix)^k}{k!} + \sum_{k=1, 3, 5, \dots} \frac{(ix)^k}{k!}$$

Taylor-Reihe Aufspaltung in
bei 0 k gerade und
ungerade

$$= \sum_{k=0}^{\infty} (-1)^k \frac{x^{2k}}{(2k)!} + i \sum_{k=0}^{\infty} (-1)^k \frac{x^{2k+1}}{k!}$$

$$= \cos(x) + i \sin(x) \quad (\text{Euler Formel})$$

Euler Formel zeigt eine tiefe Beziehung zwischen Trigonometrie und Exponentialfunktionen.
Sie ist auch von grosser praktischer Wichtigkeit, da sie erlaubt Oszillationen, wie
 $\cos(\omega t)$, mit der reellen Exponentialfunktion darzustellen.

Beispiel: Additionsformel

$$\cos(x+y) + i \sin(x+y) = e^{i(x+y)} = e^{ix} e^{iy} = (\cos x + i \sin x)(\cos y + i \sin y)$$

Reellteile beide Seiten gibt

$$\therefore \cos(x+y) = \cos x \cos y - \sin x \sin y$$

1.4. komplexe Zahlen und komplexe Funktionen

musste die Zahlensprache

Ausgedehnt von den natürlichen Zahlen nach rechts erweitert wurde, um Lösungen bestimmter Gleichungen zu ermöglichen

z.B.	$3x = 7$	benötigt reelle Zahlen, natürliche Zahlen reichen nicht aus
	$x^2 = 2$	irrationale Zahlen
	$x + 7 = 3$	negative Zahlen
	$x^2 = -2$?

komplexe Zahlen und \mathbb{R}^2

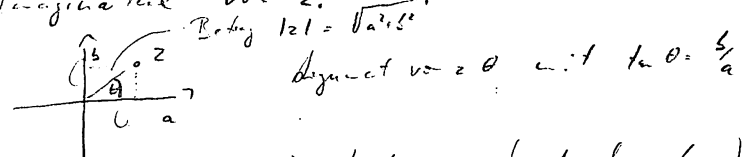
In Vektorraum $\mathbb{R}^2 = \mathbb{R} \times \mathbb{R} = \left\{ \begin{pmatrix} a \\ b \end{pmatrix} : a \in \mathbb{R}, b \in \mathbb{R} \right\}$ mit der Addition von Vektoren
 $\begin{pmatrix} a \\ b \end{pmatrix} + \begin{pmatrix} a' \\ b' \end{pmatrix} = \begin{pmatrix} a+a' \\ b+b' \end{pmatrix}$ Multiplikation mit Skalar $d \begin{pmatrix} a \\ b \end{pmatrix} = \begin{pmatrix} da \\ db \end{pmatrix}$ definieren wir zunächst noch die Multiplikation von zwei Vektoren $\begin{pmatrix} a \\ b \end{pmatrix} \cdot \begin{pmatrix} a' \\ b' \end{pmatrix} = \begin{pmatrix} aa' - bb' \\ ab' + ba' \end{pmatrix}$. (kommutativ)

Diese Multiplikation

- hat einen Einheitsvektor $\begin{pmatrix} 1 \\ 0 \end{pmatrix} \cdot \begin{pmatrix} 1 \\ 0 \end{pmatrix} = \begin{pmatrix} 1 \\ 0 \end{pmatrix}$
- hat ein Inverses $\begin{pmatrix} a \\ b \end{pmatrix}^{-1} = \begin{pmatrix} a \\ -b \end{pmatrix} \frac{1}{a^2+b^2}$ $\begin{pmatrix} a \\ b \end{pmatrix} \cdot \begin{pmatrix} a \\ -b \end{pmatrix} = \begin{pmatrix} 1 \\ 0 \end{pmatrix}$
- erlaubt Lösung von $x^2 = -1$: $\begin{pmatrix} 0 \\ 1 \end{pmatrix} \cdot \begin{pmatrix} 0 \\ 1 \end{pmatrix} = \begin{pmatrix} -1 \\ 0 \end{pmatrix}$

\Rightarrow Zahlensprache

Wir schreiben $\begin{pmatrix} 1 \\ 0 \end{pmatrix}$ als 1 und $\begin{pmatrix} 0 \\ 1 \end{pmatrix}$ als i . $z = a + ib \in \mathbb{C}$ wird als komplexe Zahl bezeichnet, a heißt Realteil, b der Imaginärteil von z .
 $|z| = \sqrt{a^2+b^2}$
 $(\text{Multiplikation} \Leftrightarrow \text{Rotation} \& \text{Streckung})$



Jede polynomiale Gleichung nten Grades (mit komplexen Koeffizienten) hat n (i.A. komplexe) Lösungen.

1. Komplexe Funktionen

Bei der Betrachtung der Exponentialfunktion haben wir ausgenommen, dass

$$e^z = \sum_{n=0}^{\infty} z^n / n!$$

und für $z \in \mathbb{C}$ konvergiert, man also die Taylorreihe einer Funktion auch komplexen Argument betrachten kann.

Weiter Beispiel:

$$\cos ix = \frac{1}{2} (\cos ix + i \sin ix) + \frac{1}{2} (\cos (-ix) - i \sin (-ix))$$

|
Polarreihe enthält
nur gerade Terme, $\cos ix = \cos(-ix)$

|
Polarreihe enthält nur ungerade Terme, $\sin ix = -\sin(-ix)$

$$\begin{aligned} &= \frac{1}{2} (\cos ix + i \sin ix) + \frac{1}{2} (\cos(-ix) + i \sin(-ix)) = \frac{1}{2} e^{ix} + \frac{1}{2} e^{-ix} \\ &= \frac{1}{2} (e^{-x} + e^x) = \cosh x \end{aligned}$$

analog

$$-i \sin ix = \frac{1}{2} (e^x - e^{-x}) = \sinh x$$

$\sinh x, \cosh x$ werden als "hypobolische Sines" und "hypobolische Kosinus" bezeichnet, analog
 $\tanh x = \frac{\sinh x}{\cosh x}$ als hypobolische Tangens

Wann einfacher ist der komplexe Logarithmus, definiert obenfolgende Gleichung

$$e^w = z$$

$\Rightarrow w = \log(z)$ für $w, z \in \mathbb{C}$.

Allerdings zeigt schon

$$e^{2\pi k i} = \cos 2\pi k + i \sin 2\pi k = 1 \quad \text{für } k \in \mathbb{N}_0$$

$\Rightarrow e^w \cdot 1 = z$ kann als $e^{w+2\pi k i} = z$ geschrieben werden, d.h.

$$w' = w + 2\pi k i$$

ist ebenfalls eine Lösung von $e^w = z$ wie w .

\Rightarrow der komplexe Logarithmus ist nicht eindeutig; man erhält aber stetige Beschreibungen einer eindimensionalen Funktion:

$w = \varrho(z)$ ist der Hauptwert des Logarithmus wenn $z = e^w$ und $\arg(w) \in [-\pi, \pi]$.

Nachteil: Sprung bei -1 ("branch cut")

2. Differentialgleichungen (DGL)

Einzelne Mengen können durch einzelne Zahlen beschrieben werden, die zugehörige Prozesse sind jedoch meist durch Funktionen beschrieben

- Bahnbewegung $\begin{pmatrix} x(t) \\ y(t) \\ z(t) \end{pmatrix}$ eines Teilchens in 3D

- Potential $V(x, y, z)$ einer Ladung verteilt

Diese Funktionen gehören oft Differentialgleichungen - d.h. Gleichungen in deren Ableitungen auftreten - und deren Lösungen Funktionen sind. Praktische die gesamte Physik bis ca. 1935 ist Naturbeschreibung mit Differentialgleichungen:

$$m \frac{d^2 \vec{x}}{dt^2} = \vec{F}(x, t) \quad \text{Newton II}$$

$$\frac{\partial E_x}{\partial x} + \frac{\partial E_y}{\partial y} + \frac{\partial E_z}{\partial z} = S(z) \quad \text{eine der Maxwell-Gleichungen}$$

$$i \hbar \frac{\partial}{\partial t} \psi(x, t) = - \frac{\hbar^2}{2m} \frac{\partial^2}{\partial x^2} \psi(x, t) + V(x) \psi(x, t) \quad \text{Schrödinger-Gleichung}$$

Warum immer DGL? Es scheint, dass die Natur "lokal" ist, so dass zur Vorhersage nur lokale Werte zu einer Funktion nötig sind (Stellung, Beschleunigung,...)

2.1 Terminologie

Eine Gleichung, in der Ableitungen einer Funktion ^{aufheben} heißt Differentialgleichung, die höchste Ordnung der Ableitung wird als Ordnung der DGL bezeichnet.

DGL, die Ableitungen nach nur einer Variablen enthalten, heißen gewöhnliche DGL (z.B. Newton II), feste Ableitungen nach verschiedenen Variablen entsprechend von partielle DGL. Wir betrachten zunächst gewöhnliche DGL für Funktionen einer reellen Variable $R \ni x \mapsto y(x)$ (y könnte eine Raumvariable sein, x die Zeit,...)

In diesem Kontext ist eine lineare DGL eine Gleichung der Form

$$a_n(x) \frac{d^ny(x)}{dx^n} + a_{n-1}(x) \frac{d^{n-1}y(x)}{dx^{n-1}} + \dots + a_1(x) \frac{dy(x)}{dx} + a_0(x)y(x) = f(x)$$

denn jeder Term ist linear in $y(x)$. Wir schreiben daher auch mit

$$\mathcal{L} \equiv a_n(x) \frac{d^n}{dx^n} + a_{n-1}(x) \frac{d^{n-1}}{dx^{n-1}} + \dots + a_0(x)$$

die Gleichung als $\mathcal{L}y = f$. Der Differentialoperator \mathcal{L} ist linear, d.h.

$$\mathcal{L}(y_1 + y_2) = \mathcal{L}y_1 + \mathcal{L}y_2$$

$f(x)$ bezeichnet man als die Inhomogenität der Gleichung; oft beschreibt $f(x)$ einen externen Einfluss auf ein System, z.B. in $m \frac{d^2y}{dt^2} = F(t)$ \leftarrow Inhomogenität

Ist $f(x) = 0$ (Nullfunktion) spricht man von einer homogenen DGL.

2.2 Linearität von \mathcal{L} und ihre Konsequenzen

- Seien $y_1(x)$ und $y_2(x)$ Lösungen einer homogenen ^{linear} DGL, d.h. $\mathcal{L}y_1 = 0$ und $\mathcal{L}y_2 = 0$ und daher

so ist $a_1y_1(x) + b_2y_2(x)$ ^{a, b ∈ ℝ} auch eine Lösung der DGL (genau wie andere Kombinat. ab y_1 oder y_2):

$$\mathcal{L}(ay_1 + by_2) = a\mathcal{L}y_1 + b\mathcal{L}y_2 = a \cdot 0 + b \cdot 0 = 0$$

- Sei $y_1(x)$ Lösung einer inhomogenen DGL, $\mathcal{L}y_1 = f$

$y_2(x)$ Lösung der entsprechenden homogenen Gleichung $\mathcal{L}y_2 = 0$

dann ist $y_1(x) + y_2(x)$ eine weitere Lösung der inhomogenen Gleichung

$$\mathcal{L}(y_1 + y_2) = \mathcal{L}y_1 + \mathcal{L}y_2 = f + 0 = f$$

Wichtige Konsequenz: Real/Imaginärteile "komplexe" Lösungen sind ebenso Lösungen der ^{linearen} DGL.

z.B. $z(x) = z_R(x) + i z_I(x)$ sei eine komplexe

Lösung der DGL mit $z_R(x), z_I(x) \in \mathbb{R}$: $\mathcal{L}z = 0 = 0 + 0i$

$$\Rightarrow \mathcal{L}(z_R + iz_I) = \mathcal{L}z_R + i\mathcal{L}z_I = 0 + 0i$$

$$\begin{array}{l} \text{Linearität} \\ \text{der DGL} \end{array} \quad \Rightarrow \left. \begin{array}{l} \mathcal{L}z_R = 0 \\ \mathcal{L}z_I = 0 \end{array} \right\} z_R, z_I \text{ sind ebenso Lösungen}$$

inhomogen DGL: $\mathcal{L}z = f_z = f_R + if_I \Rightarrow \mathcal{L}z_R = f_R, \mathcal{L}z_I = f_I$

! (oftmals ist die komplexe Lösung leichter zu bestimmen)

2.3 Gewöhnliche DGL erste Ordnung

Sind von der Form $\frac{dy}{dx} = f(x, y)$

(D.h. kann Koeffizient von $\frac{dy}{dx}$ auf 1 gesetzt werden)

Als konkretes Beispiel betrachten wir

$$\frac{dy}{dx} + \lambda y = 0 \quad \text{oder} \quad \frac{dy}{dx} = -\lambda y \quad (\text{lineare homogene DGL erste Ordnung})$$

Radioaktiver Zerfall: die Zahl der pro kleinen Zeitintervall ^{in Mittel} zerfallende Atome ist proportional zur Zahl der vorhandenen Atome $N(t)$

$$\frac{dN}{dt} = -\lambda N$$

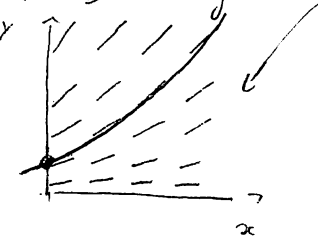
daraus: $y(x) = A e^{-\lambda x}$

$$\frac{dy}{dx} = A (-\lambda) e^{-\lambda x} = -\lambda y$$

Die konstante A wird aus Anfangsbedingung (allg. Randbedingung) bestimmt:

$$y(0) = A e^{-\lambda \cdot 0} = A$$

Graphische Darstellung: *wobei man point above!*



"kleine Striche" mit Steigung $f(x, y)$
- Lösung zu gegebener Anfangsbedingung

=> intuitiv: stark am Anfang und folgt den Strichen: DGL und Anfangsbedingung liegen die Lösung fast

2.3.1 Eindeutigkeit

Die wichtigste Frage an dieser Stelle ist: wie allgemein ist dieses Verhalten?

Ist die DGL und AB die Lösung fest?

Satz: Sei eine DGL $\frac{dy}{dx} = f(x, y)$ auf einem Rechteck $(a, b) \times (c, d)$ definiert, so daß ein ^{wachsende} $L > 0$ existiert so dass

$$|f(x, y) - f(x, \tilde{y})| \leq L |y - \tilde{y}| \quad \forall x, y, \tilde{y} \text{ auf dem Rechteck}$$

so sind zwei Lösungen $y_1(x)$ und $y_2(x)$, die bei einem $x = x_0$ denselben Wert haben, gleich: wenn $y_1(x_0) = y_2(x_0)$ dann $y_1(x) = y_2(x)$ auf (a, b) . (Lipschitz Bedingung)

Da die Lipschitz Bedingung in der Praxis fast immer erfüllt ist (Natürlich führt auf eindeutig) ist dieser Satz sehr wichtig: Haben wir es geschafft eine Lösung zu gegebener Anfangsbedingung zu finden wissen wir, dass keine weiteren Lösungen existieren! (Existenz der Lösung lässt sich ebenso um so allgemeine Bedingungen erweitern)

2.3.2 Lineare DGL erste Ordnung: homogene Gleichung

$$\frac{dy}{dx} + a(x)y(x) = 0$$

$$J = \frac{dy}{dx} + a(x)$$

(gleicht dem einfachen Beispiel $\frac{dy}{dx} = -\lambda y$, nur dass λ nun von x abhängt)

$$\text{Ansatz } y(x) = y(0) \exp \left\{ - \int_0^x dx' a(x') \right\} \approx y(0) e^{-A(x)} \quad (\text{gleicht } e^{-\lambda x} \text{ für } a(x) = \lambda)$$

$$\begin{aligned} \frac{dy}{dx} &= y(0) \underbrace{\exp \left\{ - \int_0^x dx' a(x') \right\}}_{y(x)} + \frac{d}{dx} \left(- \int_0^x dx' a(x') \right) \\ &= -a(x) y(x) \end{aligned}$$

"complementary function" $y(x)$

2.3.3 Lineare DGL erste Ordnung: inhomogene Gleichung

$$\frac{dy}{dx} + a(x)y(x) = f(x)$$

Wir vermuten eine Lösung, die wie oben Term $e^{-A(x)}$ enthält und versuchen den Ansatz $y(x) = c(x) e^{-A(x)}$ mit noch zu bestimmenden $c(x)$.

$$\frac{dy}{dx} = c'(x)e^{-A(x)} - a(x)c(x)e^{-A(x)} = c'(x)e^{-A(x)} - a(x)y(x)$$

$$\Rightarrow \frac{dy}{dx} + a(x)y(x) = c'(x)e^{-A(x)} \stackrel{!}{=} f(x) \quad \text{DGL}$$

$$\Rightarrow c'(x) = e^{A(x)} f(x)$$

$$c(x) = \int_0^x e^{A(x')} f(x') dx'$$

$$\Rightarrow y(x) = c(x) e^{-A(x)} = \int_0^x e^{-A(x) + A(x')} f(x') dx'$$

$$= \int_0^x e^{-A(x-x')} f(x') dx'$$

$$G(x, x') = e^{-A(x-x')} e^{-A(x') + A(x')}$$

Jede Änderung von $f(x')$ mit $0 < x' < x$ ändert also die Lösung von $y(x)$, wobei $G(x, x')$ den "Einfluss" von $f(x')$ auf $y(x)$ angibt. $G(x, x')$ heißt Green-Funktion der DGL und wir werden darauf noch ausführlich zurückkommen.

Bei der Lösung der inhomogenen Gleichung fällt uns auf, dass bei

$$y(x) = \int_0^x e^{-A(x-x')} f(x') dx'$$

keine Möglichkeit besteht $A\beta$ zu wählen, $y(0)$ ist null!

Wir können jedoch (f ist linear) zu Lösung der inhomogenen Gleichung $\frac{dy}{dx} + a(x)y = 0$ addieren, und erhalten eine weitere Lösung der DGL mit anderen Anfangsbedingungen! Die allgemeine Lösung ist also

$$y(x) = y(0) e^{-A(x)} + \underbrace{\int_0^x e^{-A(x-x')} f(x') dx'}_{\text{"Partikuläre Lösung"}}$$

Lösung des homogenen Systems

(Erfilen von $A\beta$ kann exponentiell abhängt)

"Partikuläre Lösung"

2.3.4 Gekoppelte Differentialgleichungen erster Ordnung

Differentialgleichungen für mehrere Variablen y_1, y_2, \dots heißen gekoppelt, wenn y_1, y_2, \dots alle jeweils in einer Gleichung für die Ableitungen $\frac{dy_1}{dx}, \frac{dy_2}{dx}, \dots$ auftreten, also

$$\frac{dy_1}{dx} = f_1(y_1, y_2, x)$$

Vektorschreibweise

$$\frac{dy}{dx} = f(y, x)$$

$$\frac{dy_2}{dx} = f_2(y_1, y_2, x)$$

Lösungen sind wieder eindeutig wenn eine Lipschitz-Bedingung erfüllt ist. Die Vektorschreibweise suggeriert eine Lösung zu zwei Anfangsbedingungen $y_1(0)$ und $y_2(0)$ indem man im 3D Raum y_1, y_2, x die "Strichen" in mit Steigung f folgt. Wichtige Anwendung: DGL höherer Ordnung können als gekoppelte DGL niedriger (erste!) Ordnung geschrieben werden (was die Lösung aber nicht einfache macht).

Beispiel: $m \frac{d^2x}{dt^2} = F(x, t)$ lineare DGL 2. Ordnung

$$\text{Definieren } v(t) = \frac{dx(t)}{dt}$$

$$\Rightarrow \frac{dv}{dt} = \frac{d^2x}{dt^2}$$

und wir erhalten für die obige DGL

$$m \frac{dv}{dt} = F(x, t)$$

$$\frac{dx}{dt} = v(t)$$

} zwei gekoppelte DGL erste Ordnung

Damit haben auch (praktisch) alle DGL n-ter Ordnung eindeutige Lösungen, bis auf n Anfangsbedingungen (Bsp: Ort, Geschwindigkeit für Newton II)

3.4 Gewöhnliche lineare DGL zweite Ordnung

sind von der Form $\frac{d^2y}{dx^2} + a_1(x) \frac{dy}{dx} + a_2(x) y = f(x)$

Wir beschränken uns auf den Fall mit konstanten Koeffizienten

Beispiel: Eine Masse m an einer Feder mit Stärke k bewegt sich in 1D durch eine viskose Flüssigkeit (Reibungskraft proportional zur Geschwindigkeit) und wird von einer externen Kraft $F_{ext}(t)$ getrieben

$$m \frac{d^2x}{dt^2} = -kx - \gamma \frac{dx}{dt} + F_{ext}(t) \quad \text{geklämpft getriebener harmonischer Oszillator}$$

oder

$$\frac{d^2x}{dt^2} + b \frac{dx}{dt} + cx = f(t)$$

$$b = \gamma/m$$

$$c = k/m$$

$$f(t) = F_{ext}(t)/m$$

Wir bleiben bei der Notation $x = x(t)$, da DGL zweite Ordnung oft mit der Zeit t als abhängige Variable auftreten, bzw. sich gut mit temporären Effekten illustrieren lassen.

3.4.1 Gedämpfte harmonische Oszillation (homogene Gleichg.)

$$\frac{d^2x}{dt^2} + b \frac{dx}{dt} + c x(t) = 0 \quad b, c \in \mathbb{R}$$

$$x(0) = 0$$

oder

$$\mathcal{L}x = 0 \quad \text{mit } \mathcal{L} = \frac{d^2}{dt^2} + b \frac{d}{dt} + c$$

$$\text{Ansatz: } x(t) = \operatorname{Re}(A e^{i\omega t}) \quad \text{mit } A, \omega \in \mathbb{C}$$

Satz: Sei $\mathcal{L}x(t) = x_R(t) + i x_I(t)$ eine komplexe Lösung einer linearen DGL

$\mathcal{L}x = f$, dann ist $x_R(t) \in \mathbb{R}$ eine Lösung von $\mathcal{L}x_R = \operatorname{Re}(f)$

$$\begin{aligned} \text{Beweis: } \mathcal{L}x &= \mathcal{L}(x_R + i x_I) = \mathcal{L}x_R + i \mathcal{L}x_I \stackrel{\text{DGL}}{=} f_R + i f_I \\ &\Rightarrow \mathcal{L}x_R = f_R \end{aligned}$$

Wir suchen daher zunächst nach komplexen Lösungen, und nehmen zum Schluß dann Re drüber.

In unserem Fall beschreibt

$$\begin{aligned} \operatorname{Re}(A e^{i\omega t}) &= \operatorname{Re}((A_R + i A_I) e^{i(\omega_R t + i\omega_I t)}) \\ &= \operatorname{Re}((A_R + i A_I) e^{i\omega_R t - \omega_I t}) \\ &= \operatorname{Re}(A_R \cos \omega_R t - A_I \sin \omega_R t + i(\dots)) e^{-\omega_I t} \\ &= A \cos(\omega_R t - \phi) e^{-\omega_I t} \end{aligned}$$

eine gedämpfte harmonische Schwingung, jedoch erfordert die komplexe Exponentialfunktion die Rechnung erheblich:

$$\frac{d}{dt} e^{-\omega_I t} \cos(\omega_R t - \phi) \Rightarrow \text{Produktregel, trigonometrische Identitäten}$$

$$\frac{d^2}{dt^2} e^{-\omega_I t} \cos(\omega_R t - \phi) \Rightarrow \text{Formelwurst}$$

Vergleich

$$\frac{d}{dt} e^{i\omega t} = i\omega e^{i\omega t}$$

$$\frac{d^2}{dt^2} e^{i\omega t} = -\omega^2 e^{i\omega t}$$

\Rightarrow einfach und elegant, kommt bei allen linearen DGL zu Anwendung

Für die homogene Gleichung $\ddot{x} = 0$ gilt aus der Form $x = A e^{i\omega t}$

$$(-\omega^2 + i\omega b + c) A e^{i\omega t} = 0 \quad \forall t$$

\Rightarrow entweder $A=0$ (triviale Lösung) oder

$$-\omega^2 + i\omega b + c = 0$$

Quadratische Gleichung in ω mit 2 Lösungen

$$\omega_{+-} = \frac{-ib \pm \sqrt{-b^2 + 4c}}{2} = \frac{i}{2} b \pm \frac{1}{2} \sqrt{4c - b^2}$$

Für den Fall $b=0$ (physikalisch: keine Rüttung) erhalten wir $\omega_{+-} = \pm\sqrt{c}$
 $= \pm\sqrt{k_m}$,
 $= \pm\omega_0$,

die allgemeine Lösung für $b=0$ ist also

$$x(t) = A_+ e^{i\omega_0 t} + A_- e^{-i\omega_0 t},$$

ihre Realteil kann als

$$x_r(t) = A \cos(\omega_0 t - \phi) \quad (\text{harmonische Schwingung})$$

geschrieben werden, A und ϕ sind aus Anfangszeit + Anfangsgeschwindigkeit zu bestimmen.

$b \neq 0$: Fallunterscheidung für 3 Fälle mit anstehende b (nachcole Dämpfung)

$$1. \quad 4c - b^2 > 0$$

$$\omega_{+-} = \pm\omega_R + i\omega_I \quad \text{mit} \quad \omega_R = \frac{1}{2} \sqrt{4c - b^2} = \sqrt{c - \frac{1}{4}b^2}, \quad \omega_I = \frac{b}{2}$$

$$x(t) = A_+ e^{i\omega_R t} + A_- e^{+i\omega_R t}$$

mit Realteil

$$A e^{-\omega_I t} \cos(\omega_R t - \phi) \quad (\text{gedämpfte harmonische Schwingung,\\ kleiner Freguar als } b=0)$$

$$2. \quad 4c - b^2 = 0 \quad (\text{sogenannte kritische Dämpfung})$$

$$\omega_{+-} = \frac{i}{2} b \equiv \omega_c$$

Wir erwarten noch eine zweite Lösung, genauer Betrachtung von $4c \rightarrow b^2$

gibt

$$\lim_{\omega_+ \rightarrow \omega_-} \underbrace{\frac{e^{i\omega_+ t} - e^{+i\omega_+ t}}{i\omega_+ - i\omega_-}}_{\text{Summe von Lösungen} \Rightarrow \text{Lösung}} = \lim_{\omega_+ \rightarrow \omega_-} C^{i\omega_+ t} \frac{1 - e^{i(\omega_- - \omega_+)t}}{i\omega_+ - i\omega_-}$$

$$= e^{i\omega_c t} \lim_{\omega_+ \rightarrow \omega_-} \frac{1 - (1 + i(\omega_- - \omega_c)t + \dots)}{i\omega_+ - i\omega_-} = t e^{i\omega_c t}$$

NB: Zell do 13 vs. komplex Zsg

$$\Leftrightarrow y(t) = A_+ e^{i\omega t} + A_- e^{-i\omega t}$$

$$= (A_+ + A_-) \cos \omega t + i(A_+ - A_-) \sin \omega t$$

$$\text{hence Variable } a_c = A_+ + A_- \in \mathbb{C}$$

$$a_s = A_+ - A_- \in \mathbb{C}$$

$$= a_c \cos \omega t + i a_s \sin \omega t$$

$$= \underbrace{(a_c^R \cos \omega t - a_s^I \sin \omega t)}_{A \cos(\omega t - \phi)} + i \underbrace{(a_c^I \cos \omega t + a_s^R \sin \omega t)}_{A \sin(\omega t - \phi)}$$

Die allgemeine Lösung für diesen Fall ist also

$$x(t) = A e^{-\omega t} + B t e^{-\omega t} \quad \omega = b/2 \in \mathbb{R}$$

mit 2 freien Parametern (Realteil von A und B)

Physikalisch beschreibt dieser Fall eine exponentielle Abklingen der Bewegung, ohne Oszillation.

$$3. \quad 4c - b^2 < 0 \quad (\text{Überdämpfung Oszill.})$$

$$\omega_{\pm} = \frac{c}{2} b \pm \frac{i}{2} \sqrt{|4c - b^2|} = \frac{i}{2} \left(b \pm \sqrt{b^2 - 4c} \right) =$$

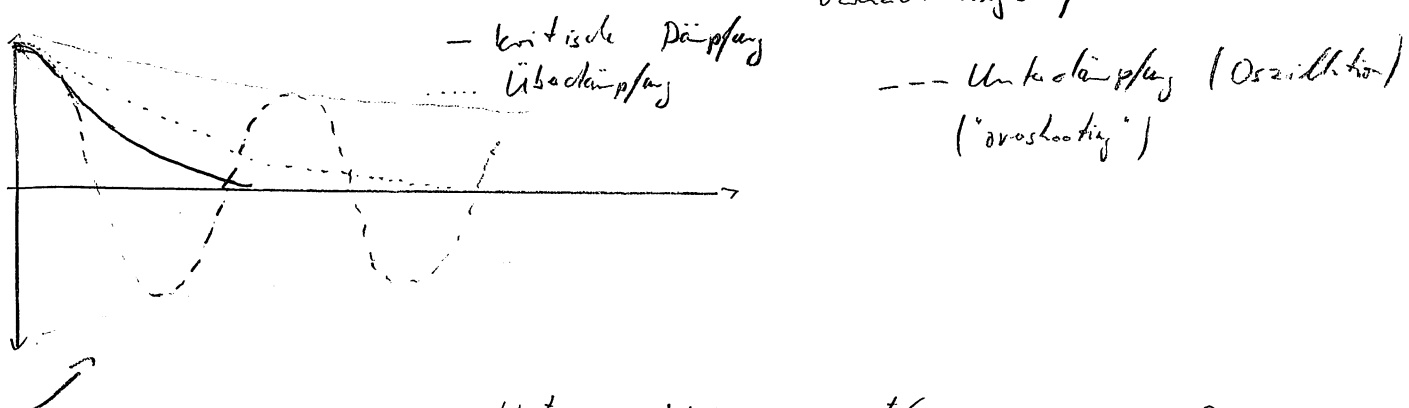
Allgemeine Lösung

$$y(t) = A_+ e^{i\omega_+ t} + A_- e^{i\omega_- t} = A_+ e^{-\omega_{+I} t} + A_- e^{-\omega_{-I} t}$$

Physikalisch ($b > 0$) beschreibt dieser Fall ein exponentielles Abklingen ohne Oszillationen, allerdings (bei konstanter c) langsamer als im Fall 2:

$$\omega_{-I} = \frac{b - \sqrt{b^2 - 4c}}{2} < \frac{b}{2} \equiv \omega_{cI} \quad (\text{Imaginärteil von } \omega_c \text{ bei kritischer Dämpfung})$$

(ω_{+I} bleibt schnell ab, bei langer Zeit ist der A_+ -Term dann vernachlässigbar)



$$\text{Abfall der Einküllrate} \quad c^{-\omega_{+I} t} = e^{-bt/\epsilon} = e^{-t/\tau} \quad \tau = \frac{2}{b}$$

$$\text{Oszillationsperiode} \quad T = \frac{2\pi}{\omega_R} = \frac{2\pi}{\sqrt{c - \frac{1}{4}\xi^2}}$$

Realteil von $A e^{-\omega t} + B t e^{-\omega t}$ ist ωR

$$(A_R + B_R t) e^{-\omega t}$$

3.4.2 Gedämpftes harmonischer Oszillator (inhomogene Gleichung)

$$J_x = f$$

$$J = \frac{d^2}{dt^2} x + b \frac{dx}{dt} + c x$$

Physikalisch beschreibt $f(t)$ eine exakte physikalische Kraft, die das System antreibt, z.B. eine Schallwelle die in regelmäßigen Abständen angesetzt wird, eine Brücke unter stromabwärtsen Winden oder Schritte eines Fußgängers.

Auch für den harmonischen Oszillator existiert wieder eine Greenfunktion, so daß wir für beliebige $f(t)$

$$x(t) = \int dt' G(t,t') f(t') + x_{\text{homogen}}(t)$$

berechnen können - dies bleibt jedoch einem späteren Kapitel vorbehalten.

Wir erinnern uns an das allgemeine Vorgehen

- spezielle Lösung der inhomogenen Gleichung finale (es gibt nur eine!)
- Lösung der homogenen Gleichung mit freien Parametern additiv (hier 2)
- freie Parameter aus Anfangsbedingungen bestimmen

Die Lösung der homogenen Gleichung haben wir bereits behandelt.

Zur speziellen Lösung von $J_x = f$ existiert wieder eine Greenfunktion

$$x(t) = \int dt' G(t,t') f(t')$$

so dass wir $x(t)$ für beliebige $f(t)$ berechnen können (wenn wir das Integral ausrechnen können). Dies bleibt jedoch einem späteren Kapitel vorbehalten.

Wir betrachten hier zwei instanzielle Spezialfälle

1. konstante exakte Kraft

$$\frac{d^2}{dt^2} x + b \frac{dx}{dt} + c x = f = \text{const.}$$

$$\Rightarrow x(t) = \frac{f}{c}$$

ist die spezielle Lösung

Nach Abziehen der Lösung der inhomogenen Gleichung ist ein Gleichgewicht bei \dot{x}_c erreicht.

2. Sinusförmige externe Kraft

• dient auch als Näherung für nicht-sinusförmige periodische Kraft $\overline{M(t)}$

- bel. pol. Kraft kann als Reihe sinusförmiger Schwingungen mit unterschiedlichen Amplituden geschrieben werden. $\sum x = f_1 + f_2 + \dots$ hat Lösung

$$x_1 + x_2 + \dots \quad \text{mit } f_{x_1} = f_1$$

$$f_{x_2} = f_2$$

\Rightarrow Fourier-Transformation in speziellen Fällen möglich.

$$\frac{d^2}{dt^2} x(t) + b \frac{dx}{dt} + c x(t) = A \cos \bar{\omega} t \quad \text{Frequenz der externen Kraft}$$

Wir nehmen wieder $\cos \omega t = \operatorname{Re} e^{i\omega t}$ und lösen

$$\frac{d^2}{dt^2} x(t) + b \frac{dx}{dt} + c x(t) = A e^{i\bar{\omega}t}$$

nach $x(t) \in \mathbb{C}$, nehmen dann die Realteil (I ist linear!).

Ansatz $x(t) = B e^{i\Omega t}$, mit unbekanntem Ω , gilt

$$\underbrace{(-\Omega^2 + i\Omega b + c)}_{\text{konstant in } t} B e^{i\Omega t} = A e^{i\bar{\omega}t} \quad \forall t$$

|
Oszillation mit
Kreisfrequenz Ω

\
Oszillation mit Kreisfrequenz $\bar{\omega}$

$$\Rightarrow \Omega = \bar{\omega}$$

$$(-\bar{\omega}^2 + i\bar{\omega}b + c) B = A$$

$$B = \frac{A}{c - \bar{\omega}^2 + i\bar{\omega}b} = R e^{-i\phi} A \quad R, \phi \in \mathbb{R}$$

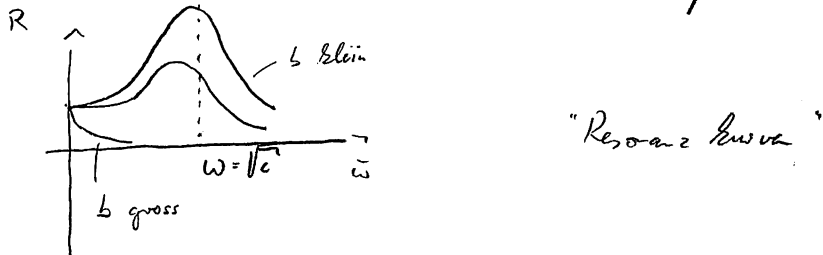
$$R = \left| \frac{1}{c - \bar{\omega}^2 + i\bar{\omega}b} \right| = \frac{1}{|c - \bar{\omega}^2 + i\bar{\omega}b|} = \left((c - \bar{\omega}^2) + \bar{\omega}^2 b^2 \right)^{-\frac{1}{2}}$$

$$\phi = \arctan \left(\frac{i\bar{\omega}b}{c - \bar{\omega}^2} \right)$$

R und ϕ geben Amplitude und Phase relativ zur externen Kraft F an. Der reelle Teil von $x(t) \in \mathbb{C}$ ist

$$x(t) = \operatorname{Re} (B e^{i\bar{\omega}t}) = \operatorname{Re} (R e^{-i\phi} A e^{i\bar{\omega}t})$$

$$= R A \operatorname{Re} (e^{-i\phi + i\bar{\omega}t}) = R A \cos(\bar{\omega}t - \phi)$$



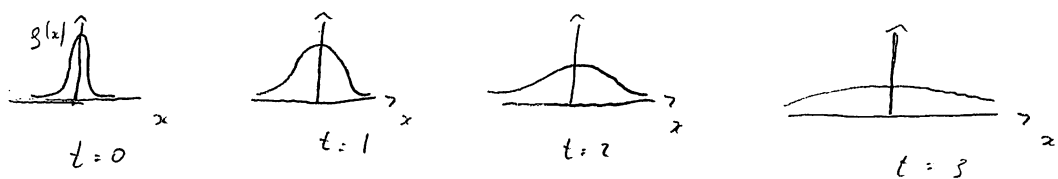
Für $b=0$ hat R eine Singularität bei $\bar{\omega} = \sqrt{c} = \sqrt{k_m} = \omega$ (natürliche Oszillationsfrequenz), für kleine b wird R nahe $\omega = 0$ sehr gross (Tacoma bridge)

3.5 Partielle Differentialgleichungen (PDGs)

Differentialgleichungen mit Ableitungen nach unterschiedlichen Variablen werden als partielle Differentialgleichungen bezeichnet (im Gegensatz zu gewöhnlichen DGL, die nur Ableitungen nach einer Variable enthalten). Die Klassifizierung nach Ordnung, linear/nichtlinear ist analog zu gewöhnlichen Gleichungen.

PDGs treten bei der Beschreibung von Feldern auf, die sich in der Zeit verändern, sowie bei Feldern im 2, 3, ... D Raum

- Diffusion



Teilchen Konzentration zu Zeit $t = 0, 1, 2, \dots$

$$\frac{\partial}{\partial t} S = D \frac{\partial^2}{\partial x^2} S$$

- Schrödingergleichung

$$i\hbar \frac{\partial}{\partial t} \psi(x,t) = -\frac{\hbar^2}{2m} \frac{\partial^2}{\partial x^2} \psi(x,t) + V(x) \psi(x,t)$$

- Elektrodynamik

$$\frac{\partial^2 \phi}{\partial x^2} + \frac{\partial^2 \phi}{\partial y^2} + \frac{\partial^2 \phi}{\partial z^2} = 0$$

$\phi(x,y,z)$ beschreibt das elektrische Potenzial in einer Region ohne Ladung

Diese Gleichung beschreibt auch das Gravitationspotential in leerer Raum, die Gleichgewichtsverteilung der Temperatur im Raum ohne Wärmequelle etc. Sie heißt Laplace-Gleichung

- Wellengleichung $\frac{\partial^2 \phi}{\partial x^2} = \frac{\partial^2 \phi}{\partial t^2}$

PDG sind i.A. schwer zu lösen, Theorie und Anwendung von PDG ist ein aktives Forschungsgebiet der angewandten Mathematik. Keine allgemeine Theorie für Existenz und Eindeutigkeit, jede PDG muss einzeln untersucht werden. (Navier-Stokes Gleichung der Hydrodynamik ist eins der "Millennium-Probleme" mit 10^6 US\$ Preisgeld.) (Wir geht jedoch davon aus, dass zu physikalisch relevanten PDG einzigartige Lösungen existieren)

$$\text{gleichmäßiger Längen} = \frac{\partial}{\partial x_i} \left(\frac{\partial f}{\partial x_i} \right)$$

sind unabh. voneinander

3.5.2 Randbedingungen

Bei gewöhnlichen DGL ist die Lösung, wo die Lösung durch n Anfangsbedingungen festgelegt (oder durch eine Kombination von Anfangs-, Mittel-, Endbedingungen). Bei PDE ist die Situation komplizierter, Randbedingungen können eine Lösung $\phi(x, t)$ oder $\phi(x, y, t)$ auf Punkte, Kurven, Flächen des Raums (x, y, t, \dots) festlegen.

- Wellengleichung in 1D

$$\frac{\partial^2 \phi}{\partial x^2} = \frac{1}{c^2} \frac{\partial^2 \phi}{\partial t^2}$$



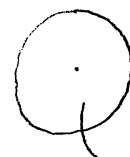
z.B. mit Randbedingung $\phi(x, t) = \phi(L, t) = 0 \forall t$

$$\phi(L, t) = 0 \forall t$$

- Wellengleichung in 2D

$$\frac{\partial^2 \phi}{\partial x^2}, \frac{\partial^2 \phi}{\partial y^2} = \frac{1}{c^2} \frac{\partial^2 \phi}{\partial t^2}$$

zur Beschreibung einer Trommel



auf Rand $x^2 + y^2 = R^2$
ist $\phi = 0$
innerhalb des Raums
gilt Wellengleichung

\Rightarrow Übung

3.5.3 Separationsansatz

Wichtige Lösungsmethoden, die viele physikalisch motivierte PDE auf mehrere gewöhnliche DGL zurückführt.

Beispiel Wellengleichung 1D

$$\frac{\partial^2 \phi}{\partial x^2} = \frac{1}{c^2} \frac{\partial^2 \phi}{\partial t^2}$$

mit Randbedingung $\phi(x=0, t) = 0$
 $\phi(x=L, t) = 0$

$$\text{Ansatz } \phi(x, t) = f(x) g(t)$$

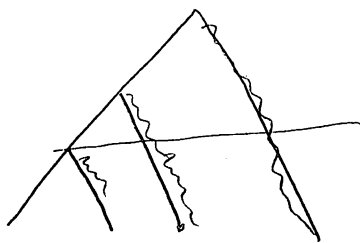
$$\frac{\partial^2}{\partial x^2} (f(x) g(t)) = \frac{1}{c^2} \frac{\partial^2}{\partial t^2} (f(x) g(t))$$

$$g(t) \frac{\partial^2}{\partial x^2} f(x) = \frac{1}{c^2} f(x) \frac{\partial^2}{\partial t^2} g(t)$$

$$\underbrace{\frac{1}{f(x)} \frac{\partial^2}{\partial x^2} f(x)}_{\text{Funktion von } x}$$

$$\underbrace{\frac{1}{g(t)} \frac{\partial^2}{\partial t^2} g(t)}_{\text{Funktion von } t}$$

$\forall x, t$



$$4N S_n = \sum_{i=2}^n \frac{4N}{i(i-1)} = 4N \frac{n}{n-1}$$

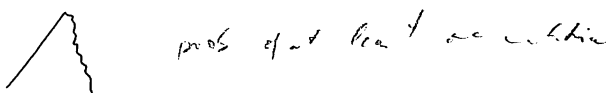
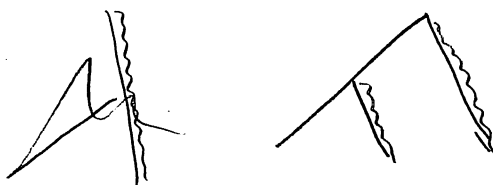
$$= 4N \left(\frac{1}{2} + \frac{1}{3 \times 2} + \frac{1}{4 \times 3} + \frac{1}{5 \times 4} + \dots \right)$$

$$S_0 + S_1 + \dots = \sum$$

prob. of at least one mutation is $e^{-n/4N}$

comes out to be c

prob. of at least one mutation in n give branch $\frac{c^n}{c_i + n}$



expected num. of mutations $T_2 u$

prob. of no mut. $e^{-T_2 u}$

prob. of occurrence $1 - e^{-T_2 u}$



$$\left[1 - e^{-T_2 u} \right] + \left[1 - e^{-[T_2 + T_3] u} \right]$$

$$\langle e^{-T_2 u} \rangle =$$

$$\underbrace{\frac{u}{c_2 + u}}_{c_2 + u} \underbrace{\frac{u}{c_3 + u}}_{c_3 + u} \dots$$

$$\langle 1 - e^{-T_2 u} \rangle = \frac{c_2}{c_2 + u} + 1 - \frac{u}{c_2 + u} \frac{u}{c_3 + u} \dots$$

~~$$\frac{2c_2}{c_2 + u} \left[1 - \frac{u}{c_2 + u} \right] + 1 - \frac{u}{c_2 + u} \frac{u}{c_3 + u}$$~~

Rechte und linke Seite hängt jeweils nur von x , bzw. t ab, können also unabhängig voneinander variiert werden. Damit die Gleichung allgemein für alle x, t gilt muss

$$\frac{1}{f(x)} \frac{d^2}{dx^2} f(x) = \frac{1}{\zeta^2} \frac{1}{g(t)} \frac{d^2}{dt^2} g(t) = \text{konstante} = \lambda$$

und somit

$$\frac{d^2}{dx^2} f(x) = \lambda f(x)$$

$$\frac{d^2}{dt^2} g(t) = -c^2 \lambda g(t)$$

Wird die Konstante positiv gewählt erhält man 'im physikalischen' Lsg. \Rightarrow Übergang
 2 gewöhnliche DGL mit einer PDG!

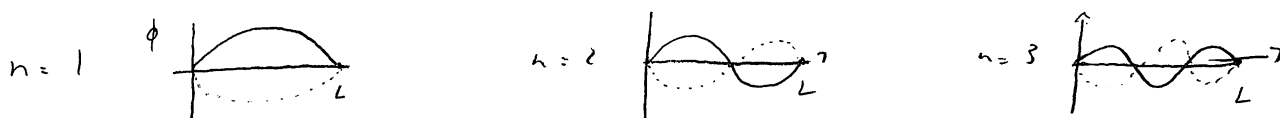
Die DGL kann sich leicht lösen, $f(x) = A \sin(kx)$ mit $kL = \pi n$, nach löst DGL und Randbedingungen $\lambda = -k^2$,

$$g(t) = B e^{ik\omega t} = B e^{i\omega t}, \quad \omega = kc$$

Die Konstante $-k^2 = \lambda$ bleibt dabei unbestimmt, jedes $k = \frac{\pi n}{L}$ löst DGL + Randbed.!

Da PDG linear ist, können wir verschiedene Lösungen addieren und erhalten eine neue Lösung, also allgemein

$$\phi(x, t) = \sum_{n=1}^{\infty} C_n \sin\left(\frac{\pi n}{L} x\right) e^{i \frac{\pi n}{L} \omega t}$$

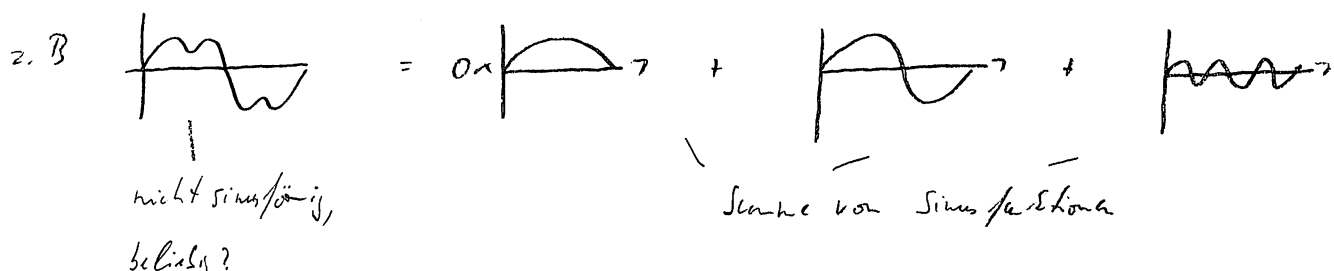


zeigt die ersten drei Töne. Jede dieser Lösungen schwingt mit eigener Frequenz, und ihre Verhalten in x, t ist unabhängig von der Phase weiterer Töne

(sogenannte Normalmode des Systems, obwohl wir noch mehrfach begegnen werden)

Ausblick:

Die Werte der $\{C_n\}$ werden aus den Anfangsbedingungen bestimmt

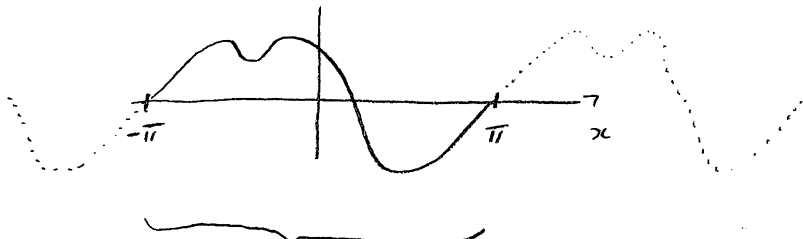


\Rightarrow Fourierreihe, Letzte Kapitel

6. Fourierreihen

Konzept: (Fast alle) periodischen Funktionen lassen sich als Summe von Sinus- und Kosinusfunktionen schreiben.

z.B. sei $f(x)$ periodisch mit Periode 2π



Wir brauchen $f(x)$ nur auf dem Intervall $[-\pi, \pi]$ zu kennen

$\cos(nx)$ und $\sin(nx)$ mit $n = 0, 1, 2, \dots$

haben alle dieselbe Periodizität wie $f(x)$.

$$f(x) = \frac{1}{2}a_0 + a_1 \cos(x) + a_2 \cos(2x) + a_3 \cos(3x) + \dots + b_1 \sin(x) + b_2 \sin(2x) + \dots$$

(Fourier, 1807)

- Fragen:
- wie kann man die $\{a_n, b_n\}$ bestimmen? (sind sie eindeutig?)
 - wann existiert und wann konvergiert die Reihe?
 - stimmt die Reihe überall mit $f(x)$ überein?

Anwendung: • DGL, z.B. gedrehter harmonischer Oszillator: gelöst für sinus-förmige Antriebskraft. Wenn wir eine beliebige periodische Antriebskraft als Summe von Kosinus und Sinusfunktionen schreiben, können wir die DGL für jede Term separat lösen und (lineare DGL) die Lösungen addieren!

$$\int y(t) = f(t) = a_0 + a_1 \cos x + \dots + b_1 \sin x + \dots$$

$$\int y_0 = t/2$$

$$y(t) = a_0 y_0 + a_1 y_{a_1}(t) + \dots$$

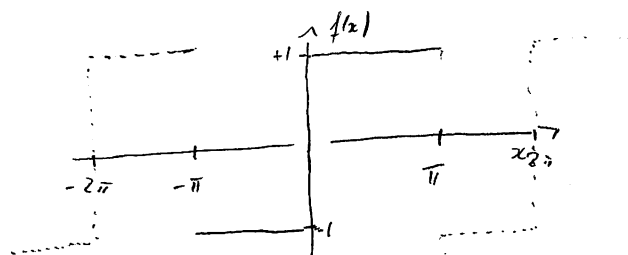
$$\int y_a(t) = \cos x$$

$$\int y_{a_1} = \sin x$$

$$+ b_1 y_{b_1}(t) + \dots$$

- partielle DGL, z.B. Welle gleichg. Wir hatten Lösung für sinusförmige Anfangsbedingung gefunden. Beliebige AB lässt sich als Summe von Sinus/Akkorden schreiben.
- Funktion als Element eines Vektorraums (Linearkombination von Funktionen ist eine Funktion): Sinus und Kosinus sind eine Basis des Raums periodischer Funktionen.

Beispiel



$$f(x) = -1 \quad -\pi < x < 0 \quad \text{und periodisch mit Periode } 2\pi$$

$$f(x) = 1 \quad 0 < x < \pi$$

$$\begin{aligned} f(x) = & \frac{1}{2}a_0 + a_1 \cos x + a_2 \cos 2x + \dots \\ & + b_1 \sin x + b_2 \sin 2x + \dots \end{aligned} \quad (1)$$

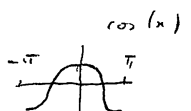
I. Bestimmung von a_0 :

Integrieren rechte und linke Seite zwischen $-\pi$ und π

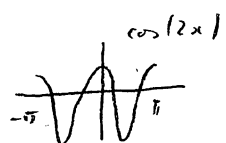
$$\text{Links: } \int_{-\pi}^{\pi} dx f(x) = \int_{-\pi}^{\pi} dx (-1) + \int_0^{\pi} dx 1 = 0$$

$$\text{Rechts: } a_0 \text{ Term: } \frac{1}{2} \int_{-\pi}^{\pi} dx a_0 = \frac{1}{2} \cdot 2\pi a_0 = \pi a_0$$

$$a_1 \text{ Term: } a_1 \int_{-\pi}^{\pi} dx \cos x = a_1 \left[+\sin x \right]_{-\pi}^{\pi} = a_1 (0 - 0) = 0 \quad a_1$$



$$a_2 \text{ Term: } a_2 \int_{-\pi}^{\pi} dx \cos(2x) = a_2 \left[+\frac{1}{2} \sin(2x) \right]_{-\pi}^{\pi} = 0 \quad a_2$$



$$a_n \text{ Term: } a_n \int_{-\pi}^{\pi} dx \cos nx = a_n \left[\frac{1}{n} \sin(nx) \right]_{-\pi}^{\pi} = 0 \quad a_n$$

$$b_n \text{ Term} \quad b_n \int_{-\pi}^{\pi} dx \sin(kx) = b_n \left[-\frac{1}{k} \cos(kx) \right]_{-\pi}^{\pi} = 0 \quad b_n$$

Summiert man alle Terme erhalten .

$$0 = \int_{-\pi}^{\pi} dx f(x) = \int_{-\pi}^{\pi} dx \left[\frac{1}{2}a_0 + \sum_{n=1}^{\infty} a_n \cos(kx) + \sum_{n=1}^{\infty} b_n \sin(kx) \right]$$

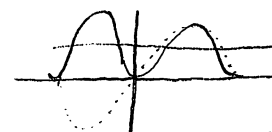
$$= \pi a_0$$

$$\Rightarrow a_0 = 0 \quad \text{eindeutig bestimmt!}$$

2. Bestimmung von a_n, b_n

Wir wollen folgende Integrale benötigen

$$\int_{-\pi}^{\pi} dx \sin^2(kx) = \frac{1}{2} \times 2\pi = \pi \quad k > 0$$



periodisch Funktion mit
Mittelwert $\frac{1}{2}$

$$(\text{folgt aus}) \int_{-\pi}^{\pi} dx \cos^2(kx) = \int_{-\pi}^{\pi} dx \sin^2(kx)$$

$$\text{und } \int_{-\pi}^{\pi} dx (\cos^2(kx) + \sin^2(kx)) = \int_{-\pi}^{\pi} dx + 1 = 2\pi$$

$$\int_{-\pi}^{\pi} dx \sin(kx) \cos(lx) = 0 \quad \forall k, l > 0$$

$$\int_{-\pi}^{\pi} dx \sin(kx) \sin(lx) = 0 \quad \left. \right\} k \neq l$$

$$\int_{-\pi}^{\pi} dx \cos(kx) \cos(lx) = 0$$

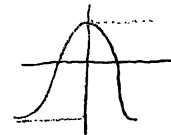
$$\text{z.B. } \int_{-\pi}^{\pi} dx \cos(kx) \cos(lx) = \int_{-\pi}^{\pi} dx \frac{1}{2} (e^{ikx} + e^{-ikx}) \frac{1}{2} (e^{ilx} + e^{-ilx}),$$

$$\text{Kreuzmultiplikation gibt 4 Terme der Form } \int_{-\pi}^{\pi} dx e^{imx} = \left[\frac{1}{im} e^{imx} \right]_{-\pi}^{\pi} = \frac{1}{im} (e^{im\pi} - e^{-im\pi}) \\ m \neq 0 \quad = \frac{1}{m} \sin m\pi = 0$$

a: Multipliziere rechte und linke Seite mit $\cos \ell x$ und integriere von $-\pi$ zu π

$$\text{Links: } \int_{-\pi}^{\pi} dx f(x) \cos(\ell x) = 0$$

/ |
 ungerade gerade
 Funktion Funktion
 ungerade Funktion



Rechts: Beiträge von a_0 , $\{a_n\}$, $\{b_n\}$ geben alle Null, bis auf

$$a_k \int_{-\pi}^{\pi} dx \cos kx \cos \ell x \quad \text{mit } k = \ell$$

$$= a_e \pi$$

$$0 = \int_{-\pi}^{\pi} dx f(x) \cos(\ell x) = a_e \pi \Rightarrow a_e = 0 \quad \forall \ell$$

b: Multipliziere rechte und linke Seite mit $\sin \ell x$ und integriere von $-\pi$ zu π

$$\text{Links: } \int_{-\pi}^{\pi} dx f(x) \sin(\ell x) = - \int_{-\pi}^0 dx \sin(\ell x) + \int_0^{\pi} dx \sin(\ell x) = 2 \int_0^{\pi} dx \sin(\ell x) = 2 \left[\frac{1}{\ell} \cos \ell x \right]_0^{\pi} = + \frac{2}{\ell} \times \begin{cases} 2 & \ell \text{ ungerade} \\ 0 & \ell \text{ gerade} \end{cases}$$

Rechts: Alle Beiträge geben Null, bis auf

$$b_k \int_{-\pi}^{\pi} dx \sin kx \sin \ell x \quad \ell = k$$

$$= b_e \int_{-\pi}^{\pi} dx \sin^2 \ell x = \pi b_e$$

$$\Rightarrow b_e = + \frac{4}{\ell \pi} \quad \ell \text{ ungerade, null sonst}$$

$$\text{Oder } f(x) = + \frac{4}{\pi} \left(\sin x + \frac{1}{3} \sin 3x + \frac{1}{5} \sin 5x + \frac{1}{7} \sin 7x + \dots \right)$$

$$= + \frac{4}{\pi} \sum_{k=0}^{\infty} \frac{1}{2k+1} \sin ((2k+1)x)$$

\Rightarrow figure / squarewave-fourierseries.xls.pdf

6.1 Fourierkoeffizienten für eine allgemeine periodische Funktion

Eine Funktion $f(x)$ sei periodisch auf dem Intervall $(-L, L)$.

Werk:

$$f(x) = \frac{a_0}{2} + a_1 \cos \frac{\pi x}{L} + a_2 \cos \frac{2\pi x}{L} + \dots \\ + b_1 \sin \frac{\pi x}{L} + b_2 \sin \frac{2\pi x}{L} + \dots \quad (1)$$

Zur Berechnung von a_0 berechnen wir wieder die Mittelwert von $f(x)$ über eine Periode L links
rechts

$$\int_{-L}^L dx f(x) = \frac{1}{2} a_0 \cdot 2L + 0 \quad L \text{ cos, sin über eine oder viele Perioden integriert zu Null}$$

$$= a_0 L$$

$$a_0 = \frac{1}{L} \int_{-L}^L dx f(x)$$

Zur Berechnung von a_e ($\ell > 0$) berechnen wir die Mittelwert von $f(x) \cos\left(\frac{\pi \ell x}{L}\right)$

$$\int_{-L}^L dx f(x) \cos\left(\frac{\pi \ell x}{L}\right) = a_e \int_{-L}^L dx \cos^2\left(\frac{\pi \ell x}{L}\right) = a_e \frac{L}{\pi} \int_{-\pi}^{\pi} dx' \cos^2 \ell x' = a_e \frac{L}{\pi} \cdot \frac{1}{2} 2\pi$$

rechte Seite, alle anderen Terme integrieren zu Null

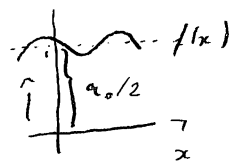
$$\Rightarrow a_e = \frac{1}{L} \int_{-L}^L dx f(x) \cos\left(\frac{\pi \ell x}{L}\right)$$

$$\text{analog } b_e = \frac{1}{L} \int_{-L}^L dx f(x) \sin\left(\frac{\pi \ell x}{L}\right)$$

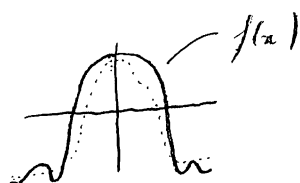
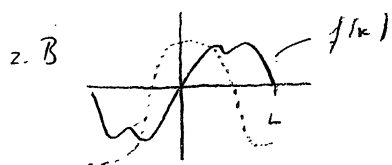
$\frac{a_0}{2}$ ist eine Konvention um die Form für a_0 dennoch für a_e $\ell > 0$ ähnlich zu machen.

Die Reihe (1) mit diesen Koeffizienten a_e, b_e heißt Fourier-Reihe von $f(x)$

Intuition: • Da $\cos \ell x$, $\sin \ell x$ im Mittel über eine Periode Null geben muss $\frac{a_0}{2}$ gleich dann Mittel von f über eine Periode sein



- $\int dx f(x) \cos\left(\frac{\pi x}{L}\right)$ gibt an wie "ähnlich" $f(x)$ die Funktion $\cos\left(\frac{\pi x}{L}\right)$ ist



hier ist $f(x) \cos\left(\frac{\pi x}{L}\right)$ entlang einer Periode meist positive $\Rightarrow a_1$ ist gross
($f(x)$ ist gut durch $\cos\frac{\pi x}{L}$ approx.)

In der Akustik wackt $\cos\left(\frac{2\pi\omega}{T}t\right)$, $\cos\left(\frac{3\pi\omega}{T}t\right)$... $\sin\left(\frac{2\pi\omega}{T}t\right)$, $\sin\left(\frac{3\pi\omega}{T}t\right)$

als Oberfläche einer periodischen Schwingung mit Periode T ("Ton") herauft.

Da "Klang" des Tons wird durch die Oberschwingungen bestimmt (brillant & klarer)

link: www.uni-koch.de/Fizik/multimedial/oberschwingungen/akustik.htm?l=2

Formel: Fassen wir die Funktion $f(x)$ als Element des Vektorraumes von Funktionen mit Periode L auf, kann man $\cos\left(\frac{\pi x \ell}{L}\right)$, $\sin\left(\frac{\pi x \ell}{L}\right)$ als Basisvektoren betrachten

$$f(x) = \frac{a_0}{2} + a_1 \cos\left(\frac{\pi x}{L}\right) + a_2 \cos\left(\frac{2\pi x}{L}\right) + \dots \\ + b_1 \sin\left(\frac{\pi x}{L}\right) + b_2 \sin\left(\frac{2\pi x}{L}\right) + \dots$$

$$\text{cp. } V = v_1 e_1 + v_2 e_2 + \dots$$

/ \|
Koeffizient Basisvektor

$$a_e = \frac{1}{L} \int_{-L}^L dx f(x) \cos\left(\frac{\pi x}{L}\right)$$

$$b_e = \frac{1}{L} \int_{-L}^L dx f(x) \sin\left(\frac{\pi x}{L}\right)$$

$$\frac{1}{L} \int_{-L}^L dx \cos\left(\frac{\pi l x}{L}\right) \cos\left(\frac{\pi k x}{L}\right) = \delta_{lk}$$

$$\text{CP } v_i = \langle e_i, v \rangle$$

für Orthonormalbasis mit

$$\langle e_i, e_j \rangle = \delta_{ij}$$

$\Rightarrow \cos\left(\frac{\pi l x}{L}\right), \sin\left(\frac{\pi l x}{L}\right)$ bilden ein Orthonormalsystem im Raum der periodischen Funktionen. (Einschränkung s.u.)

$$\text{Skalarprodukt } \langle \cos\left(\frac{\pi l x}{L}\right), \cos\left(\frac{\pi k x}{L}\right) \rangle \equiv \frac{1}{L} \int_{-L}^L dx \cos\left(\frac{\pi l x}{L}\right) \cos\left(\frac{\pi k x}{L}\right)$$

$$\Rightarrow a_l = \langle \cos\left(\frac{\pi l x}{L}\right), f(x) \rangle$$

$$b_l = \langle \sin\left(\frac{\pi l x}{L}\right), f(x) \rangle$$

6.1 Vollständigkeit der Basis: die Dirichlet Bedingung

Die Dirichlet Bedingung gilt an, wenn eine Fourier-Reihe-Funktion $f(x)$ punktweise gegen $f(x)$ konvergiert.

- welche Funktionen sind durch Fourierreihen darstellbar?

\Rightarrow für welche Art von Funktionen ist $\{\cos\frac{\pi l x}{L}, \sin\frac{\pi l x}{L}\}$ eine Basis.

Theorem: Sei $f(x)$ im Intervall $[-L, L]$ quasihälftegänglich, d.h.

$\frac{1}{L} \int_{-L}^L dx |f(x)|^2$ ist endlich; dann ist an "fast allen Punkten" $f(x)$ gleich seine Fourierreihe. (Carson, 1966)

An fast allen Punkten besteht (viel): überall, bis auf einzelne Punkte.

Welche Punkte problematisch sein können, beschreibt das folgende Theorem

Theorem (Dirichlet-Brodingay, 1829)

Ist $f(x)$ periodisch mit Periode $2L$ und lässt sich in endlich viele Intervalle zerlegen, in denen $f(x)$ stetig und monoton ist, und existieren an den Intervallgrenzen rechts und links Grenzwerte $f(x_+)$ und $f(x_-)$ konvergiert die Fourierreihe von $f(x)$ ^{punktwise} gegen

$$\begin{cases} f(x) & \text{wenn } f \text{ in } x \text{ stetig ist} \\ \frac{1}{2}(f(x_-) + f(x_+)) & \text{wenn } f \text{ in } x \text{ nicht stetig ist} \end{cases}$$

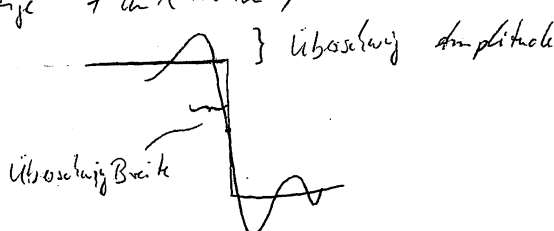
(\Rightarrow endlich Anzahl von Maxima, Minima, Sprüngen; Sprünge werden approximiert)

Graphisch diese Aussage stimmt nicht, einige Funktionen die die Dirichlet-Brodingay-Vorlesung haben ebenfalls konvergente Fourie-Reihen,

(konvergent in Mittel vs. punktwise konvergent)

6.2 Das Gibbs-Phänomen

Approximation von $f(x)$ durch eine endliche Fourie-Reihe fallen in der Nähe von Sprüngen starke Abweichungen zwischen $f(x)$ und der endlichen Fourie-Reihe auf (Problem: Approximation einer nicht-stetigen Funktion durch stetige Funktionen)



rechte Figuren / squarewave - Fourierserie

Diese "Überschwingungen" von ca. 9% des Sprungs (Rechteckwelle) nimmt in seine Amplitude nicht ab wenn man mehr Terme der Reihe berücksichtigt werden. Die Brücke des overshoots nimmt aber mit annehmbarer Z. d. der Termen ab, und schrumpft mit $n \rightarrow \infty$ auf eine Pekt zusammen.

6.3 komplexe Form der Fourier-Reihe (hier Intervall $[-\pi, \pi]$)

Aus der Euler-Formel $e^{ix} = \cos x + i \sin x$ folgt

$$\cos x = \frac{e^{ix} + e^{-ix}}{2}$$

$$\sin x = \frac{e^{ix} - e^{-ix}}{2i}$$

Setzt man diese Ausdrücke in die Fourier-Reihe ein erhält man die komplexe Fourier-Reihe

$$f(x) = c_0 + c_1 e^{ix} + c_{-1} e^{-ix} \\ + c_2 e^{2ix} + c_{-2} e^{-2ix} \\ + \dots \quad c_n \in \mathbb{C}$$

- Vergleich mit alten Schreibweise $\frac{1}{2} a_0 = c_0$, $c_n = \frac{a_n}{2} + \frac{b_n}{2i}$ $n > 0$

$$c_{-n} = \frac{a_n}{2} - \frac{b_n}{2i} \quad n < 0 \quad \left. \right)$$

- für reelle $f(x)$ muss $c_{-n} = c_n^*$ gelten $\left(c_n e^{inx} + c_{-n} e^{-inx} = c_n e^{inx} + c_n^* e^{-inx} \in \mathbb{R} \right)$
- oft ist die Fourier-Reihe in komplexer Form leichter zu berechnen.

Berechnung der Koeffizienten

$$c_0: \int_{-\pi}^{\pi} dx f(x) = c_0 \int_{-\pi}^{\pi} dx 1 \Rightarrow c_0 = \frac{1}{2\pi} \int_{-\pi}^{\pi} dx f(x)$$

c_n : multiplikative Reihe mit e^{-inx} und integriert über $[-\pi, \pi]$

$$\text{Rechts} \int_{-\pi}^{\pi} dx e^{-inx} f(x)$$

Links $\int_{-\pi}^{\pi} dx e^{-inx} c_m e^{inx} + \text{Integrale über vollen Periodenzyklus}$

$$= c_n \int_{-\pi}^{\pi} dx \Rightarrow c_n = \frac{1}{2\pi} \int_{-\pi}^{\pi} dx e^{-inx} f(x)$$

$$f(x) = \sum_{n=-\infty}^{\infty} c_n e^{inx}$$

6.4 Parseval's Theorem

vergleicht $\frac{1}{2\pi} \int_{-\pi}^{\pi} dx |f(x)|^2$ mit den Betragsgeschw. der Koeffizienten der Fourier-Reihe.

- bei einer Schwingung $y(t)$ gilt $\frac{1}{2} k \int_{-\pi}^{\pi} dt |y(t)|^2$ die mittlere potentielle Energie an. (Federsteife k)

Wir bilden von

$$f(x) = \sum_{n=-\infty}^{\infty} c_n e^{inx}$$

den Betragsgeschw. von beiden Seiten und integrieren über ein Period

Links Seite: $\int_{-\pi}^{\pi} dx |f(x)|^2$

Rechte Seite: $\int_{-\pi}^{\pi} dx \left(\left| \sum_{n=-\infty}^{\infty} c_n e^{inx} \right| \right) \left(\sum_{n=-\infty}^{\infty} c_n^* e^{-inx} \right)$

alle Terme integrieren zu Null, außer

$$c_0 c_0^*$$

$$c_n c_n^* e^{inx - inx} \quad \text{mit } n = 0$$

$$= 2\pi |c_0|^2 + 2\pi \sum_{n=1}^{\infty} |c_n|^2$$

$$\Rightarrow \frac{1}{2\pi} \int_{-\pi}^{\pi} dx |f(x)|^2 = \sum_{n=-\infty}^{\infty} |c_n|^2$$

Interpretation
als Länge des Vektors
("L₂-Norm")

Summe der Betragsgeschw. der Komponente

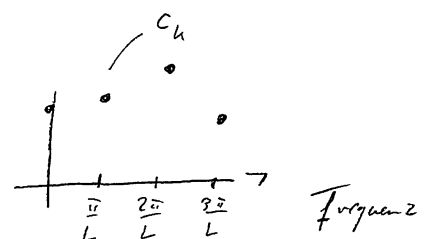
$$\text{cp} \quad \|v\| = \sqrt{\sum_n v_n^2}$$

6.5 Ausblick: die Fourier - Transformation

Natürlich sind nicht alle Funktionen periodisch, bzw. sie haben im allgemeinen eine unendliche Periode. Die Fourier - Transformation ist die Verallgemeinerung der Fourier - Reihe für $L \rightarrow \infty$.

$$f(x) = \sum_{n=-\infty}^{\infty} c_n e^{inx/L}$$

Oszillation mit Frequenz $\frac{n\pi}{L}$



\Rightarrow im Sinne: $L \rightarrow \infty$ rücken die

- Frequenzen der Fourier - Reihe immer näher zusammen, aus c_n wird $c(k)$
 $k = n\pi/L$

• aus ob. Summe $\sum_{n=-\infty}^{\infty}$ wird ein Integral

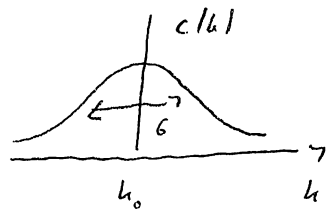
$$f(x) = \frac{1}{\sqrt{2\pi}} \int_{-\infty}^{\infty} dk e^{ikx} c(k)$$

$\tilde{f}(k) = c(k)$ heißt Fourier - Transformierte von $f(x)$.

$$\text{Vgl: } c_k = \frac{1}{\sqrt{2\pi}} \int_{-\pi}^{\pi} dx e^{-inx} f(x)$$

$$f(x) = \sum_{n=-\infty}^{\infty} e^{inx} c_n$$

Beispiel: Wir betrachten ein $c(k)$ mit Mittelwert k_0 und Varianz σ^2



$$\text{Gaußkurve } \tilde{f}(k) = c(k) = \frac{1}{\sqrt{2\pi}\sigma} \exp\left\{-\frac{1}{2\sigma^2}(k-k_0)^2\right\} \quad \sigma > 0$$

und beschreiben dies entsprechend $f(x)$

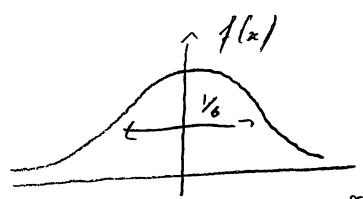
$$\begin{aligned} f(x) &= \frac{1}{2\pi} \int_{-\infty}^{\infty} dk e^{ikx} \tilde{f}(k) \\ &= \frac{1}{2\pi\sigma} \int_{-\infty}^{\infty} dk \exp\left\{ikx - \frac{1}{2\sigma^2}(k-k_0)^2\right\} \end{aligned}$$

Argumente der Exponentialfunktion

$$\begin{aligned} ikx - \frac{1}{2\sigma^2}(k-k_0)^2 &= -\frac{1}{2\sigma^2} \left(k^2 - 2k_0 k + k_0^2 - 2i\sigma^2 kx \right) \\ &= -\frac{1}{2\sigma^2} \left(k^2 - 2k \left[k_0 + i\sigma^2 x \right] + \left[k_0 + i\sigma^2 x \right]^2 \right. \\ &\quad \left. - \left[k_0 + i\sigma^2 x \right]^2 + k_0^2 \right) \\ &= -\frac{1}{2\sigma^2} \left(k - \left[k_0 + i\sigma^2 x \right] \right)^2 + \underbrace{i k_0 x - \frac{1}{2} \sigma^2 x^2}_{\text{hängt nicht von } k \text{ ab}} \end{aligned}$$

$$\Rightarrow f(x) = \frac{1}{2\pi\sigma} \underbrace{\int_{-\infty}^{\infty} dk e^{-\frac{1}{2\sigma^2}(k - [k_0 + i\sigma^2 x])^2}}_{\text{Substitution } k' = \frac{1}{\sigma}(k - [k_0 + i\sigma^2 x])} \times e^{ik_0 x - \frac{1}{2}\sigma^2 x^2}$$

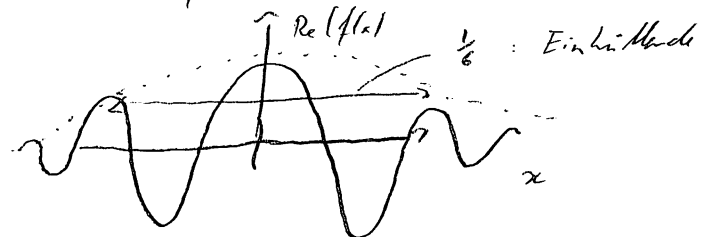
$$= \frac{1}{\sqrt{2\pi}} \exp\left\{-\frac{1}{2}\sigma^2 x^2 + ik_0 x\right\}$$



$$\bar{k} = k_0 = 0$$

$\bullet k_0 = 0$: ist $c(k) \equiv \tilde{f}(k)$ eine breite Gaußkurve ($\sigma \gg 1$), ist $f(x)$ eine
 schwache Gaußkurve (\Rightarrow Welle, ω_n)

$\bullet k_0 \neq 0$: k_0 gibt die Wellenzahl α , mit der $f(x)$ oszilliert



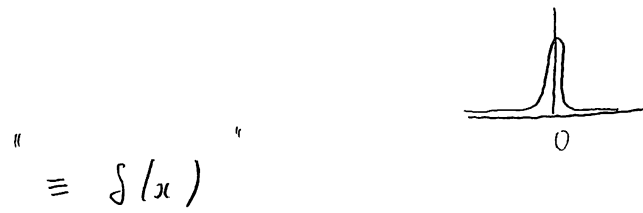
$\bullet \sigma \rightarrow 0$: $c(k) \equiv \tilde{f}(k)$ ist eine schmale Gaußkurve ($\sigma \ll 1$) \Rightarrow Einheitsschwingung

"einzelne Komponenten Frequenzspektren"

\bullet Grenzfall $\sigma \rightarrow \infty$ (" $c(k) \equiv \tilde{f}(k)$ enthält alle Frequenzen")

$k_0 = 0$

$$\lim_{\sigma \rightarrow \infty} \frac{1}{2\pi} \int dk e^{ikx} e^{-\frac{1}{2\sigma^2} k^2} = \lim_{\sigma \rightarrow \infty} \sqrt{\frac{\sigma^2}{2\pi}} \exp \left\{ -\frac{1}{2} \sigma^2 x^2 \right\}$$



$$\equiv \delta(x)$$

$\delta(x)$ ist eine "Funktion" die überall null ist, sei auf $x=0$. Dennoch
 ist $\int dx \delta(x) = 1$ (Integral existiert auch für $\sigma \rightarrow \infty$)

Da $\delta(x) = 0$ außer $x=0$ ist auch $\int dx \delta(x) g(x) = g(0)$

FT von $\delta(x)$ ist $\sqrt{\pi}$, von $\delta(x-x_0)$ $\frac{1}{\sqrt{\pi}} e^{-i k x_0}$

Im Limes $\sigma \rightarrow \infty$ ist $f(x)$ keine wohldefinierte Funktion. Da rigorose
 Zugang definiert sogenannte Distributionen; Abbildungen von Funktionen auf
 die reellen Zahlen

$$g(x) \xrightarrow{\delta_{x_0}} g(x_0)$$

$$\int dx \delta(x-x_0) g(x) = g(x_0) \quad 6.13$$

6.5.1 Inverse Fourier Transformation

Wir nutzen

$$\frac{1}{2\pi} \int_{-\infty}^{\infty} dh e^{ih(x-x_0)} = \lim_{\delta \rightarrow 0} \frac{1}{2\pi} \int_{-\infty}^{\infty} dh e^{-\frac{1}{2\delta^2} h^2 + i h(x-x_0)}$$

analog zur Rechnung $\frac{1}{2\pi} \int dx e^{-\frac{1}{2\delta^2} x^2}$

$$= \lim_{\delta \rightarrow 0} \frac{1}{\sqrt{2\pi\delta^2}} \exp \left\{ -\frac{1}{2\delta^2} (x-x_0)^2 \right\} = \delta(x-x_0)$$

Ah, nächst zeigen wir, dass $\frac{1}{\sqrt{2\pi}} \int dx e^{-i k x} f(x)$ die FT $\tilde{f}(k)$ ist

$$\begin{aligned} \frac{1}{\sqrt{2\pi}} \int_{-\infty}^{\infty} dh e^{+ikhx} \tilde{f}(h) &= \frac{1}{\sqrt{2\pi}} \int_{-\infty}^{\infty} dx e^{+ikhx} \frac{1}{\sqrt{2\pi}} \int_{-\infty}^{\infty} dx' e^{+ikh(x-x')} f(x') \\ &= \int_{-\infty}^{\infty} dx' f(x') \frac{1}{2\pi} \int_{-\infty}^{\infty} dh e^{+ih(x-x')} \\ &= \int_{-\infty}^{\infty} dx' f(x') \delta(x-x') = f(x) \end{aligned}$$

$$\Rightarrow \begin{cases} \tilde{f}(h) = \frac{1}{\sqrt{2\pi}} \int dx e^{-ikhx} f(x) & \text{FT} \\ f(x) = \frac{1}{\sqrt{2\pi}} \int dh e^{+ikhx} \tilde{f}(h) & \text{inverse FT} \end{cases}$$

Anwendungen

Für kom fast alle Anwendungen der FT in der Physik ist die Eigenschaft, dass die FT von $\frac{d}{dx} f(x) = f'(x)$ $+ ik \tilde{f}(k)$ ist.

(aus Ableitung und \Rightarrow wird Multiplikation mit $-ik$)

$$\frac{1}{\sqrt{2\pi}} \int_{-\infty}^{\infty} dx \left(\frac{d}{dx} f(x) \right) e^{-ikx} = \frac{1}{\sqrt{2\pi}} \int_{-\infty}^{\infty} f(x) e^{-ikx} \left[-\frac{1}{\sqrt{2\pi}} \int_{-\infty}^{\infty} dx f(x) \frac{d}{dx} e^{-ikx} \right]$$

\hookrightarrow wenn $f(x)$ integrierbar auf $[-\infty, \infty]$

$$= + ik / \sqrt{2\pi} \int_{-\infty}^{\infty} dx f(x) e^{ikx} = + ik \tilde{f}(k)$$

1

z.B.

$$a u'' + b u' + c u(x) = g(x) \quad \text{DGL} \quad (x \rightarrow t \text{ gibt harmon. Oszill.})$$

FT von rechts nach links Seite

$$-ak^2 \tilde{u}(k) + ikb \tilde{u}(k) + c \tilde{u}(k) = \tilde{g}(k)$$

←

$$\Rightarrow \tilde{u}(k) = \frac{\tilde{g}(k)}{c + ikb - ak^2}$$

\Rightarrow inverse FT gibt Lösung als DGL!

$$\bullet \frac{\partial}{\partial t} \phi(x, t) = \frac{\partial^2}{\partial x^2} \phi(x, t) \quad \text{partielle DGL (Wärmegleichung)}$$

mit Anfangsbedingung $\phi(x, t=0) = p(x)$

$$\text{FT nach } x, \quad \tilde{\phi}(k, t) = \frac{1}{\sqrt{2\pi}} \int_{-\infty}^{\infty} dx e^{-ikx} \phi(x, t)$$

auf beide Seiten gilt

$$\frac{\partial}{\partial t} \tilde{\phi}(k, t) = -k^2 \tilde{\phi}(k, t)$$

$$\Rightarrow \tilde{\phi}(k, t) = V(k) e^{-k^2 t}$$

$$\text{Bestimmung } \Rightarrow V(k) \text{ aus } \tilde{\phi}(k, t=0) = \tilde{p}(k) \quad \Rightarrow \tilde{\phi}(k) = \tilde{p}(k) e^{-k^2 t}$$